

附錄五：

於改良式正方形網絡模型和 SCT 楔型管中，在相同主動脈壓力($P_c=10\text{mmHg}$)和藥物濃度($C_0=1,000,000\text{ppm}$)下，比較不同的腫瘤內部壓力及不同的主動脈血液流速，對於腫瘤區藥物粒子進出濃度比和壓降變化的影響及吸附分佈的探討

附錄六：

於改良式正方形網絡模型和 SCT 楔型管中，在相同主動脈壓力($P_c=10\text{mmHg}$)和藥物濃度($C_0=2,000,000\text{ppm}$)下，比較不同的腫瘤內部壓力及不同的主動脈血液流速，對於腫瘤區藥物粒子進出濃度比和壓降變化的影響及吸附分佈的探討

附錄七：

於改良式正方形網絡模型和 SCT 楔型管中，在相同主動脈壓力($P_c=15\text{mmHg}$)和藥物濃度($C_0=1,000,000\text{ppm}$)下，比較不同的腫瘤內部壓力及不同的主動脈血液流速，對於腫瘤區藥物粒子進出濃度比和壓降變化的影響及吸附分佈的探討

附錄八：

於改良式正方形網絡模型和 SCT 楔型管中，在相同主動脈壓力($P_c=15\text{mmHg}$)和藥物濃度($C_0=2,000,000\text{ppm}$)下，比較不同的腫瘤內部壓力及不同的主動脈血液流速，對於腫瘤區藥物

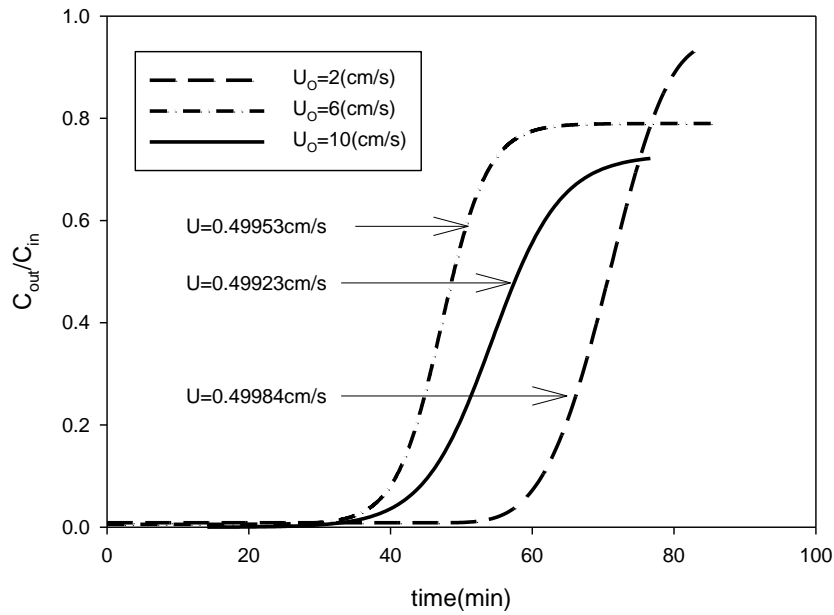
粒子進出濃度比和壓降變化的影響及吸附分佈的探討

附錄九：

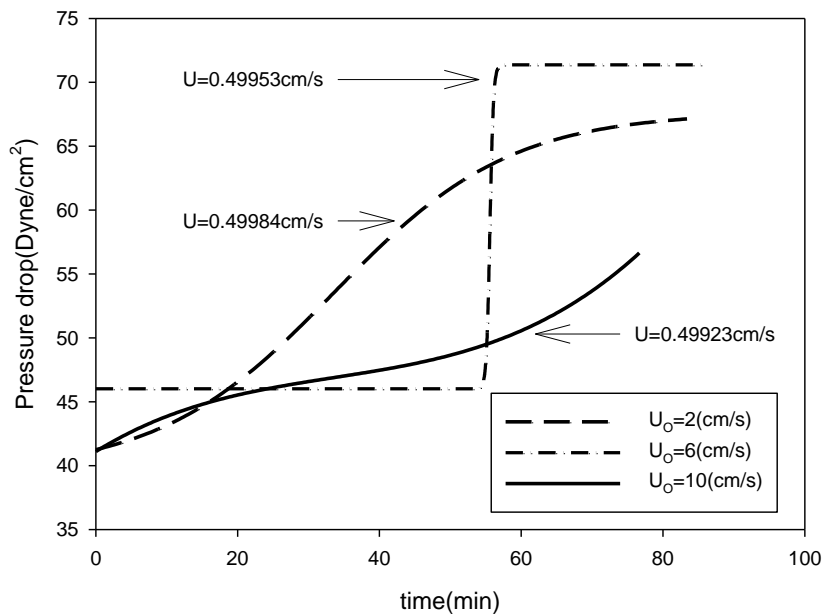
於改良式正方形網絡模型和 SCT 楔型管中，在相同主動脈壓力($P_c=20\text{mmHg}$)和藥物濃度($C_0=1,000,000\text{ppm}$)下，比較不同的腫瘤內部壓力及不同的主動脈血液流速，對於腫瘤區藥物粒子進出濃度比和壓降變化的影響及吸附分佈的探討

附錄十：

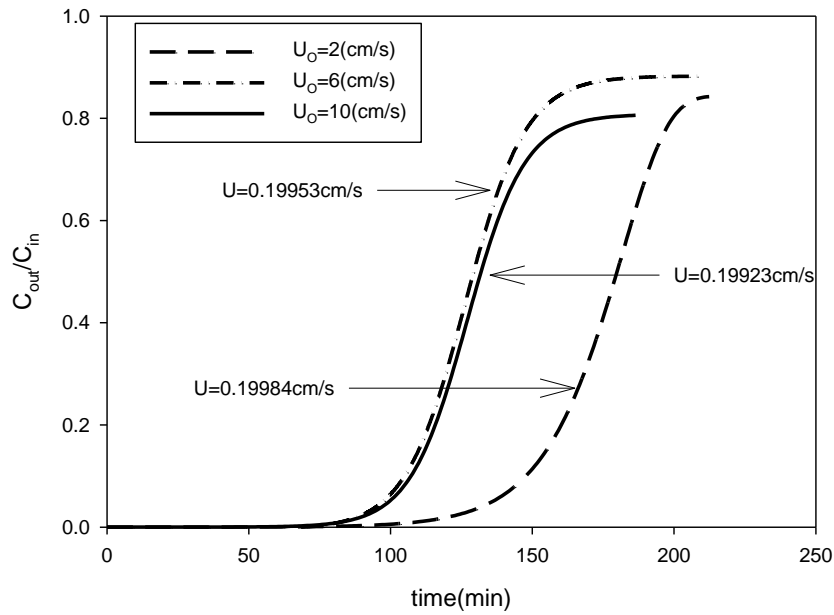
於改良式正方形網絡模型和 SCT 楔型管中，在相同主動脈壓力($P_c=20\text{mmHg}$)和藥物濃度($C_0=2,000,000\text{ppm}$)下，比較不同的腫瘤內部壓力及不同的主動脈血液流速，對於腫瘤區藥物粒子進出濃度比和壓降變化的影響及吸附分佈的探討



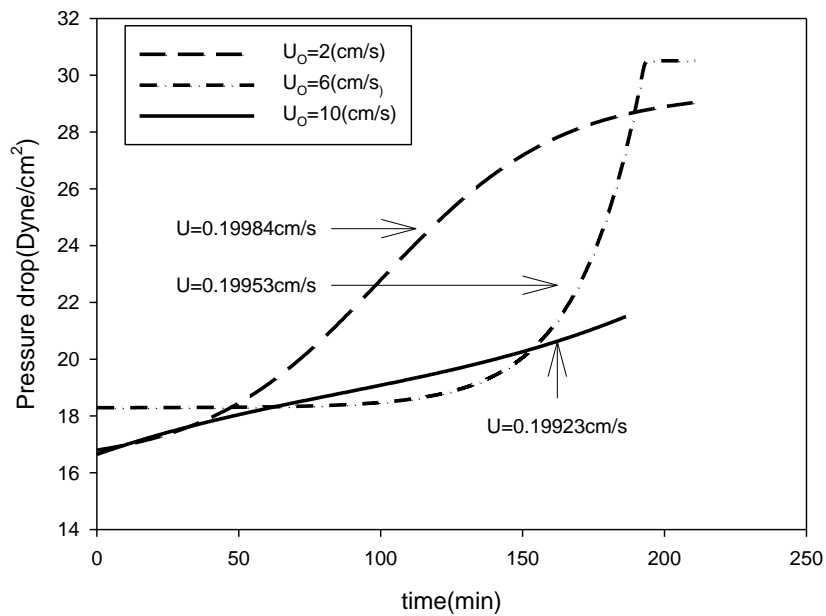
附圖 5-1-1 在 $C_0=1,000,000$ ppm、 $P_c=10$ mmHg、 $P_i=0$ mmHg 時，藥物
 粒子進出口濃度比隨時間變化的趨勢。



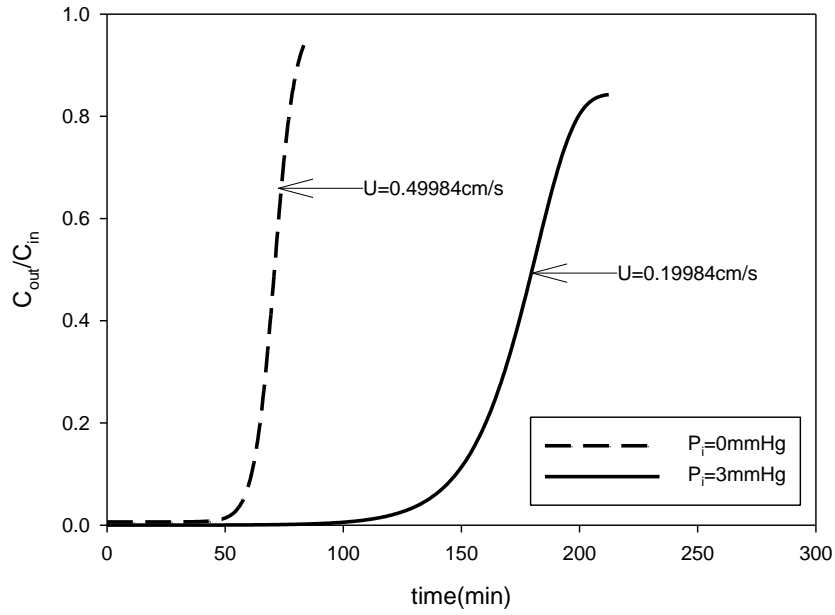
附圖 5-1-2 在 $C_0=1,000,000$ ppm、 $P_c=10$ mmHg、 $P_i=0$ mmHg 時，壓降
 隨時間變化的趨勢。



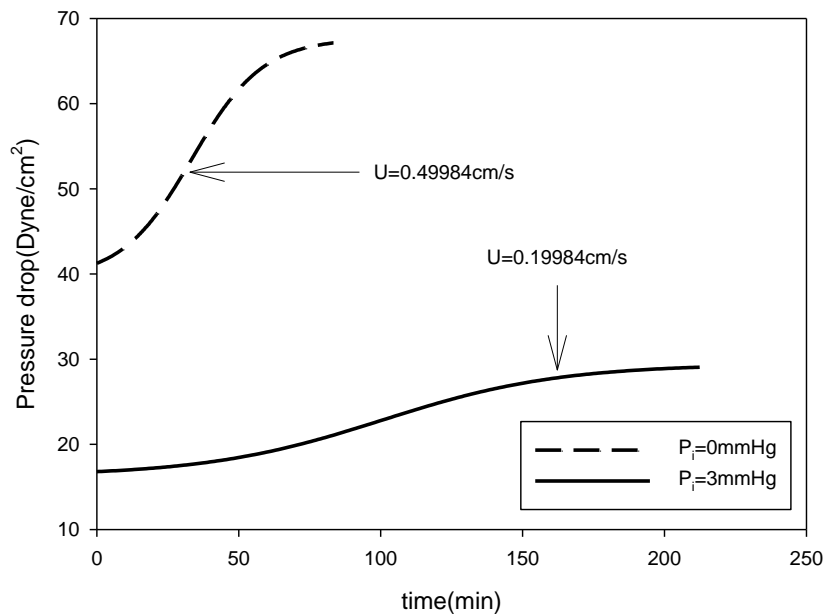
附圖 5-2-1 在 $C_0=1,000,000$ ppm、 $P_c=10$ mmHg、 $P_i=3$ mmHg 時，藥物
 粒子進出口濃度比隨時間變化的趨勢。



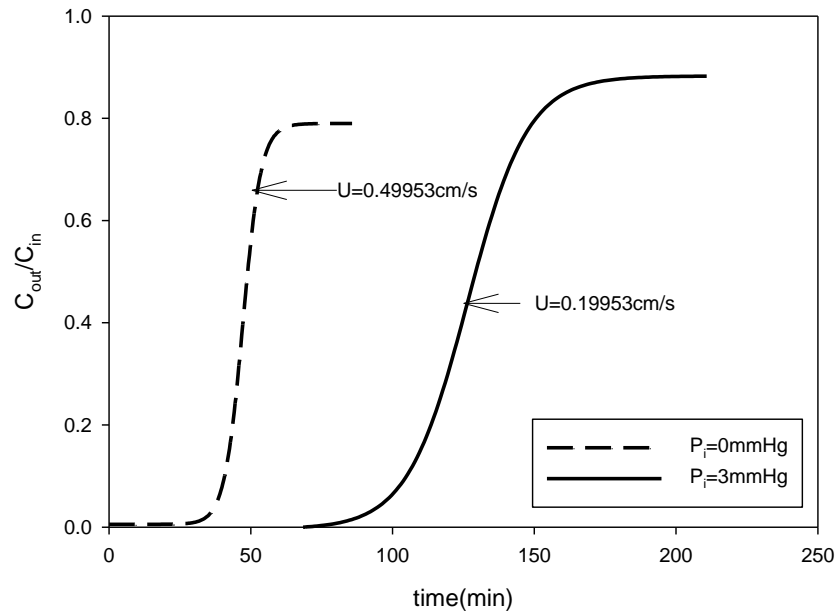
附圖 5-2-2 在 $C_0=1,000,000$ ppm、 $P_c=10$ mmHg、 $P_i=3$ mmHg 時，壓降
 隨時間變化的趨勢。



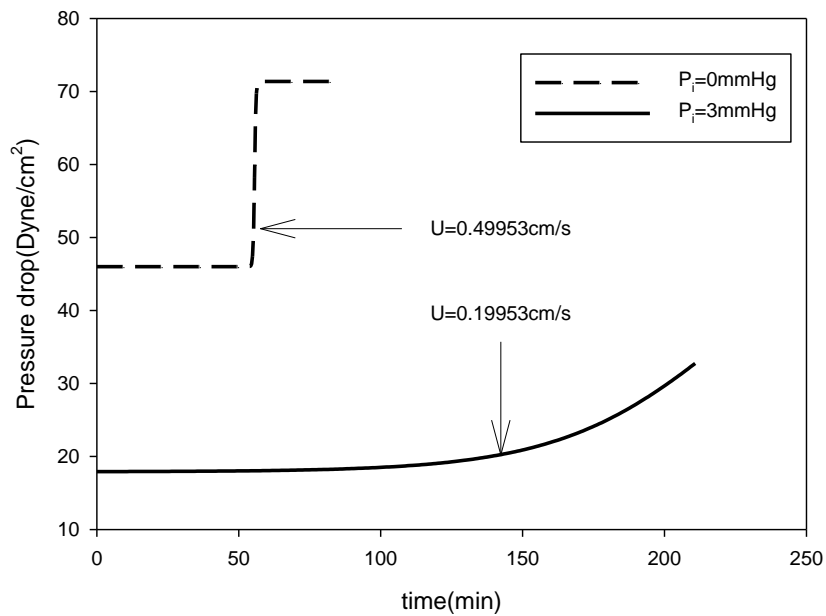
附圖 5-3-1 在 $C_0=1,000,000\text{ppm}$ 、 $P_c=10\text{mmHg}$ 、 $U_0=2\text{cm/s}$ 時，藥物
 粒子進出口濃度比隨時間變化的趨勢。



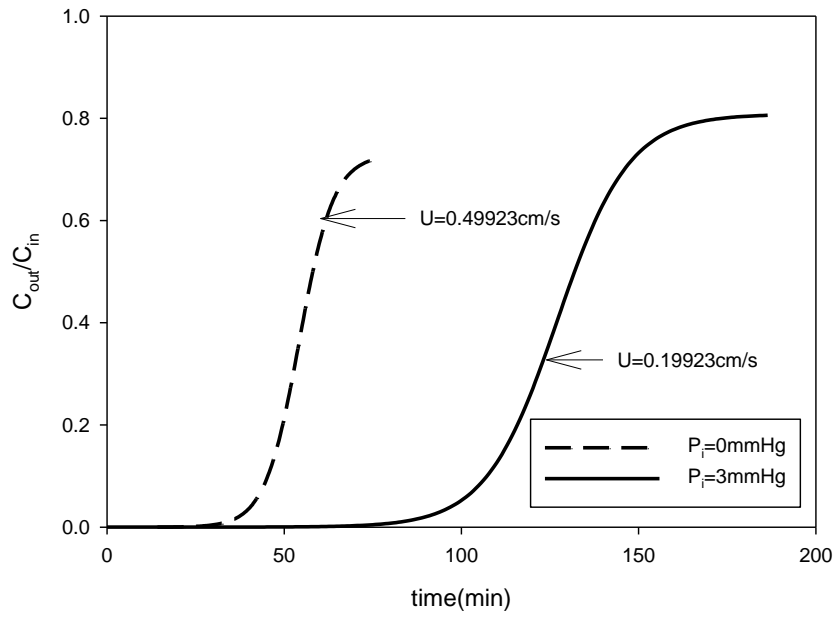
附圖 5-3-2 在 $C_0=1,000,000\text{ppm}$ 、 $P_c=10\text{mmHg}$ 、 $U_0=2\text{cm/s}$ 時，壓降
 隨時間變化的趨勢。



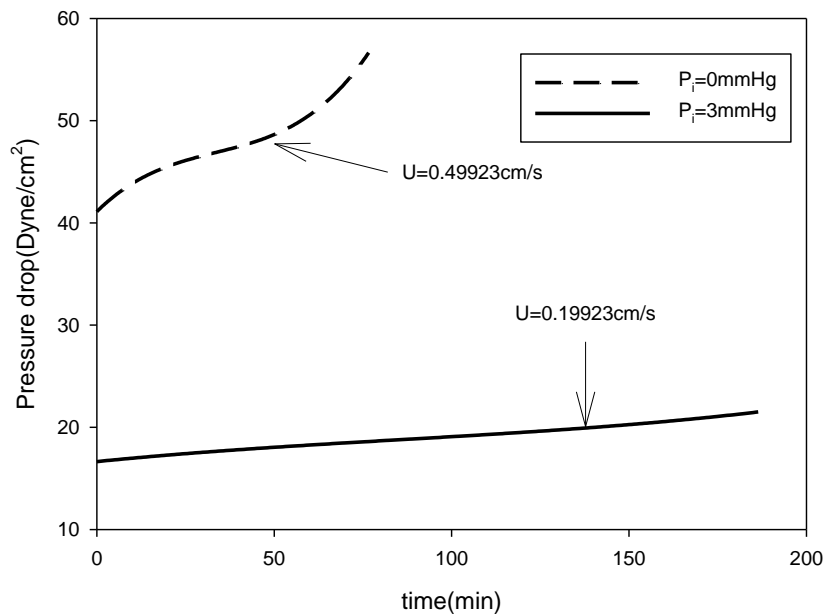
附圖 5-4-1 在 $C_0=1,000,000\text{ppm}$ 、 $P_c=10\text{mmHg}$ 、 $U_0=6\text{cm/s}$ 時，藥物
 粒子進出口濃度比隨時間變化的趨勢。



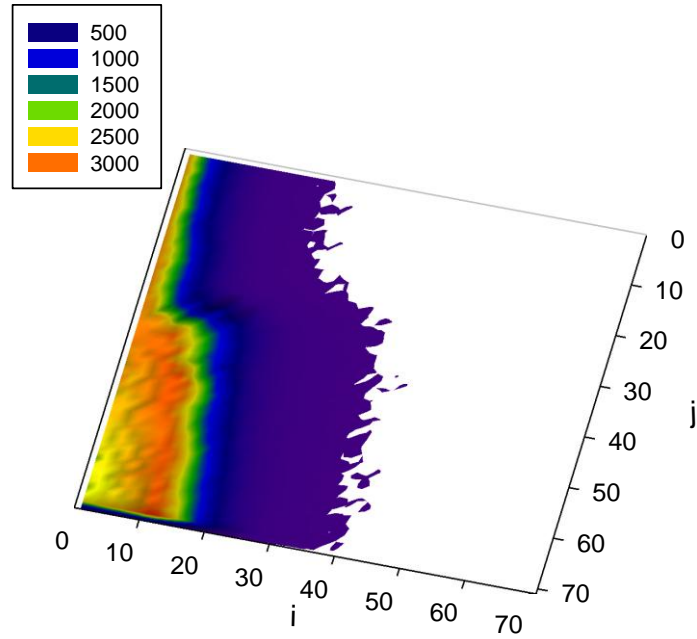
附圖 5-4-2 在 $C_0=1,000,000\text{ppm}$ 、 $P_c=10\text{mmHg}$ 、 $U_0=6\text{cm/s}$ 時，壓降
 隨時間變化的趨勢。



附圖 5-5-1 在 $C_0=1,000,000\text{ppm}$ 、 $P_c=10\text{mmHg}$ 、 $U_0=10\text{cm/s}$ 時，藥物
 粒子進出口濃度比隨時間變化的趨勢。

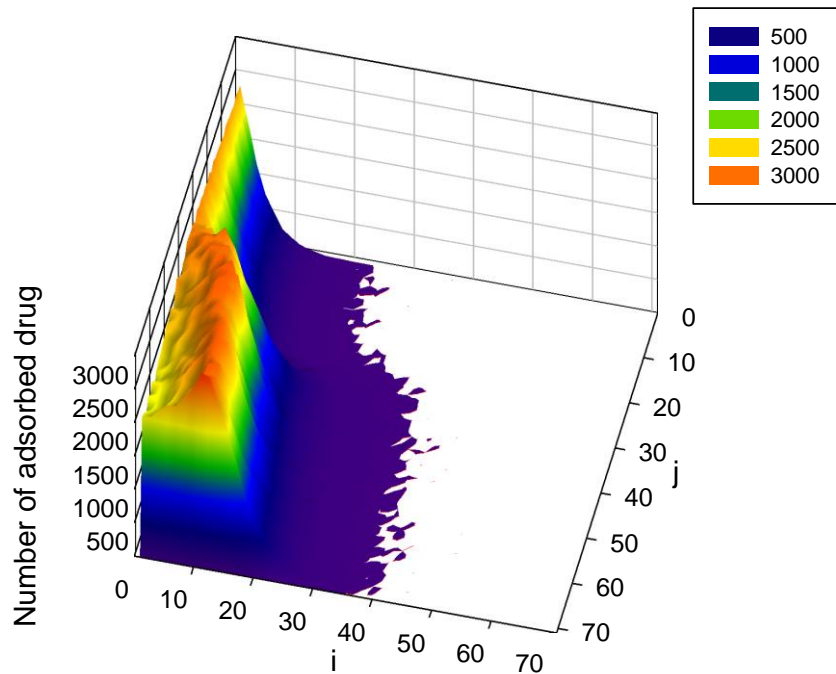


附圖 5-5-2 在 $C_0=1,000,000\text{ppm}$ 、 $P_c=10\text{mmHg}$ 、 $U_0=10\text{cm/s}$ 時，壓降
 隨時間變化的趨勢。



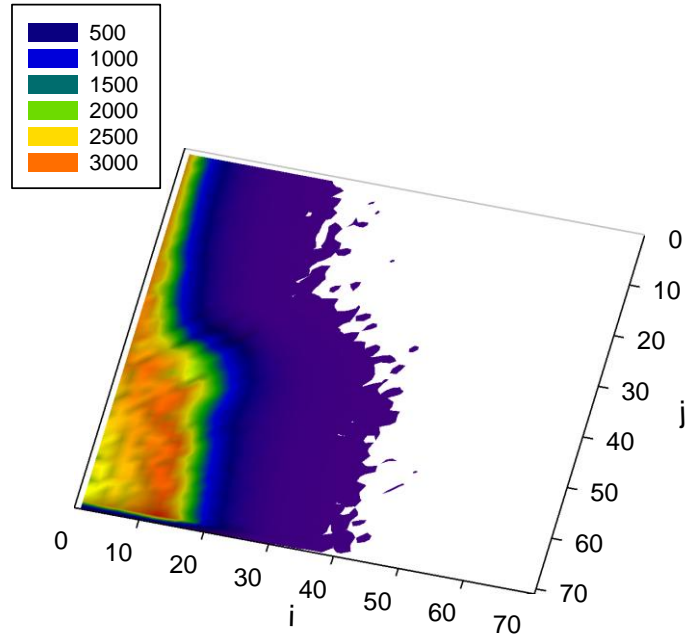
附圖 5-6-1 在 $C_0=1,000,000\text{ppm}$ 、 $P_c=10\text{mmHg}$ 、 $U_0=2\text{cm/s}$ 、 $P_i=0\text{mmHg}$

時，藥物粒子吸附於腫瘤細胞區域內的 2D 分布圖。



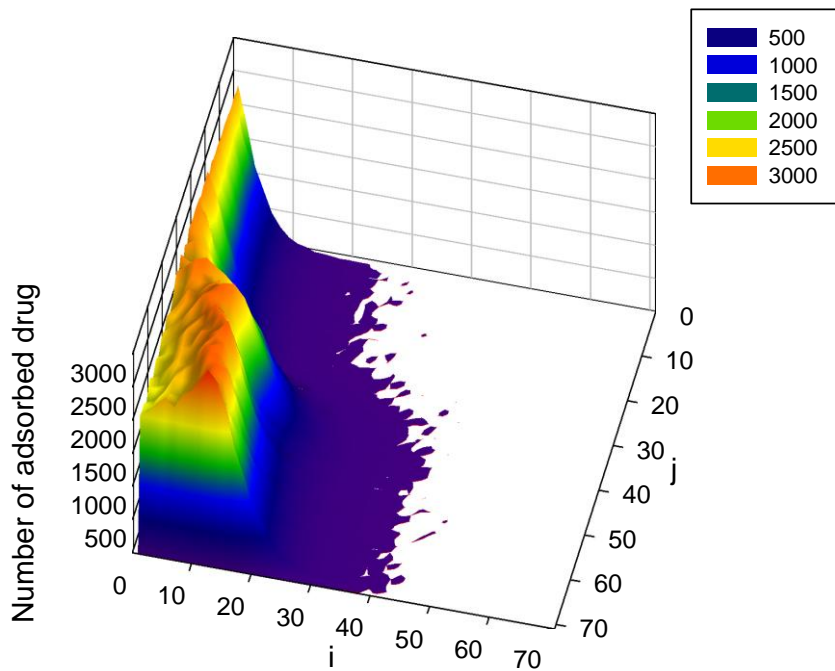
附圖 5-6-2 在 $C_0=1,000,000\text{ppm}$ 、 $P_c=10\text{mmHg}$ 、 $U_0=2\text{cm/s}$ 、 $P_i=0\text{mmHg}$

時，藥物粒子吸附於腫瘤細胞區域內的 3D 分布圖。



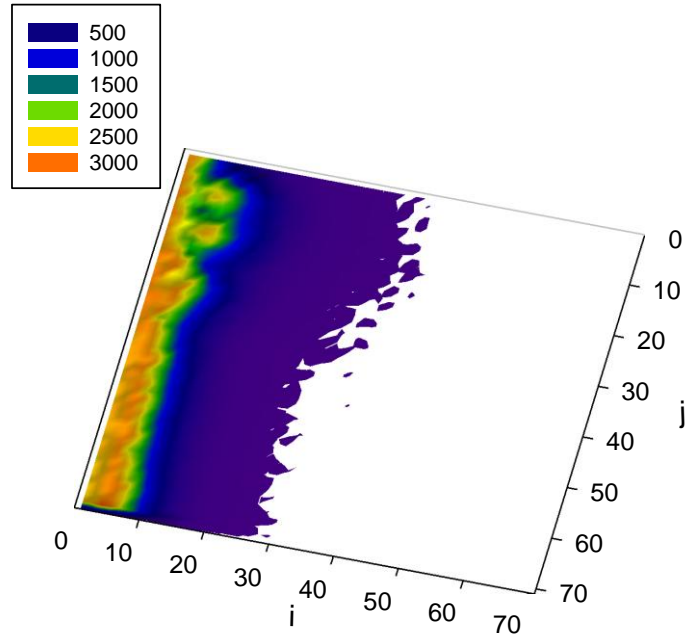
附圖 5-7-1 在 $C_0=1,000,000\text{ppm}$ 、 $P_c=10\text{mmHg}$ 、 $U_0=2\text{cm/s}$ 、 $P_i=3\text{mmHg}$

時，藥物粒子吸附於腫瘤細胞區域內的 2D 分布圖。



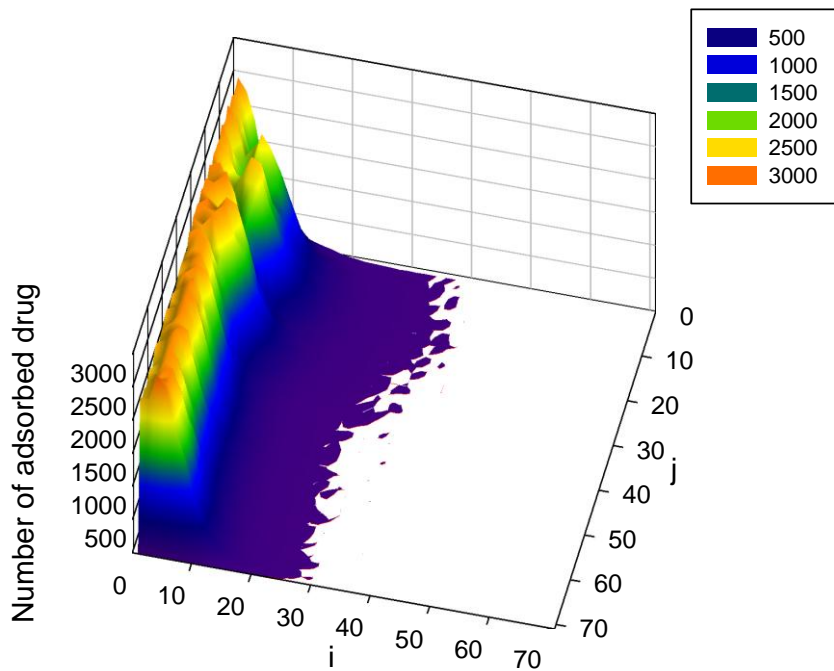
附圖 5-7-2 在 $C_0=1,000,000\text{ppm}$ 、 $P_c=10\text{mmHg}$ 、 $U_0=2\text{cm/s}$ 、 $P_i=3\text{mmHg}$

時，藥物粒子吸附於腫瘤細胞區域內的 3D 分布圖。



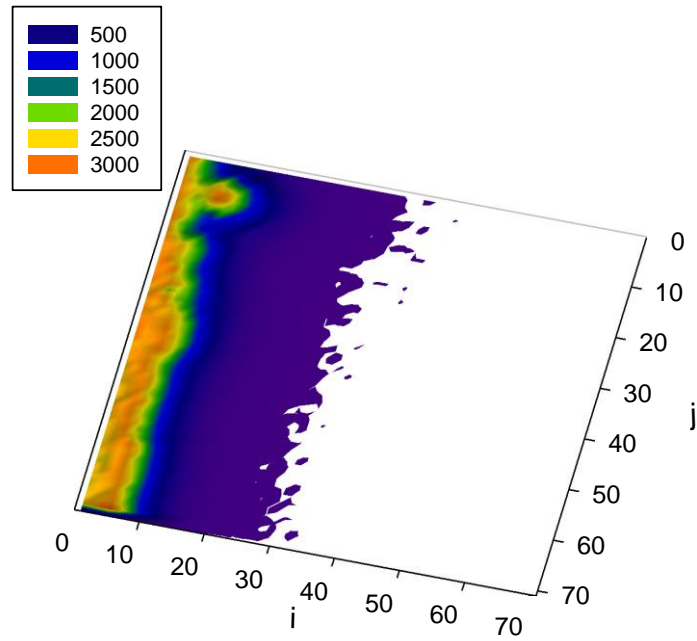
附圖 5-8-1 在 $C_0=1,000,000\text{ppm}$ 、 $P_c=10\text{mmHg}$ 、 $U_0=6\text{cm/s}$ 、 $P_i=0\text{mmHg}$

時，藥物粒子吸附於腫瘤細胞區域內的 2D 分布圖。



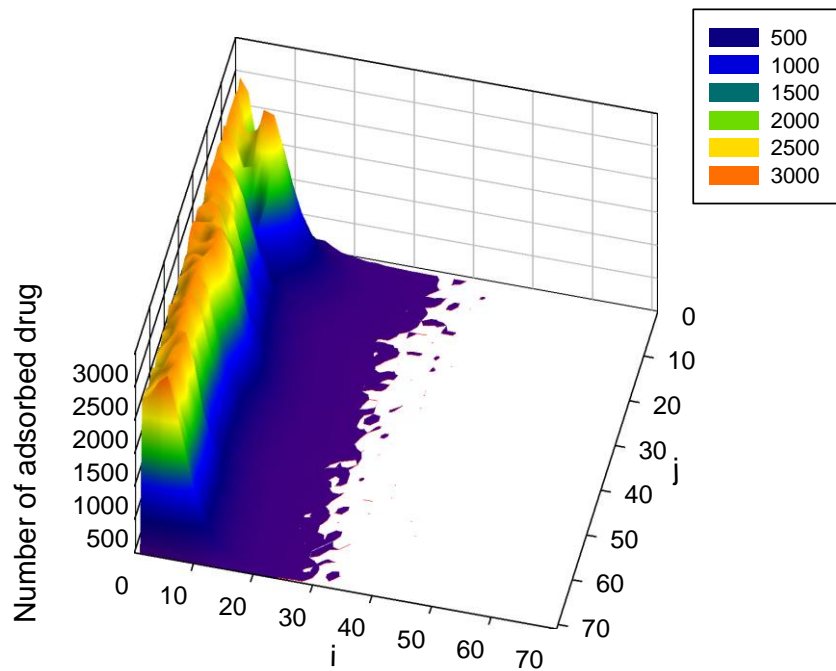
附圖 5-8-2 在 $C_0=1,000,000\text{ppm}$ 、 $P_c=10\text{mmHg}$ 、 $U_0=6\text{cm/s}$ 、 $P_i=0\text{mmHg}$

時，藥物粒子吸附於腫瘤細胞區域內的 3D 分布圖。



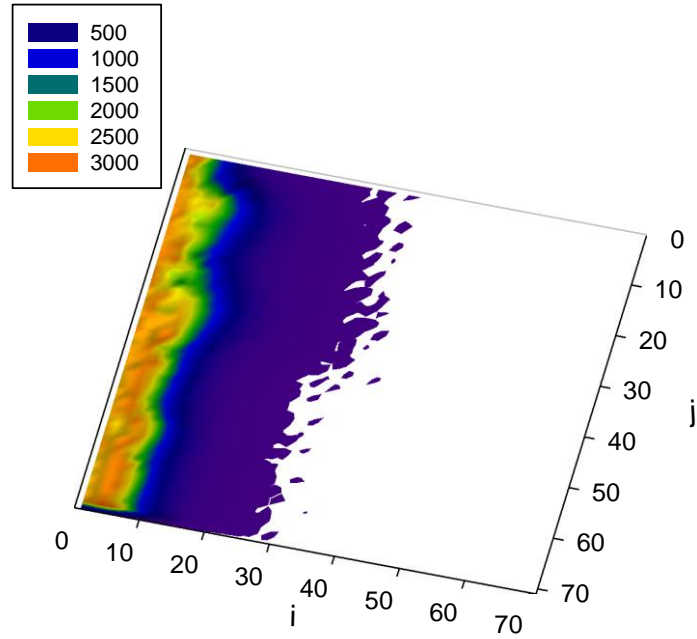
附圖 5-9-1 在 $C_0=1,000,000\text{ppm}$ 、 $P_c=10\text{mmHg}$ 、 $U_0=6\text{cm/s}$ 、 $P_i=3\text{mmHg}$

時，藥物粒子吸附於腫瘤細胞區域內的 2D 分布圖。

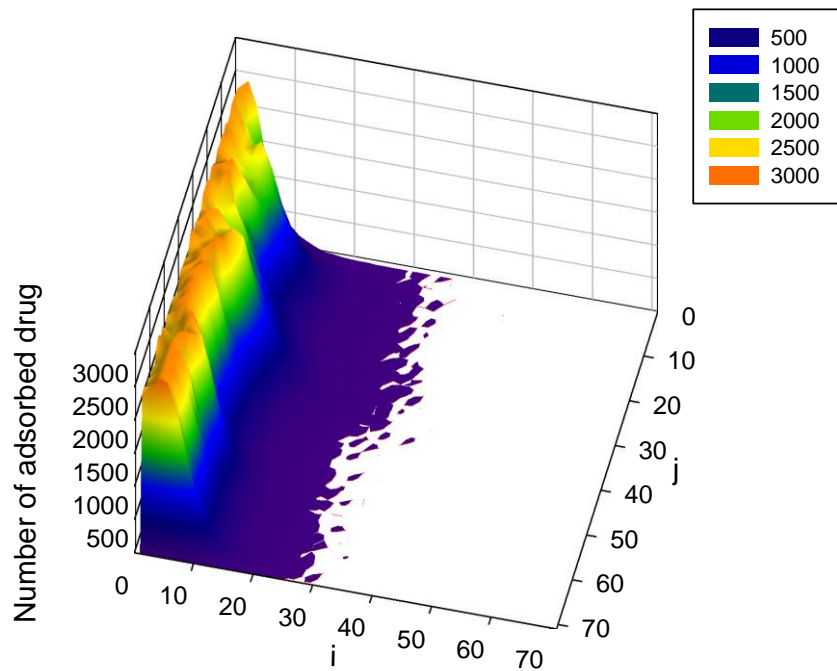


附圖 5-9-2 在 $C_0=1,000,000\text{ppm}$ 、 $P_c=10\text{mmHg}$ 、 $U_0=6\text{cm/s}$ 、 $P_i=3\text{mmHg}$

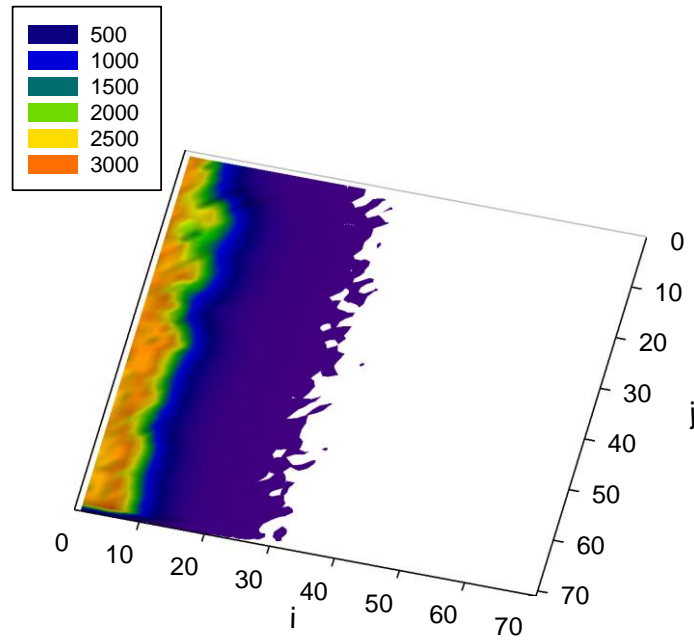
時，藥物粒子吸附於腫瘤細胞區域內的 3D 分布圖。



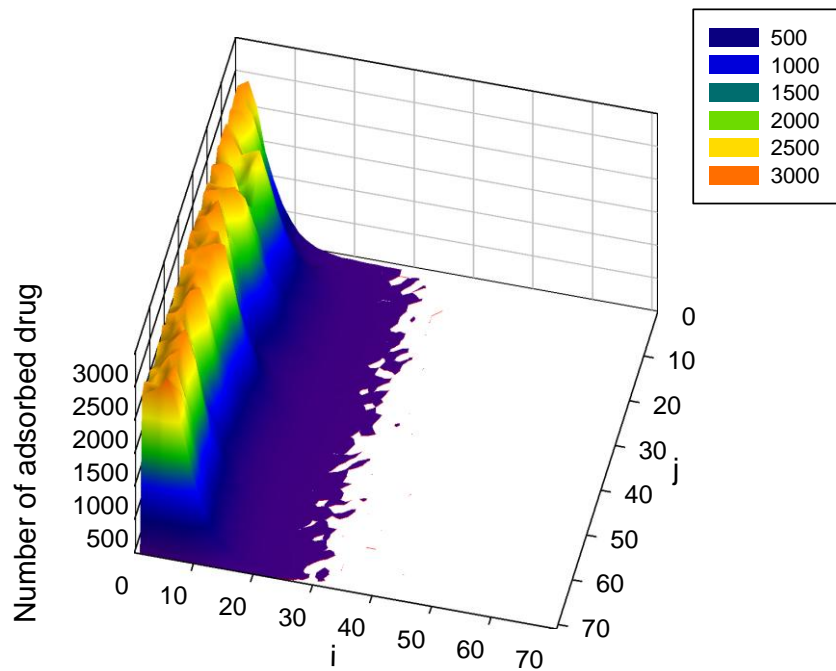
附圖 5-10-1 在 $C_0=1,000,000\text{ppm}$ 、 $P_c=10\text{mmHg}$ 、 $U_0=10\text{cm/s}$ 、 $P_i=0\text{mmHg}$ 時，藥物粒子吸附於腫瘤細胞區域內的 2D 分布圖。



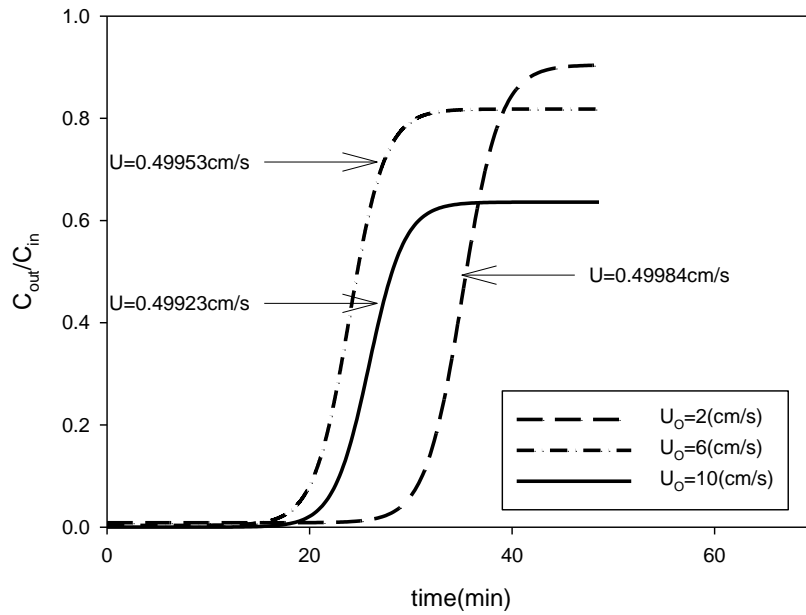
附圖 5-10-2 在 $C_0=1,000,000\text{ppm}$ 、 $P_c=10\text{mmHg}$ 、 $U_0=10\text{cm/s}$ 、 $P_i=0\text{mmHg}$ 時，藥物粒子吸附於腫瘤細胞區域內的 3D 分布圖。



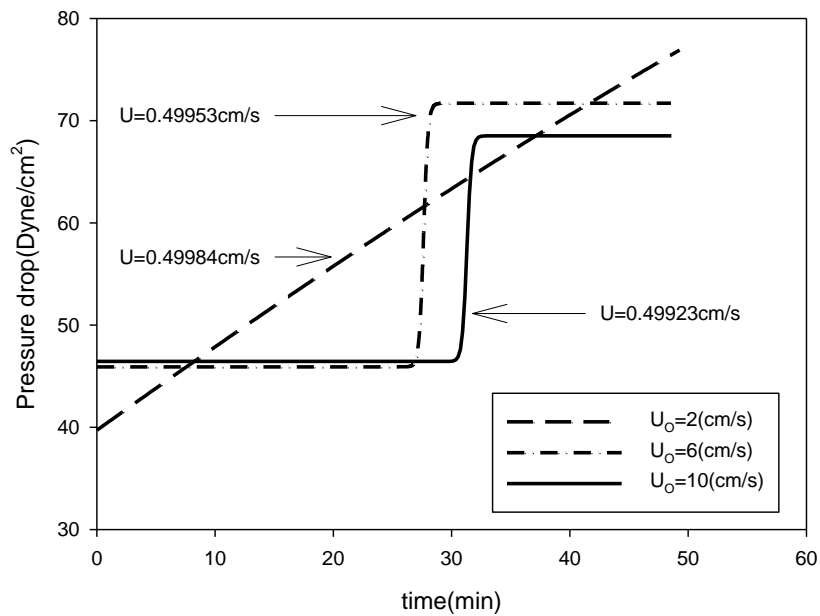
附圖 5-11-1 在 $C_0=1,000,000\text{ppm}$ 、 $P_c=10\text{mmHg}$ 、 $U_0=10\text{cm/s}$ 、 $P_i=3\text{mmHg}$ 時，藥物粒子吸附於腫瘤細胞區域內的 2D 分布圖。



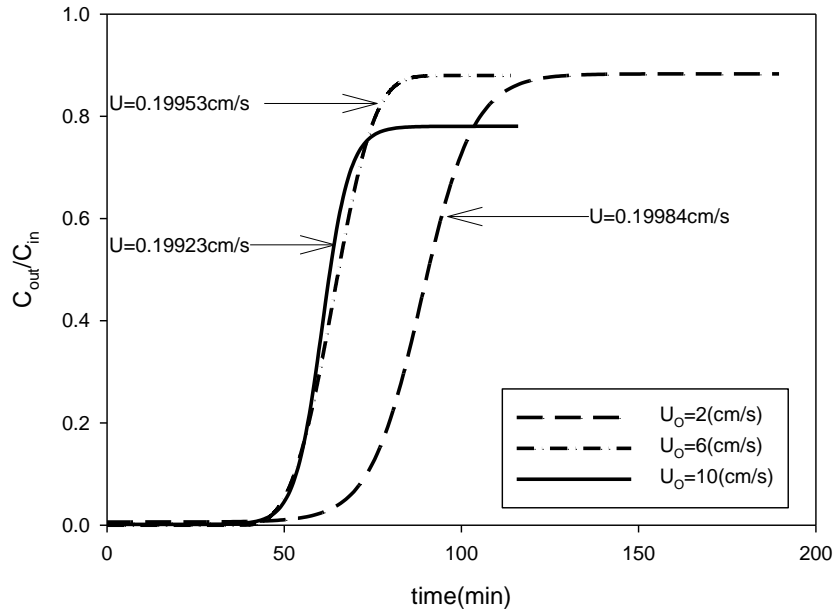
附圖 5-11-2 在 $C_0=1,000,000\text{ppm}$ 、 $P_c=10\text{mmHg}$ 、 $U_0=10\text{cm/s}$ 、 $P_i=3\text{mmHg}$ 時，藥物粒子吸附於腫瘤細胞區域內的 3D 分布圖。



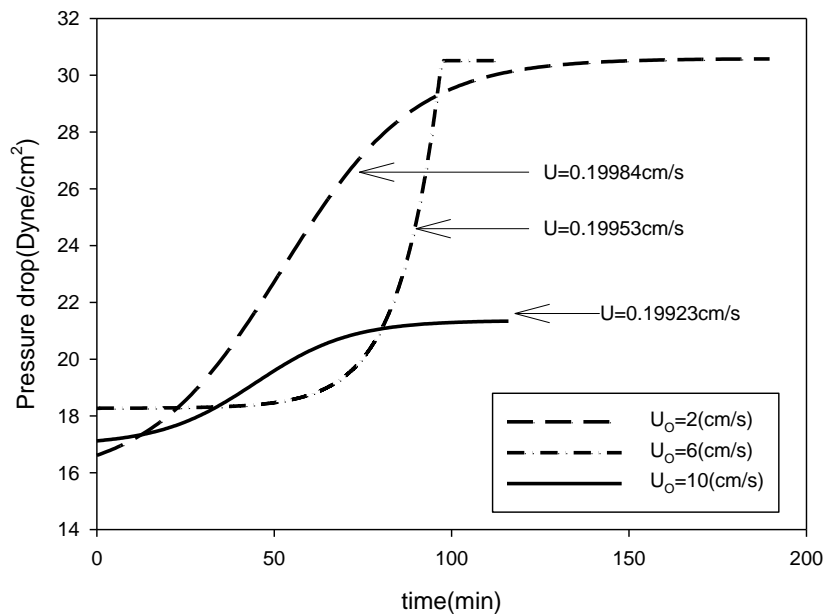
附圖 6-1-1 在 $C_0=2,000,000\text{ppm}$ 、 $P_c=10\text{mmHg}$ 、 $P_i=0\text{mmHg}$ 時，藥物
 粒子進出口濃度比隨時間變化的趨勢。



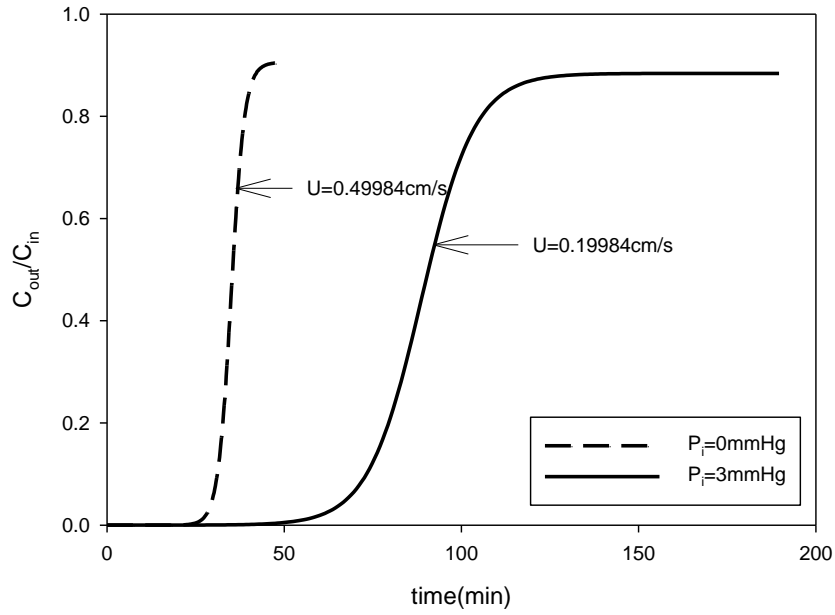
附圖 6-1-2 在 $C_0=2,000,000\text{ppm}$ 、 $P_c=10\text{mmHg}$ 、 $P_i=0\text{mmHg}$ 時，壓降
 隨時間變化的趨勢。



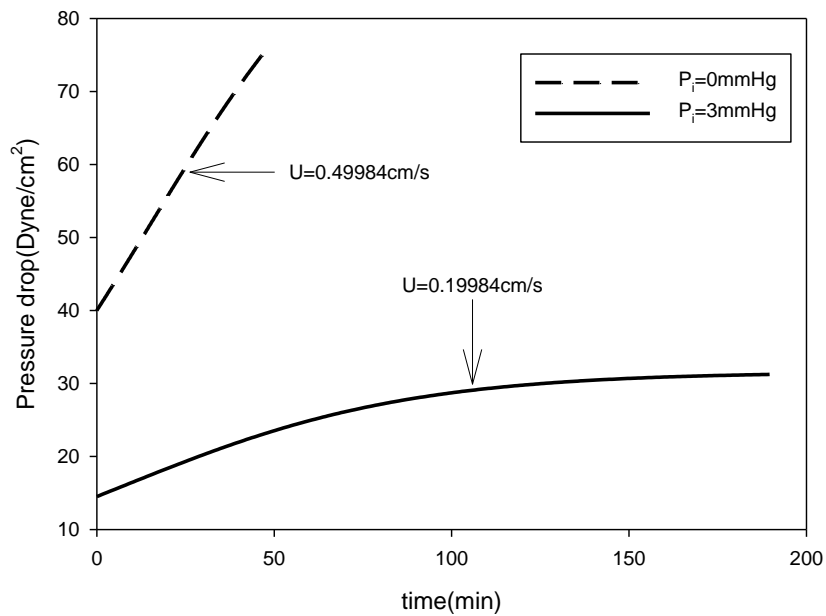
附圖 6-2-1 在 $C_0=2,000,000$ ppm、 $P_c=10$ mmHg、 $P_i=3$ mmHg 時，藥物
 粒子進出口濃度比隨時間變化的趨勢。



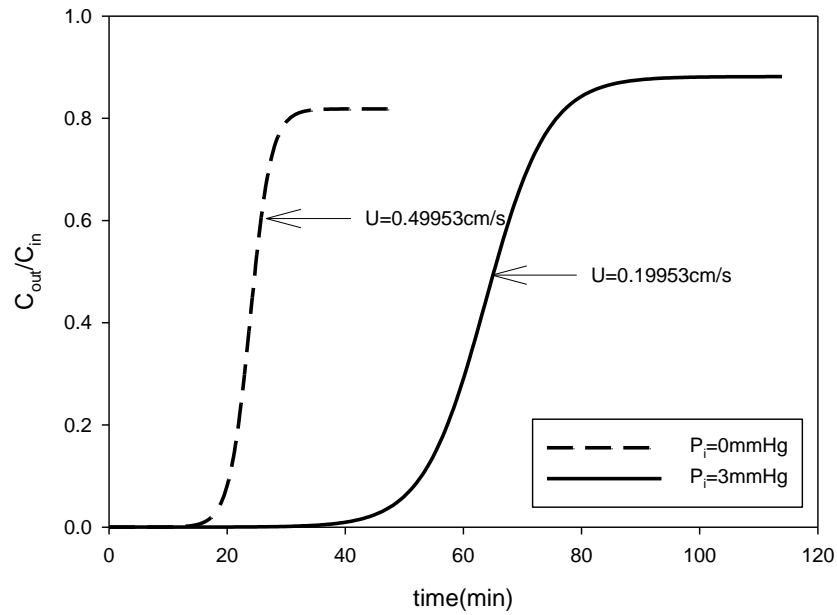
附圖 6-2-2 在 $C_0=2,000,000$ ppm、 $P_c=10$ mmHg、 $P_i=3$ mmHg 時，壓降
 隨時間變化的趨勢。



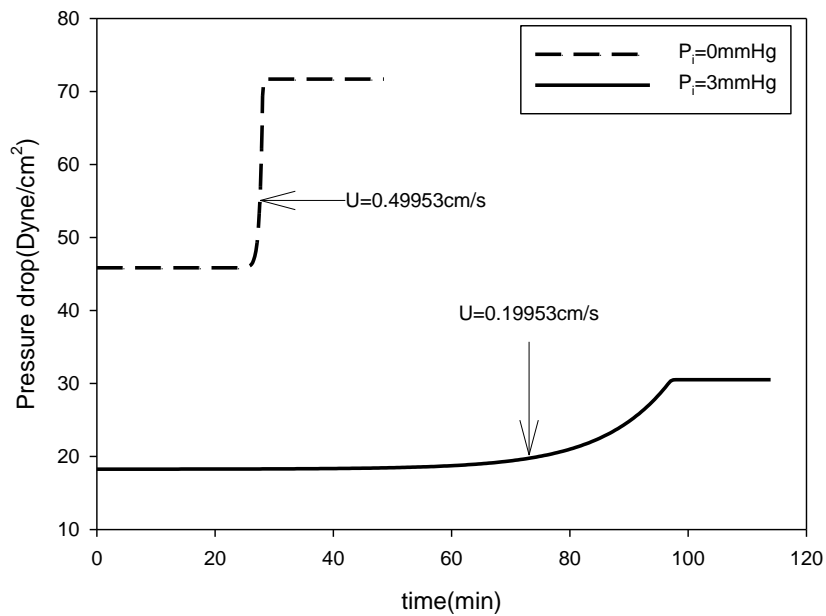
附圖 6-3-1 在 $C_0=2,000,000\text{ppm}$ 、 $P_c=10\text{mmHg}$ 、 $U_0=2\text{cm/s}$ 時，藥物
 粒子進出口濃度比隨時間變化的趨勢。



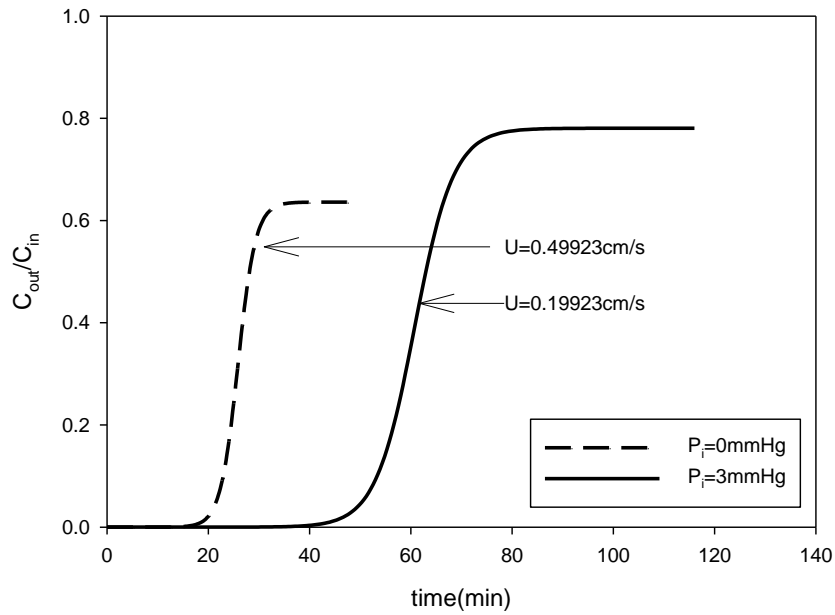
附圖 6-3-2 在 $C_0=2,000,000\text{ppm}$ 、 $P_c=10\text{mmHg}$ 、 $U_0=2\text{cm/s}$ 時，壓降
 隨時間變化的趨勢。



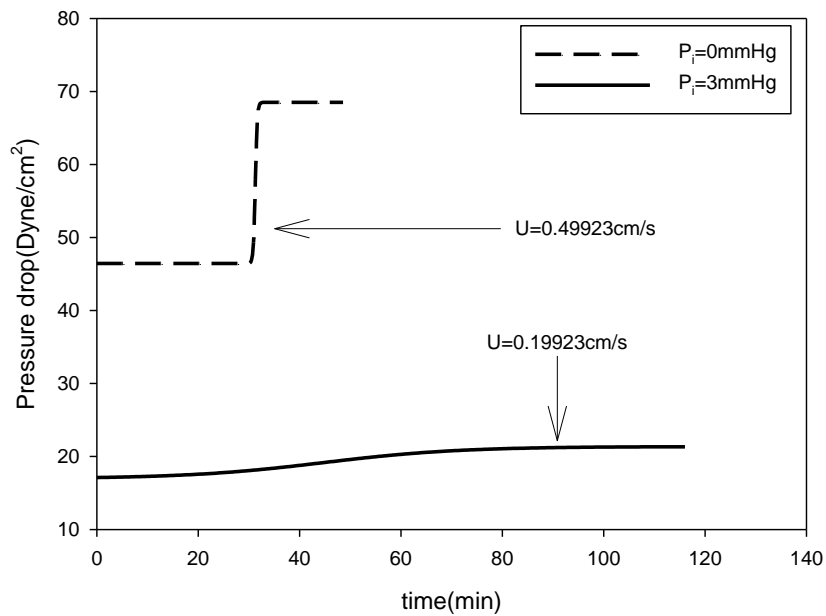
附圖 6-4-1 在 $C_0=2,000,000\text{ppm}$ 、 $P_c=10\text{mmHg}$ 、 $U_0=6\text{cm/s}$ 時，藥物
 粒子進出口濃度比隨時間變化的趨勢。



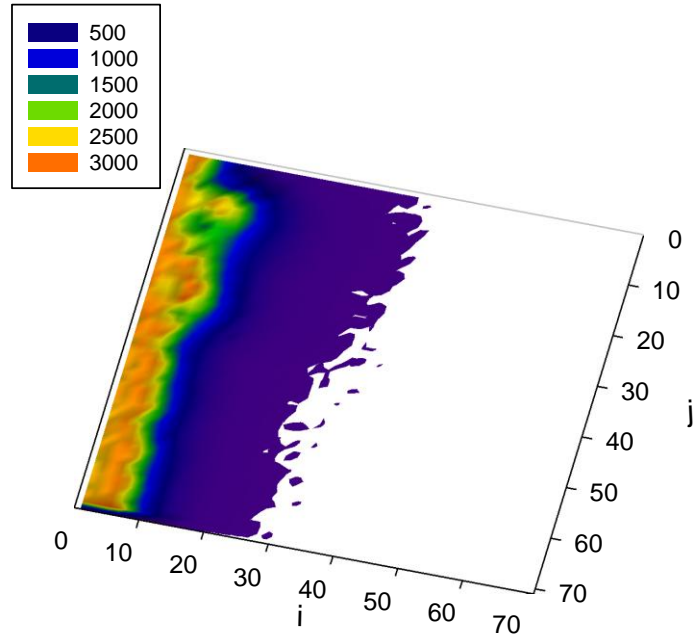
附圖 6-4-2 在 $C_0=2,000,000\text{ppm}$ 、 $P_c=10\text{mmHg}$ 、 $U_0=6\text{cm/s}$ 時，壓降
 隨時間變化的趨勢。



附圖 6-5-1 在 $C_0=2,000,000\text{ppm}$ 、 $P_c=10\text{mmHg}$ 、 $U_0=10\text{cm/s}$ 時，藥物
 粒子進出口濃度比隨時間變化的趨勢。

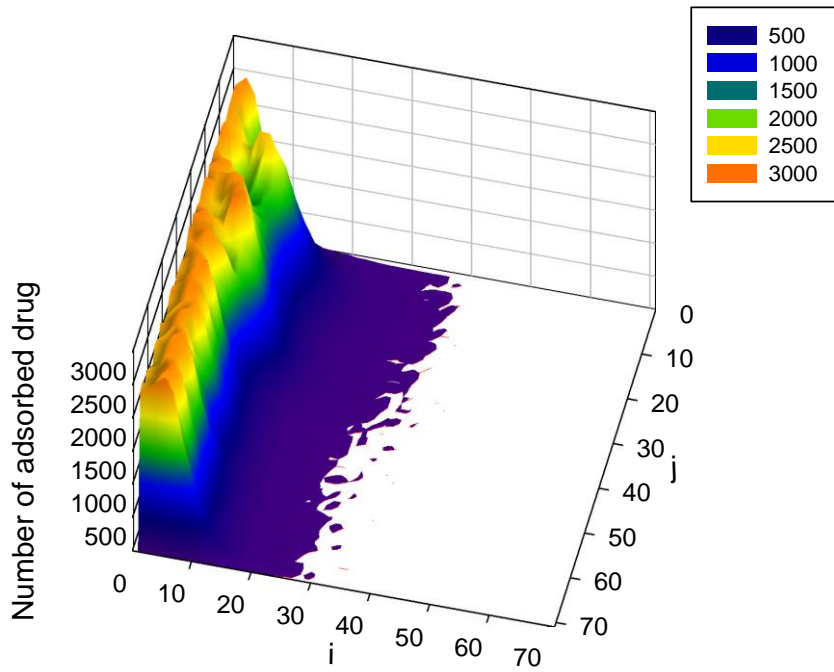


附圖 6-5-2 在 $C_0=2,000,000\text{ppm}$ 、 $P_c=10\text{mmHg}$ 、 $U_0=10\text{cm/s}$ 時，壓降
 隨時間變化的趨勢。



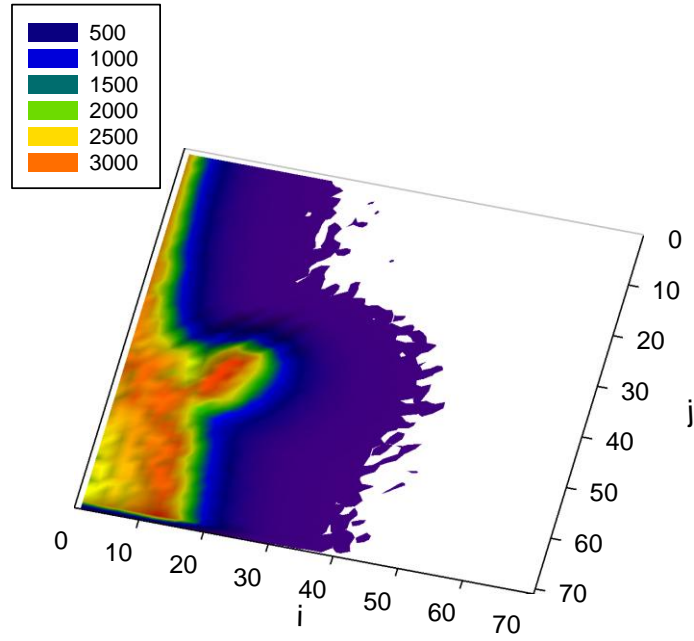
附圖 6-6-1 在 $C_0=2,000,000\text{ppm}$ 、 $P_c=10\text{mmHg}$ 、 $U_0=2\text{cm/s}$ 、 $P_i=0\text{mmHg}$

時，藥物粒子吸附於腫瘤細胞區域內的 2D 分布圖。



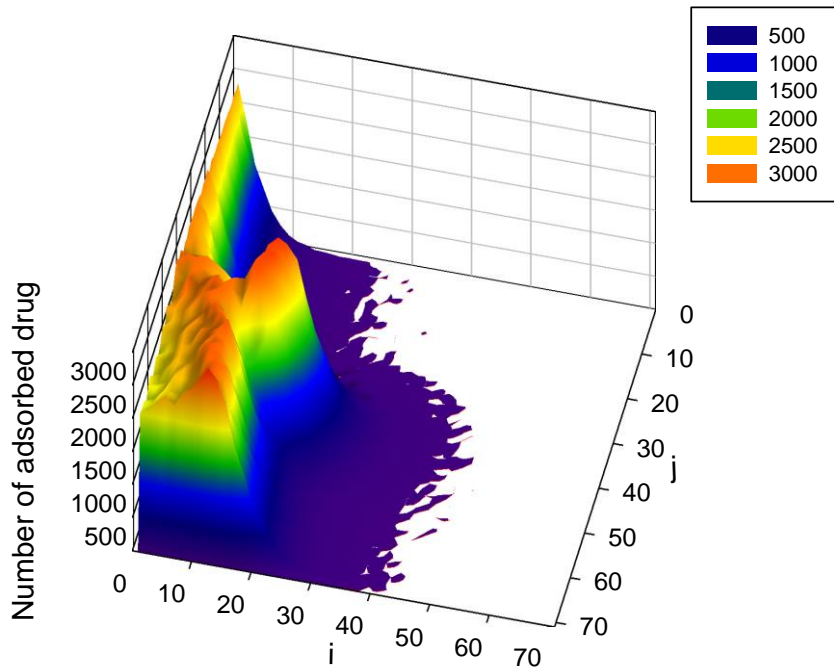
附圖 6-6-2 在 $C_0=2,000,000\text{ppm}$ 、 $P_c=10\text{mmHg}$ 、 $U_0=2\text{cm/s}$ 、 $P_i=0\text{mmHg}$

時，藥物粒子吸附於腫瘤細胞區域內的 3D 分布圖。



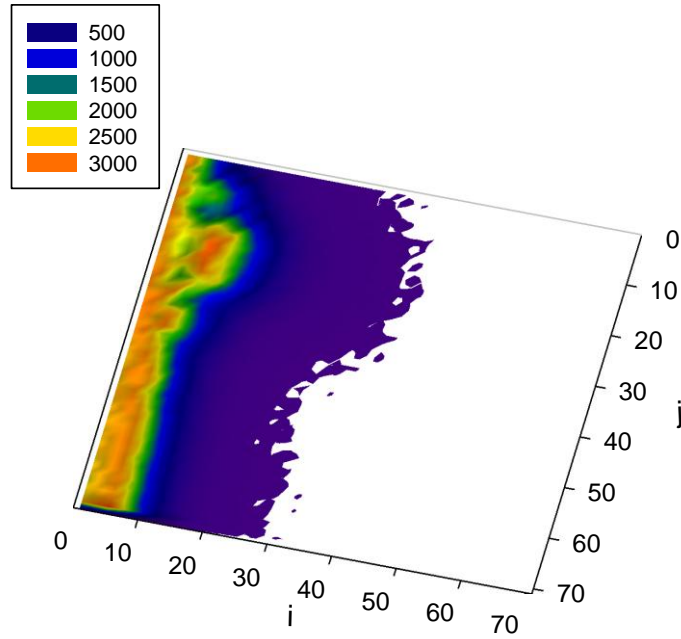
附圖 6-7-1 在 $C_0=2,000,000\text{ppm}$ 、 $P_c=10\text{mmHg}$ 、 $U_0=2\text{cm/s}$ 、 $P_i=3\text{mmHg}$

時，藥物粒子吸附於腫瘤細胞區域內的 2D 分布圖。



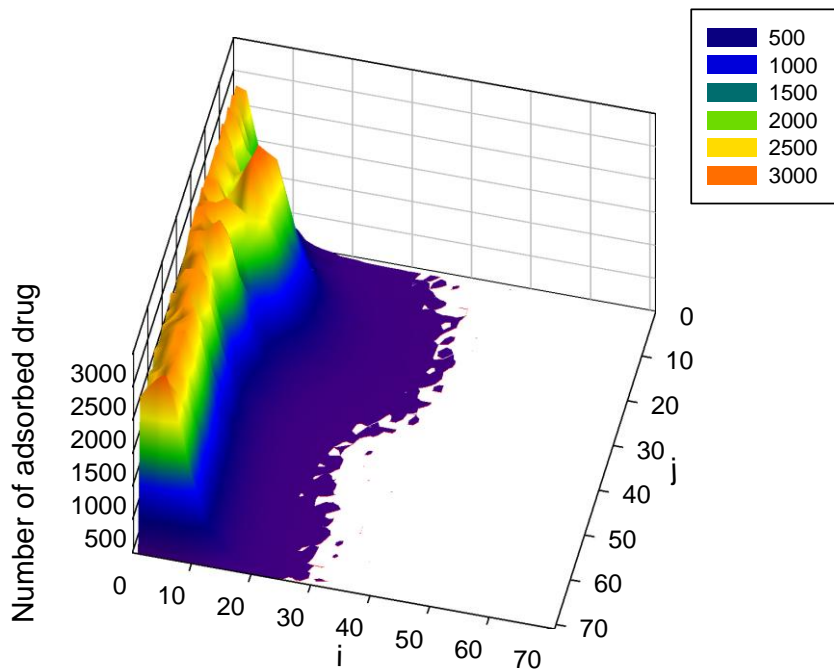
附圖 6-7-2 在 $C_0=2,000,000\text{ppm}$ 、 $P_c=10\text{mmHg}$ 、 $U_0=2\text{cm/s}$ 、 $P_i=3\text{mmHg}$

時，藥物粒子吸附於腫瘤細胞區域內的 3D 分布圖。



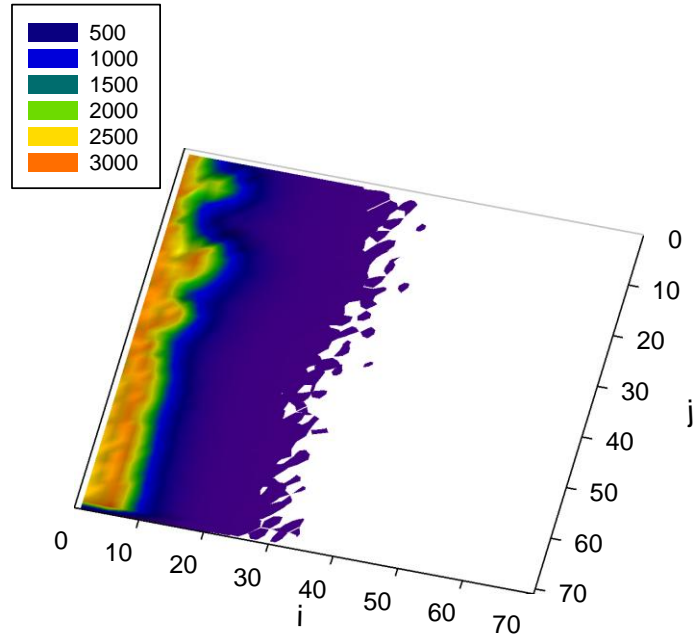
附圖 6-8-1 在 $C_0=2,000,000\text{ppm}$ 、 $P_c=10\text{mmHg}$ 、 $U_0=6\text{cm/s}$ 、 $P_i=0\text{mmHg}$

時，藥物粒子吸附於腫瘤細胞區域內的 2D 分布圖。



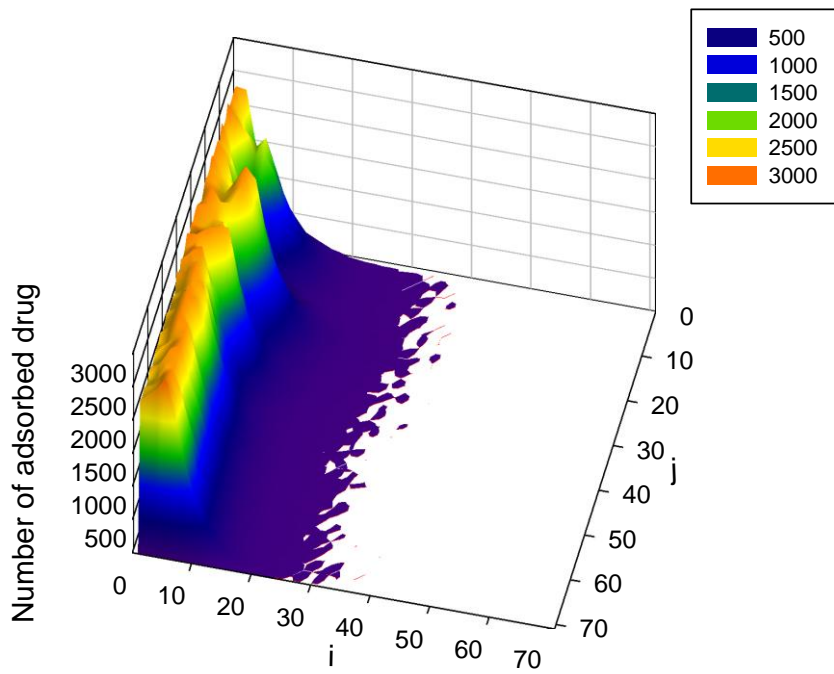
附圖 6-8-2 在 $C_0=2,000,000\text{ppm}$ 、 $P_c=10\text{mmHg}$ 、 $U_0=6\text{cm/s}$ 、 $P_i=0\text{mmHg}$

時，藥物粒子吸附於腫瘤細胞區域內的 3D 分布圖。



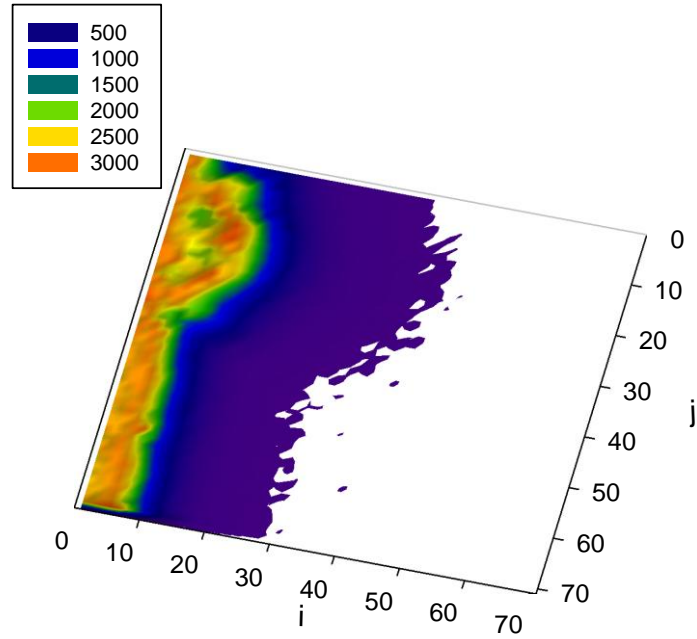
附圖 6-9-1 在 $C_0=2,000,000\text{ppm}$ 、 $P_c=10\text{mmHg}$ 、 $U_0=6\text{cm/s}$ 、 $P_i=3\text{mmHg}$

時，藥物粒子吸附於腫瘤細胞區域內的 2D 分布圖。

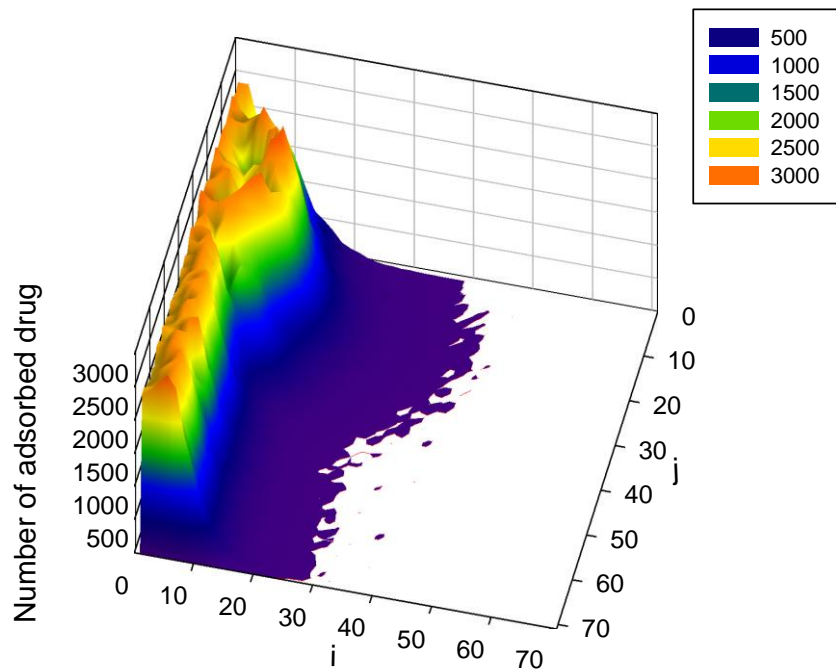


附圖 6-9-2 在 $C_0=2,000,000\text{ppm}$ 、 $P_c=10\text{mmHg}$ 、 $U_0=6\text{cm/s}$ 、 $P_i=3\text{mmHg}$

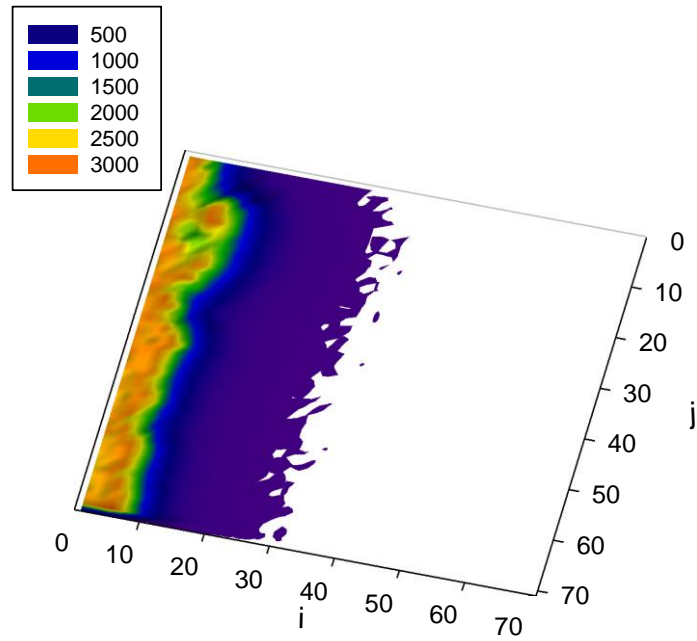
時，藥物粒子吸附於腫瘤細胞區域內的 3D 分布圖。



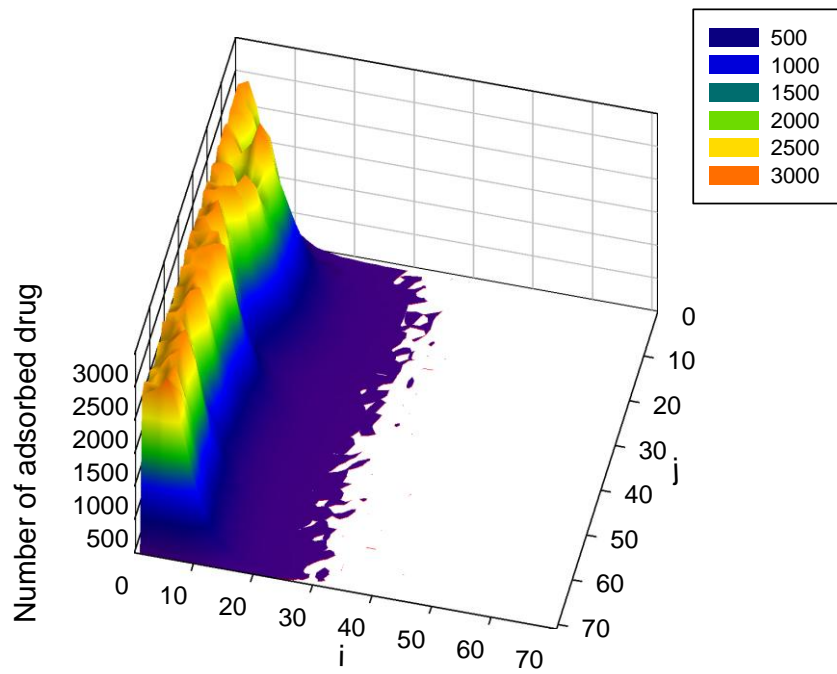
附圖 6-10-1 在 $C_0=2,000,000\text{ppm}$ 、 $P_c=10\text{mmHg}$ 、 $U_0=10\text{cm/s}$ 、 $P_i=0\text{mmHg}$ 時，藥物粒子吸附於腫瘤細胞區域內的 2D 分布圖。



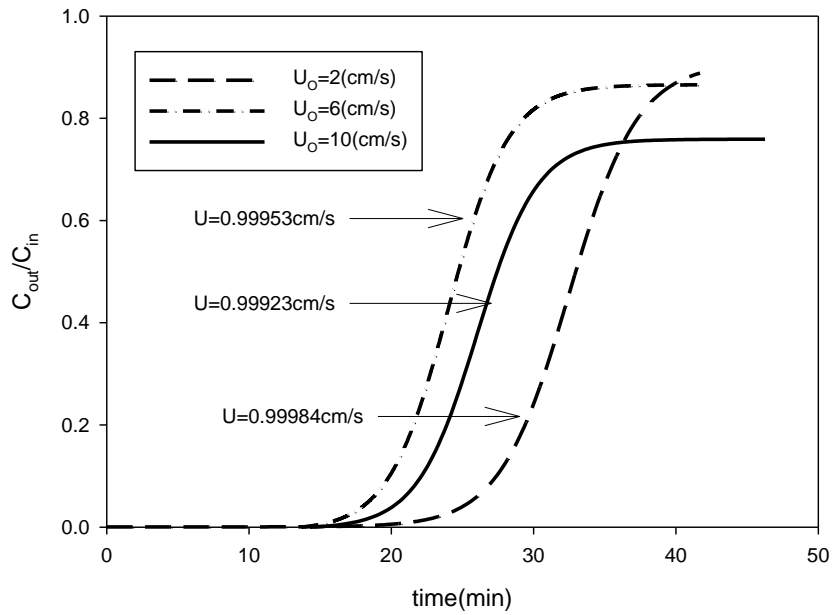
附圖 6-10-2 在 $C_0=2,000,000\text{ppm}$ 、 $P_c=10\text{mmHg}$ 、 $U_0=10\text{cm/s}$ 、 $P_i=0\text{mmHg}$ 時，藥物粒子吸附於腫瘤細胞區域內的 3D 分布圖。



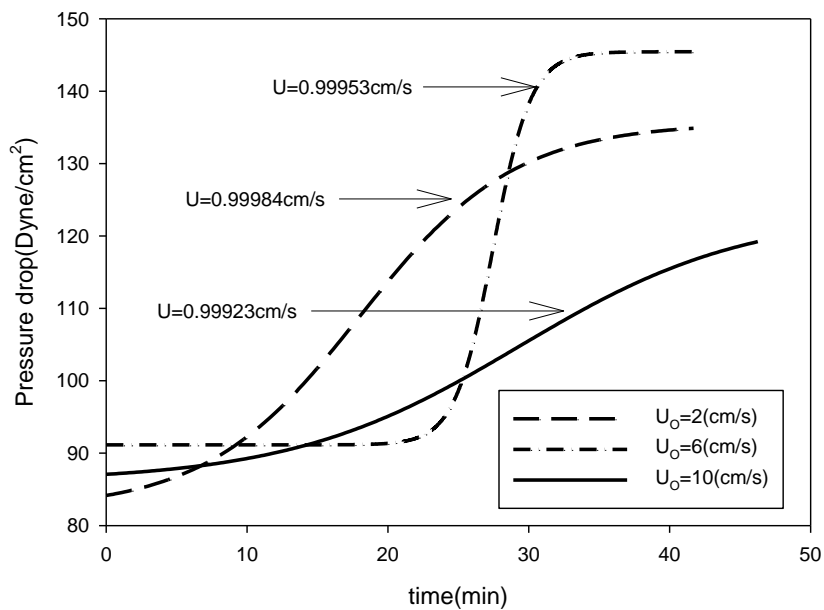
附圖 6-11-1 在 $C_0=2,000,000\text{ppm}$ 、 $P_c=10\text{mmHg}$ 、 $U_0=10\text{cm/s}$ 、 $P_i=3\text{mmHg}$ 時，藥物粒子吸附於腫瘤細胞區域內的 2D 分布圖。



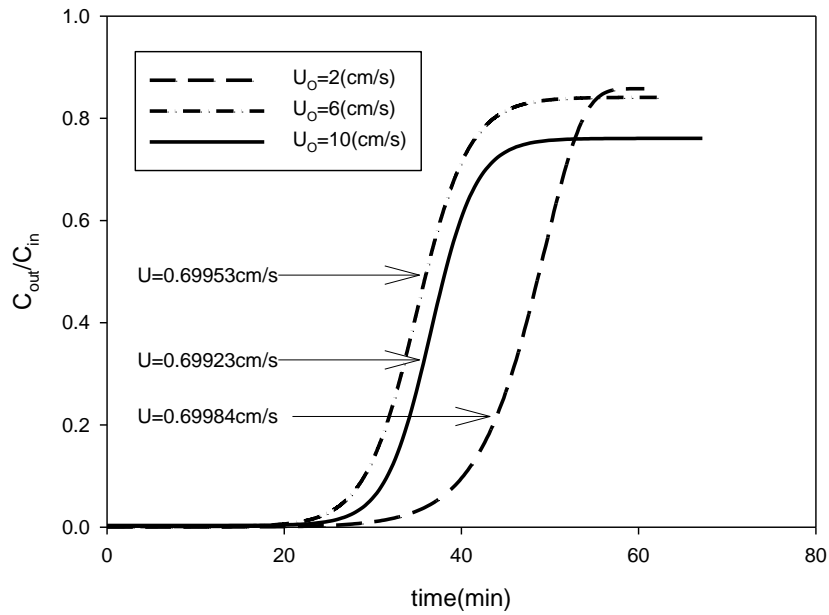
附圖 6-11-2 在 $C_0=2,000,000\text{ppm}$ 、 $P_c=10\text{mmHg}$ 、 $U_0=10\text{cm/s}$ 、 $P_i=3\text{mmHg}$ 時，藥物粒子吸附於腫瘤細胞區域內的 3D 分布圖。



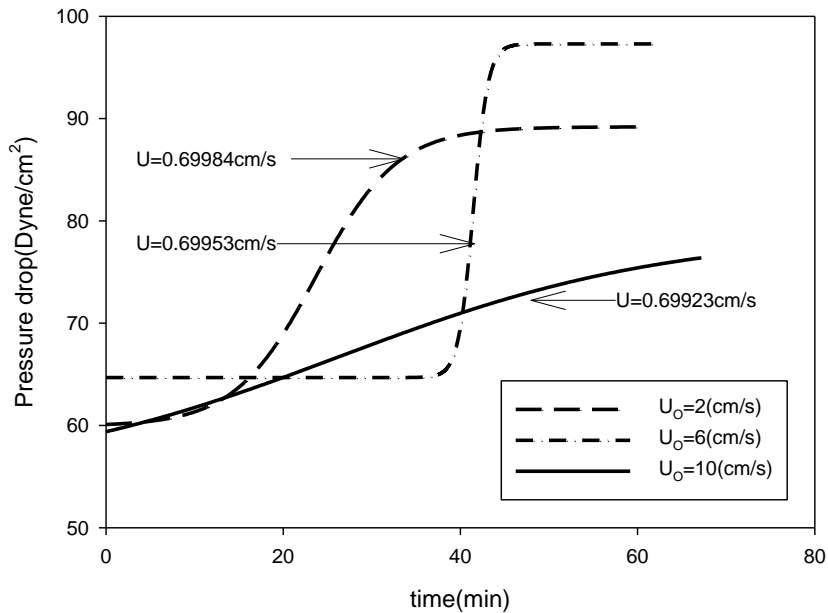
附圖 7-1-1 在 $C_0=1,000,000$ ppm、 $P_c=15$ mmHg、 $P_i=0$ mmHg 時，藥物
 粒子進出口濃度比隨時間變化的趨勢。



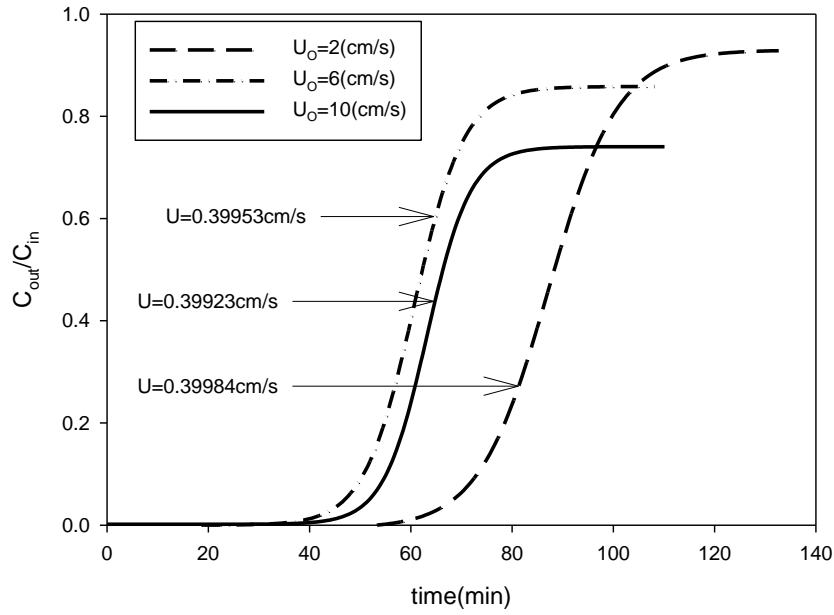
附圖 7-1-2 在 $C_0=1,000,000$ ppm、 $P_c=15$ mmHg、 $P_i=0$ mmHg 時，壓降
 隨時間變化的趨勢。



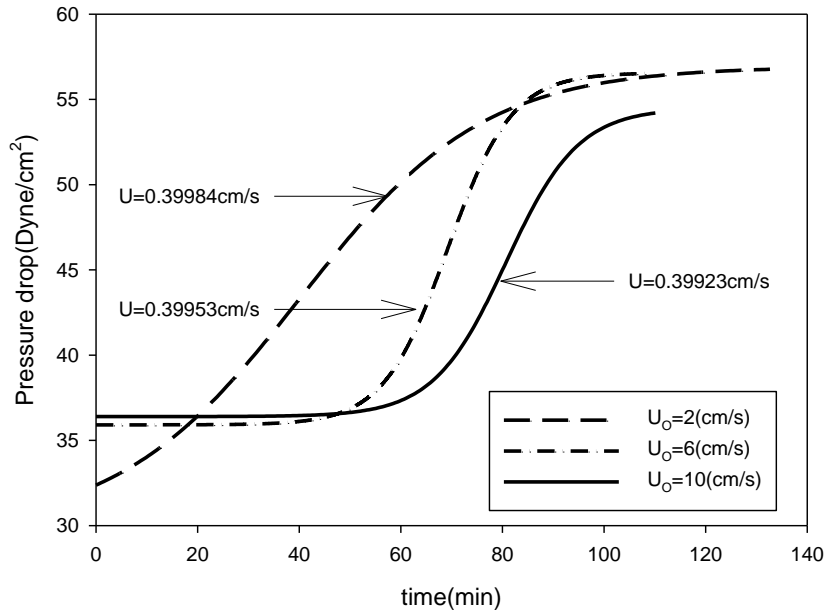
附圖 7-2-1 在 $C_0=1,000,000$ ppm、 $P_c=15$ mmHg、 $P_i=3$ mmHg 時，藥物
 粒子進出口濃度比隨時間變化的趨勢。



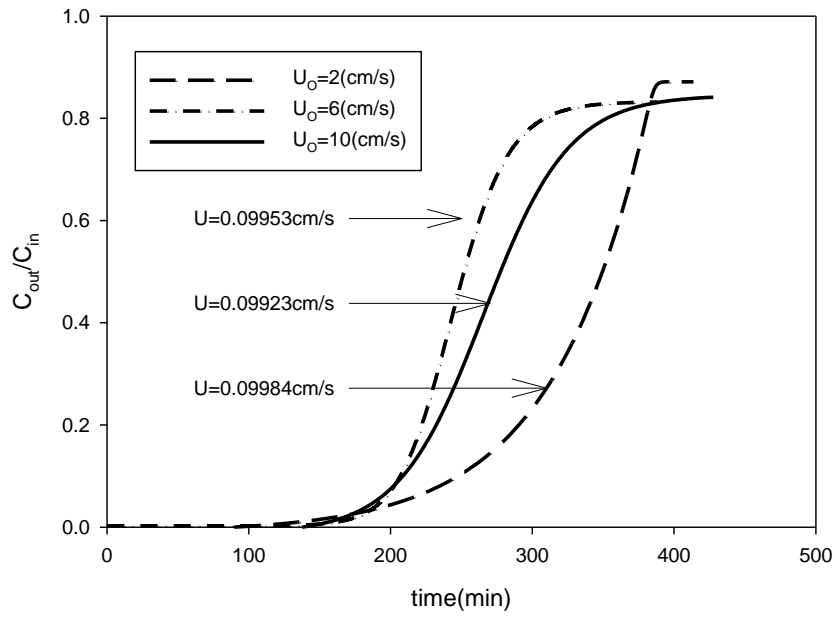
附圖 7-2-2 在 $C_0=1,000,000$ ppm、 $P_c=15$ mmHg、 $P_i=3$ mmHg 時，壓降
 隨時間變化的趨勢。



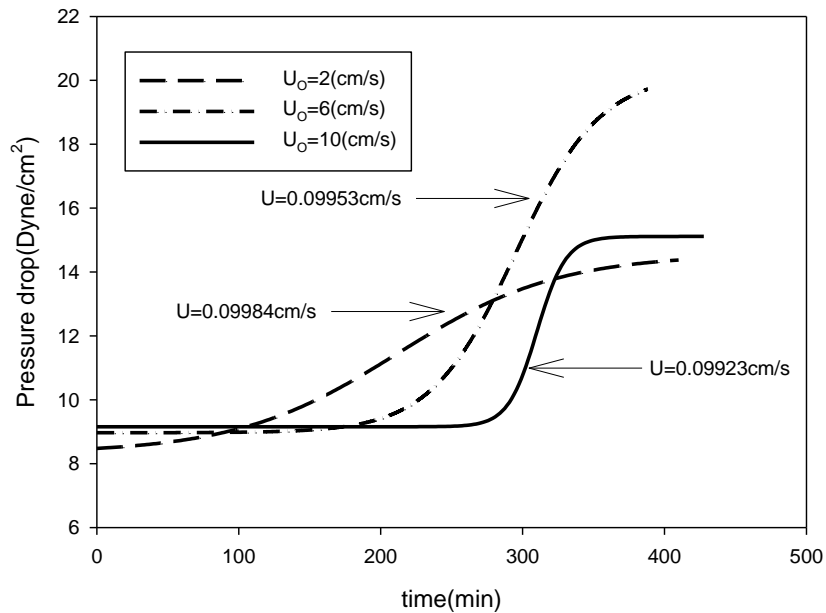
附圖 7-3-1 在 $C_0=1,000,000$ ppm、 $P_c=15$ mmHg、 $P_i=6$ mmHg 時，藥物
 粒子進出口濃度比隨時間變化的趨勢。



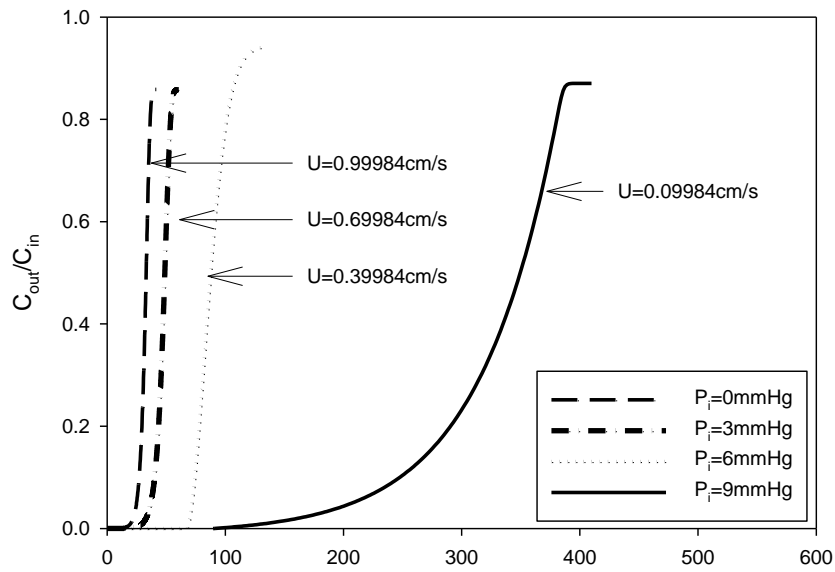
附圖 7-3-2 在 $C_0=1,000,000$ ppm、 $P_c=15$ mmHg、 $P_i=6$ mmHg 時，壓降
 隨時間變化的趨勢。



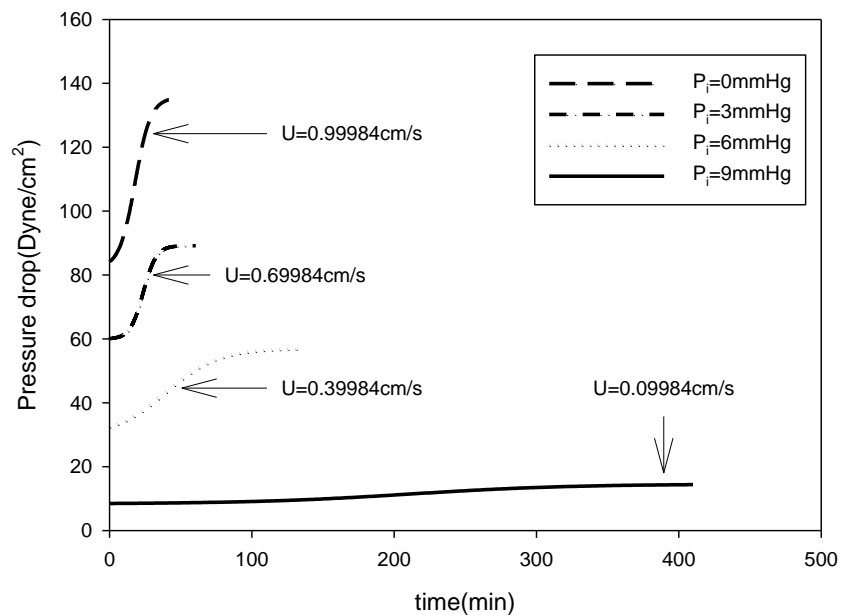
附圖 7-4-1 在 $C_0=1,000,000$ ppm、 $P_c=15$ mmHg、 $P_i=9$ mmHg 時，藥物
 粒子進出口濃度比隨時間變化的趨勢。



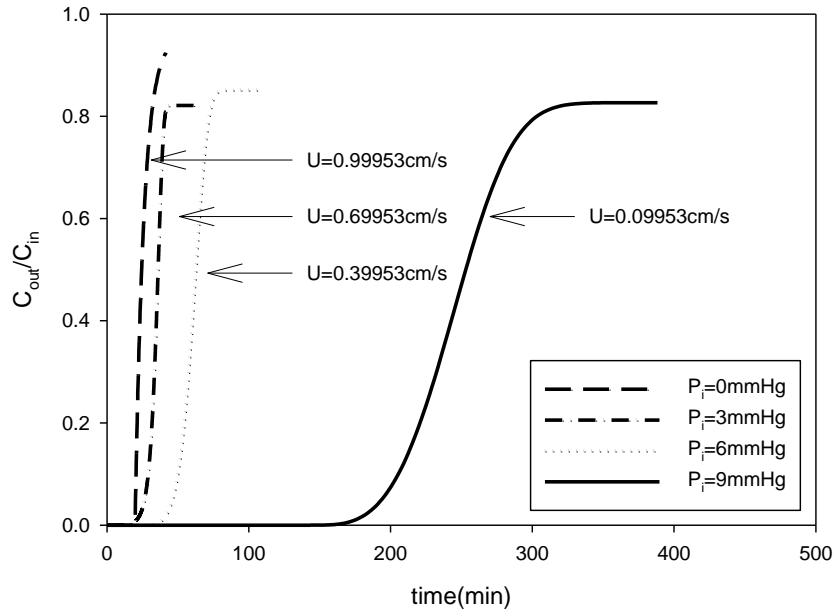
附圖 7-4-2 在 $C_0=1,000,000$ ppm、 $P_c=15$ mmHg、 $P_i=9$ mmHg 時，壓降
 隨時間變化的趨勢。



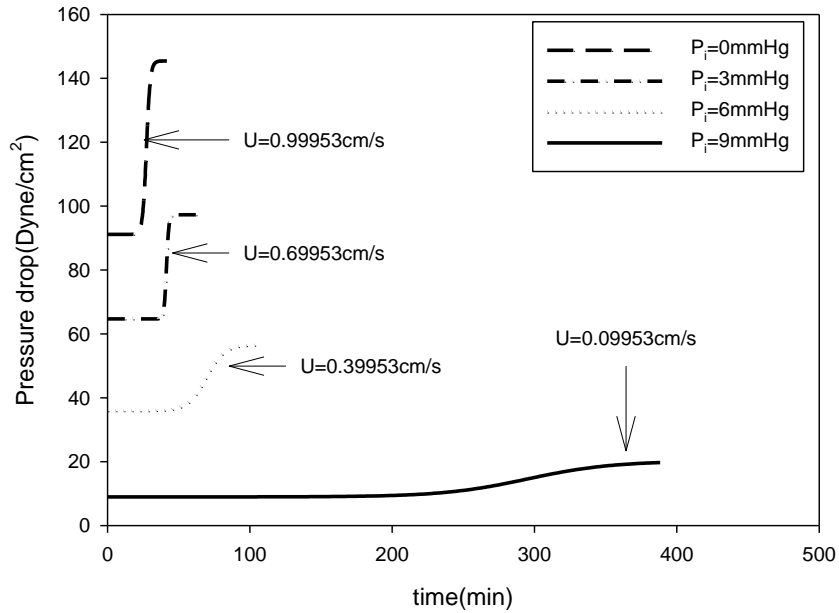
附圖 7-5-1 在 $C_0=1,000,000$ ppm、 $P_c=15$ mmHg、 $U_0=2$ cm/s 時，藥物
 粒子進出口濃度比隨時間變化的趨勢。



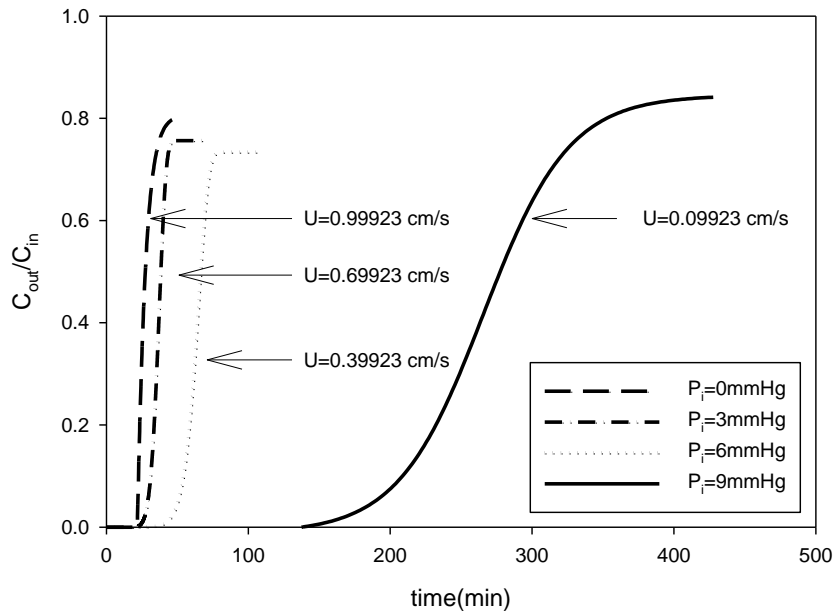
附圖 7-5-2 在 $C_0=1,000,000$ ppm、 $P_c=15$ mmHg、 $U_0=2$ cm/s 時，壓降
 隨時間變化的趨勢。



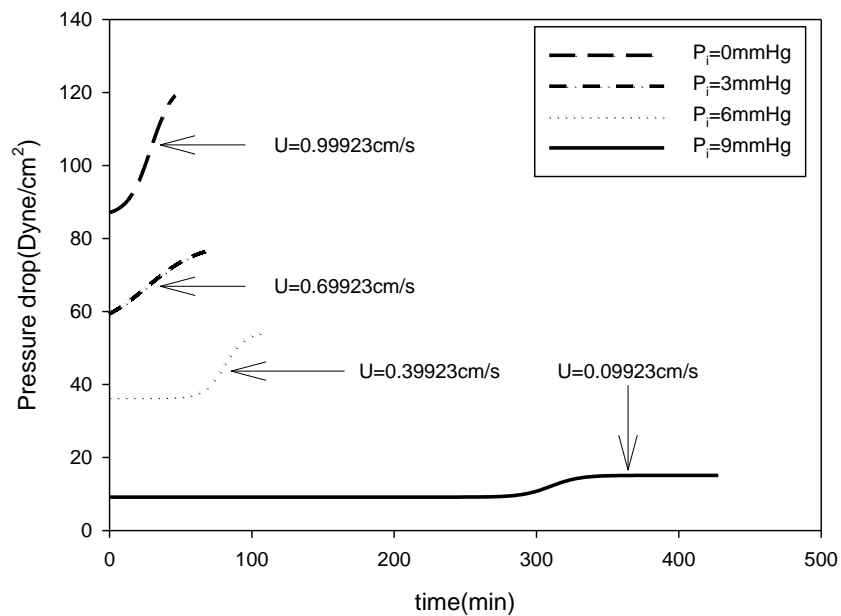
附圖 7-6-1 在 $C_0=1,000,000\text{ppm}$ 、 $P_c=15\text{mmHg}$ 、 $U_0=6\text{cm/s}$ 時，藥物粒子進出口濃度比隨時間變化的趨勢。



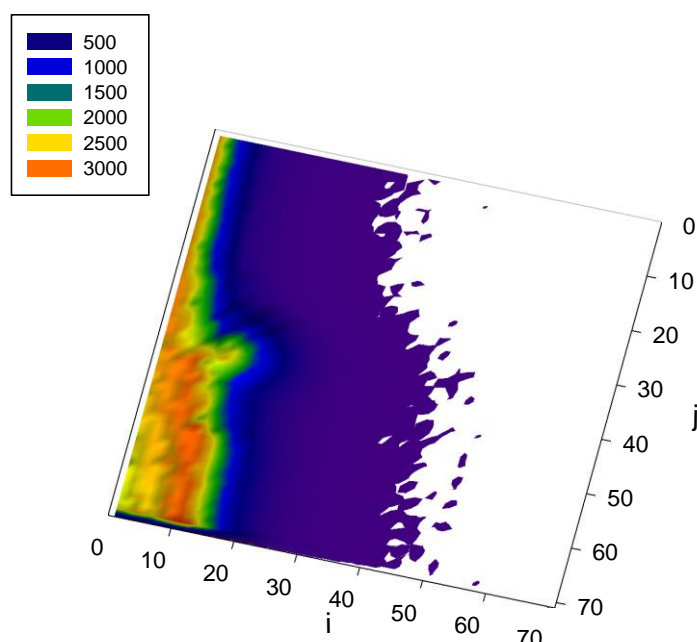
附圖 7-6-2 在 $C_0=1,000,000\text{ppm}$ 、 $P_c=15\text{mmHg}$ 、 $U_0=6\text{cm/s}$ 時，壓降隨時間變化的趨勢。



附圖 7-7-1 在 $C_0=1,000,000\text{ppm}$ 、 $P_c=15\text{mmHg}$ 、 $U_0=10\text{cm/s}$ 時，藥物
 粒子進出口濃度比隨時間變化的趨勢。

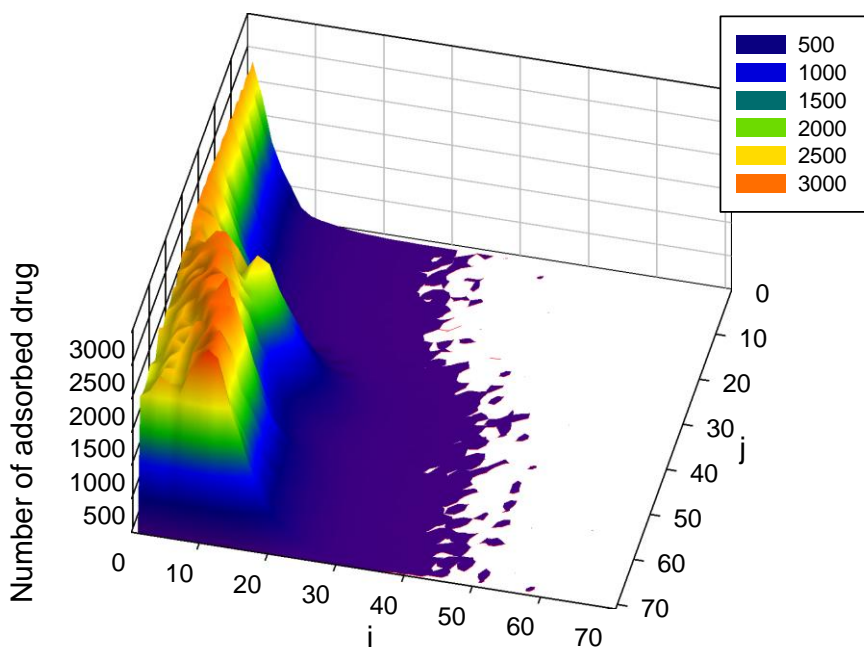


附圖 7-7-2 在 $C_0=1,000,000\text{ppm}$ 、 $P_c=15\text{mmHg}$ 、 $U_0=10\text{cm/s}$ 時，壓降
 隨時間變化的趨勢。



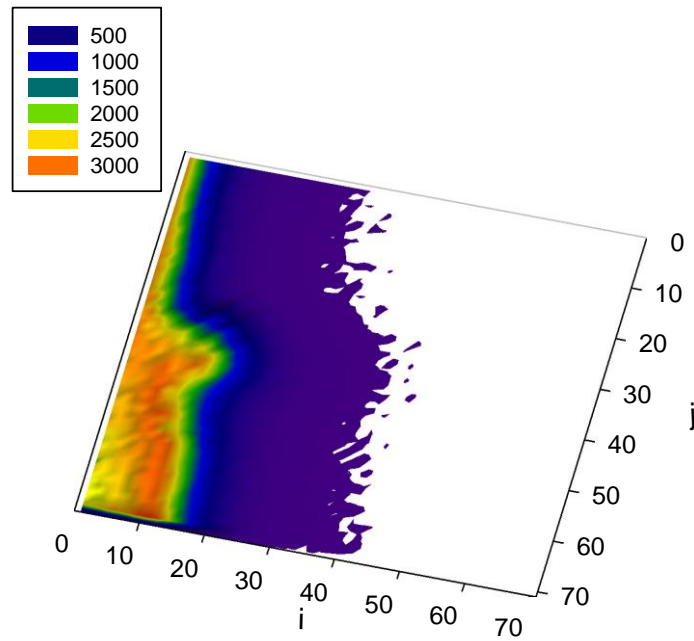
附圖 7-8-1 在 $C_0=1,000,000\text{ppm}$ 、 $P_c=15\text{mmHg}$ 、 $U_0=2\text{cm/s}$ 、 $P_i=0\text{mmHg}$

時，藥物粒子吸附於腫瘤細胞區域內的 2D 分布圖。



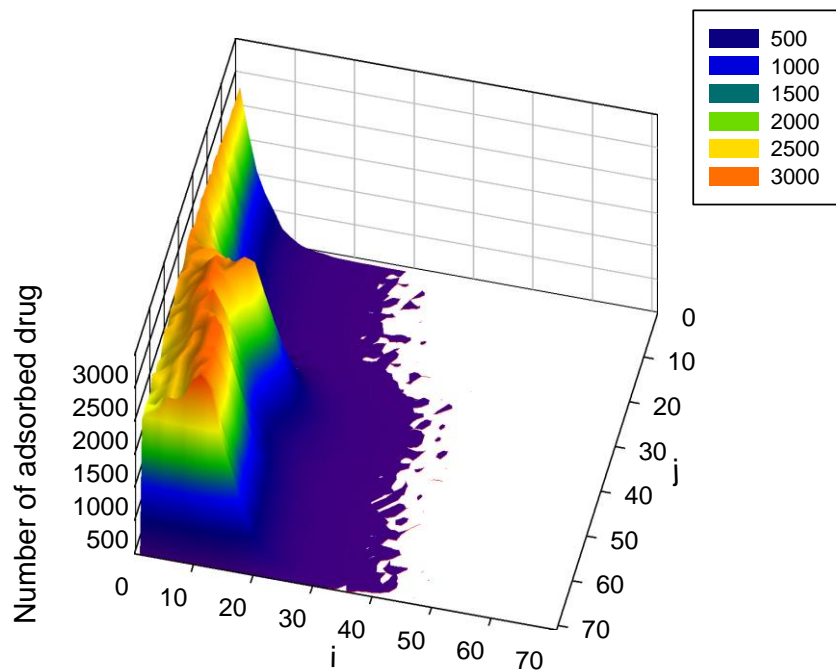
附圖 7-8-2 在 $C_0=1,000,000\text{ppm}$ 、 $P_c=15\text{mmHg}$ 、 $U_0=2\text{cm/s}$ 、 $P_i=0\text{mmHg}$

時，藥物粒子吸附於腫瘤細胞區域內的 3D 分布圖。



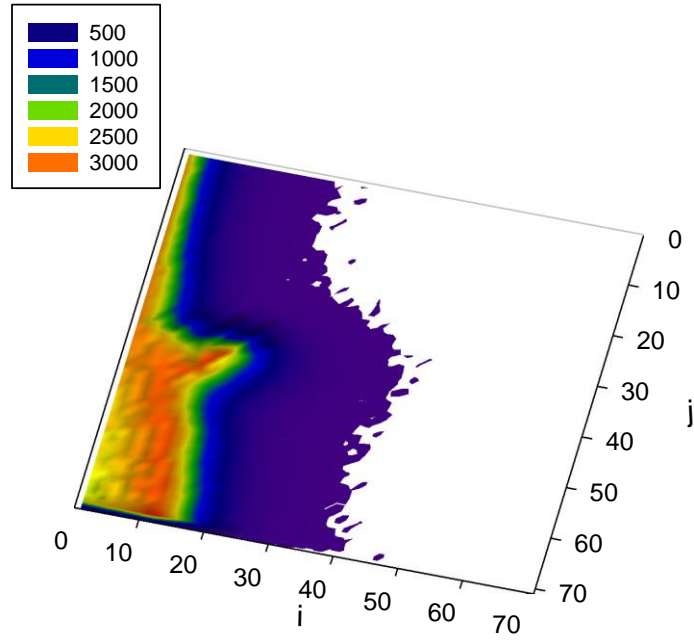
附圖 7-9-1 在 $C_0=1,000,000\text{ppm}$ 、 $P_c=15\text{mmHg}$ 、 $U_0=2\text{cm/s}$ 、 $P_i=3\text{mmHg}$

時，藥物粒子吸附於腫瘤細胞區域內的 2D 分布圖。



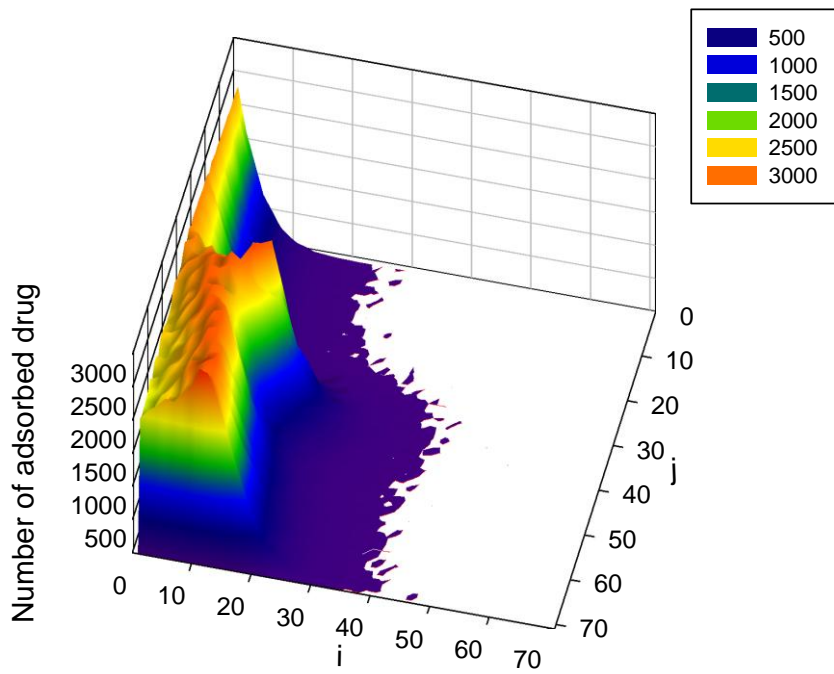
附圖 7-9-2 在 $C_0=1,000,000\text{ppm}$ 、 $P_c=15\text{mmHg}$ 、 $U_0=2\text{cm/s}$ 、 $P_i=3\text{mmHg}$

時，藥物粒子吸附於腫瘤細胞區域內的 3D 分布圖。



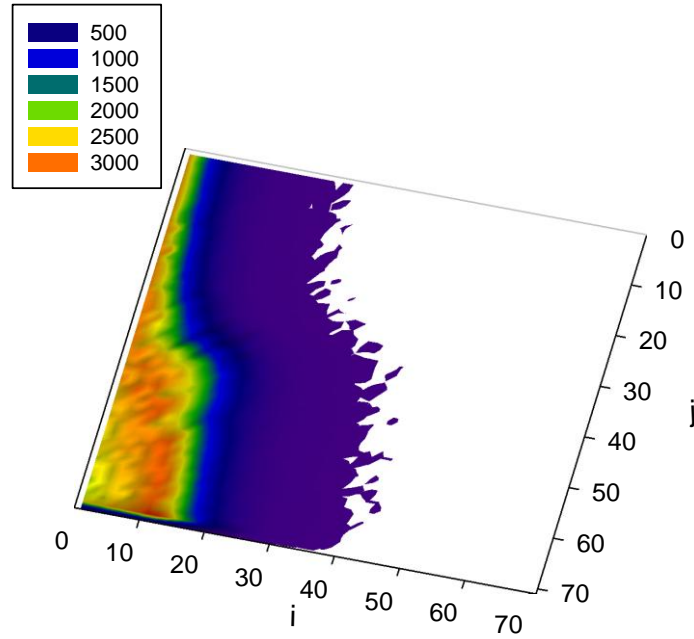
附圖 7-10-1 在 $C_0=1,000,000\text{ppm}$ 、 $P_c=15\text{mmHg}$ 、 $U_0=2\text{cm/s}$ 、 $P_i=6\text{mmHg}$

時，藥物粒子吸附於腫瘤細胞區域內的 2D 分布圖。



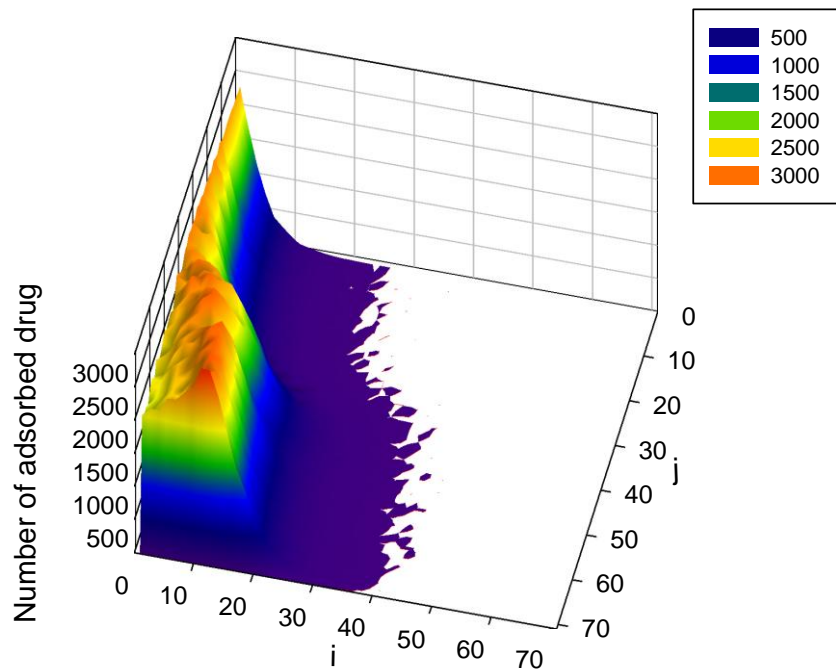
附圖 7-10-2 在 $C_0=1,000,000\text{ppm}$ 、 $P_c=15\text{mmHg}$ 、 $U_0=2\text{cm/s}$ 、 $P_i=6\text{mmHg}$

時，藥物粒子吸附於腫瘤細胞區域內的 3D 分布圖。



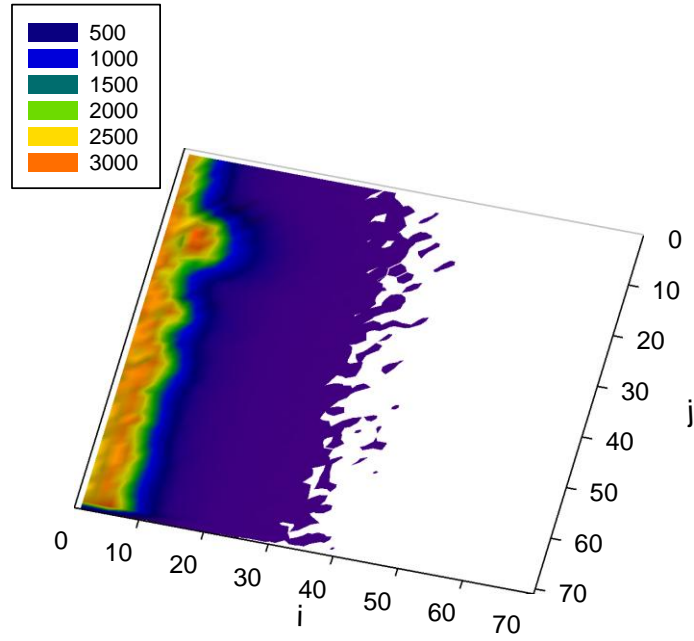
附圖 7-11-1 在 $C_0=1,000,000\text{ppm}$ 、 $P_c=15\text{mmHg}$ 、 $U_0=2\text{cm/s}$ 、 $P_i=9\text{mmHg}$

時，藥物粒子吸附於腫瘤細胞區域內的 2D 分布圖。



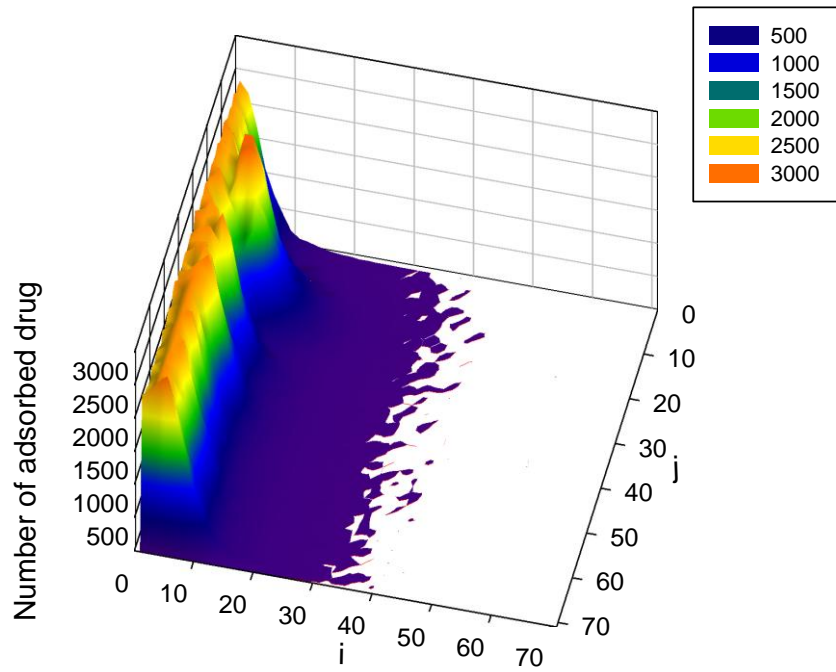
附圖 7-11-2 在 $C_0=1,000,000\text{ppm}$ 、 $P_c=15\text{mmHg}$ 、 $U_0=2\text{cm/s}$ 、 $P_i=9\text{mmHg}$

時，藥物粒子吸附於腫瘤細胞區域內的 3D 分布圖。



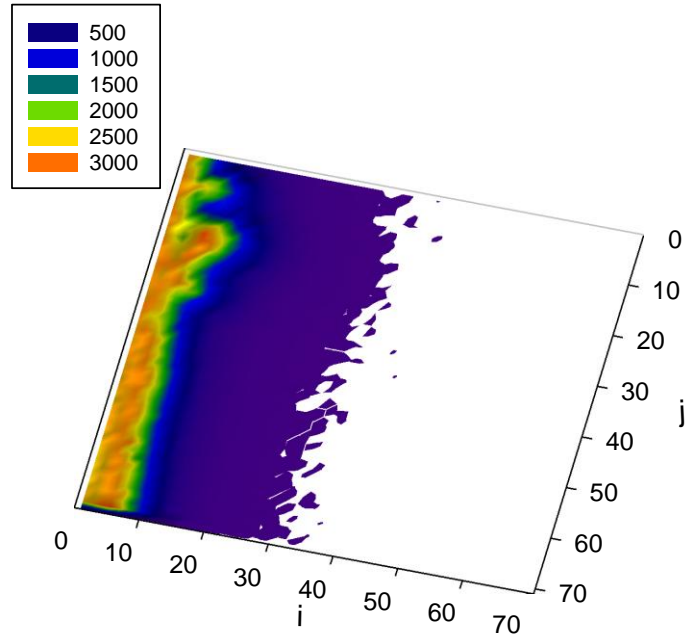
附圖 7-12-1 在 $C_0=1,000,000\text{ppm}$ 、 $P_c=15\text{mmHg}$ 、 $U_0=6\text{cm/s}$ 、 $P_i=0\text{mmHg}$

時，藥物粒子吸附於腫瘤細胞區域內的 2D 分布圖。



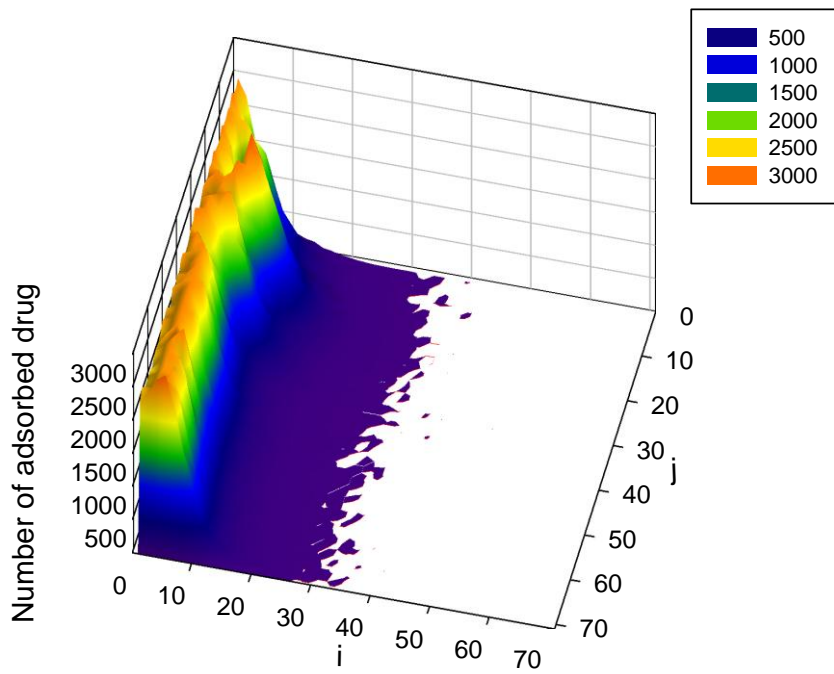
附圖 7-12-2 在 $C_0=1,000,000\text{ppm}$ 、 $P_c=15\text{mmHg}$ 、 $U_0=6\text{cm/s}$ 、 $P_i=0\text{mmHg}$

時，藥物粒子吸附於腫瘤細胞區域內的 3D 分布圖。



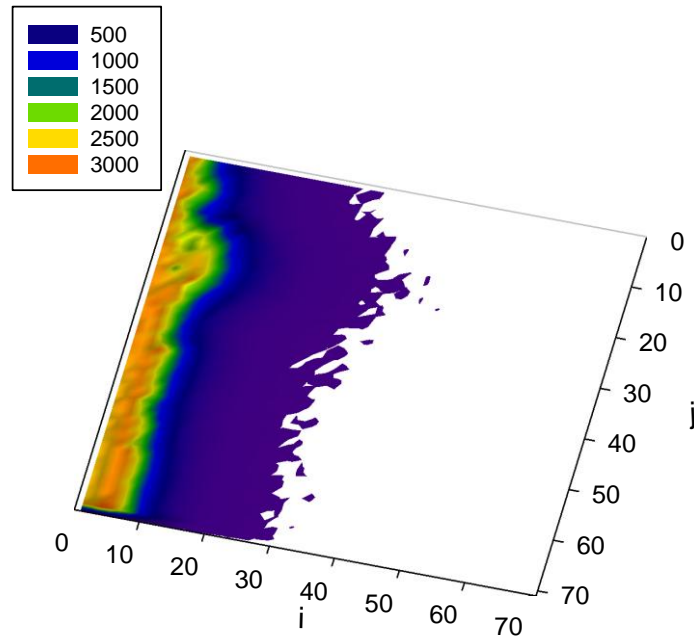
附圖 7-13-1 在 $C_0=1,000,000\text{ppm}$ 、 $P_c=15\text{mmHg}$ 、 $U_0=6\text{cm/s}$ 、 $P_i=3\text{mmHg}$

時，藥物粒子吸附於腫瘤細胞區域內的 2D 分布圖。



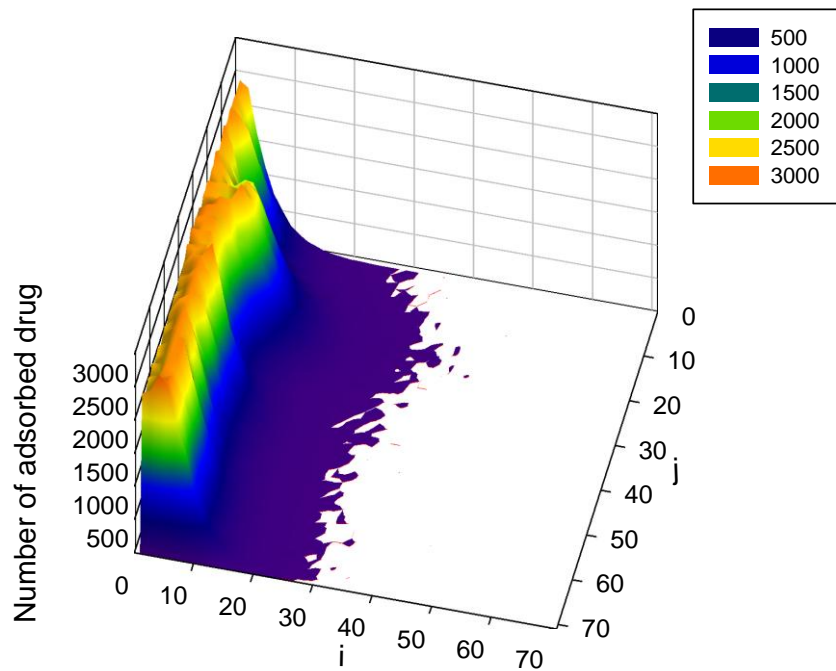
附圖 7-13-2 在 $C_0=1,000,000\text{ppm}$ 、 $P_c=15\text{mmHg}$ 、 $U_0=6\text{cm/s}$ 、 $P_i=3\text{mmHg}$

時，藥物粒子吸附於腫瘤細胞區域內的 3D 分布圖。



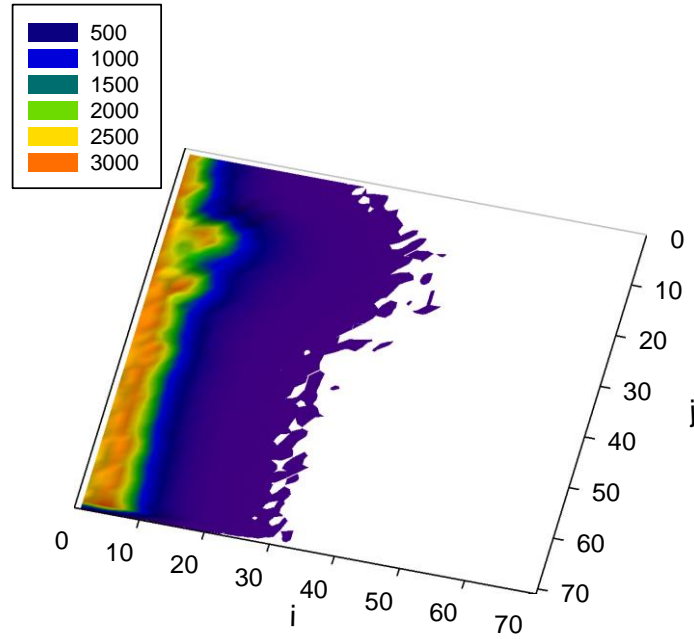
附圖 7-14-1 在 $C_0=1,000,000\text{ppm}$ 、 $P_c=15\text{mmHg}$ 、 $U_0=6\text{cm/s}$ 、 $P_i=6\text{mmHg}$

時，藥物粒子吸附於腫瘤細胞區域內的 2D 分布圖。



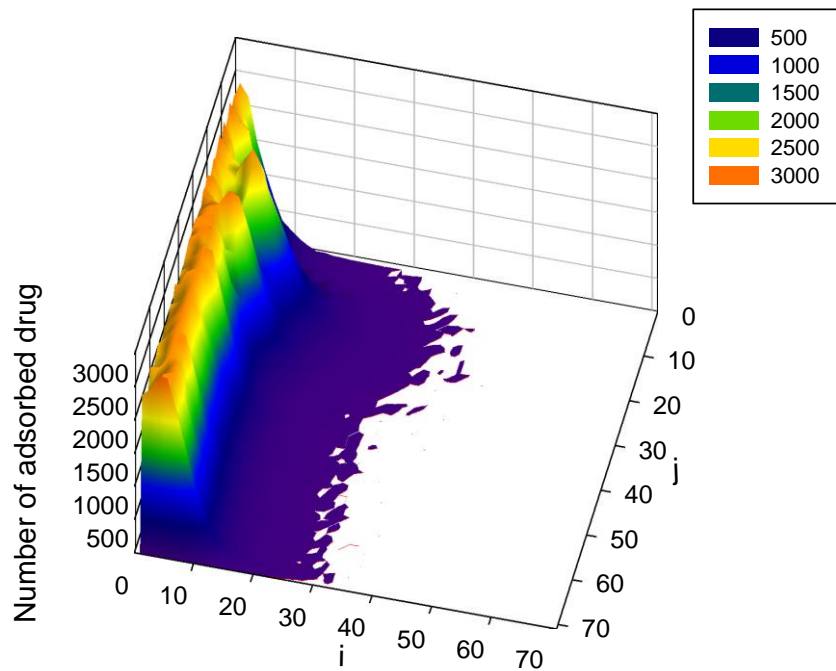
附圖 7-14-2 在 $C_0=1,000,000\text{ppm}$ 、 $P_c=15\text{mmHg}$ 、 $U_0=6\text{cm/s}$ 、 $P_i=6\text{mmHg}$

時，藥物粒子吸附於腫瘤細胞區域內的 3D 分布圖。



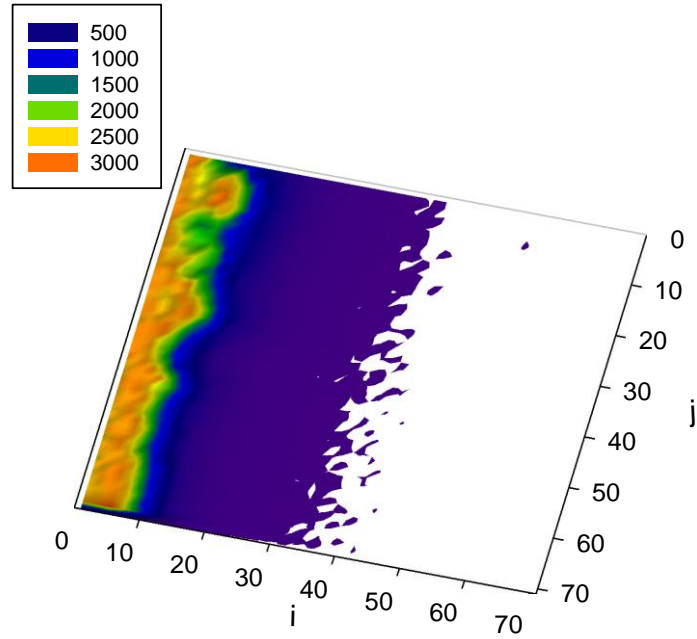
附圖 7-15-1 在 $C_0=1,000,000\text{ppm}$ 、 $P_c=15\text{mmHg}$ 、 $U_0=6\text{cm/s}$ 、 $P_i=9\text{mmHg}$

時，藥物粒子吸附於腫瘤細胞區域內的 2D 分布圖。

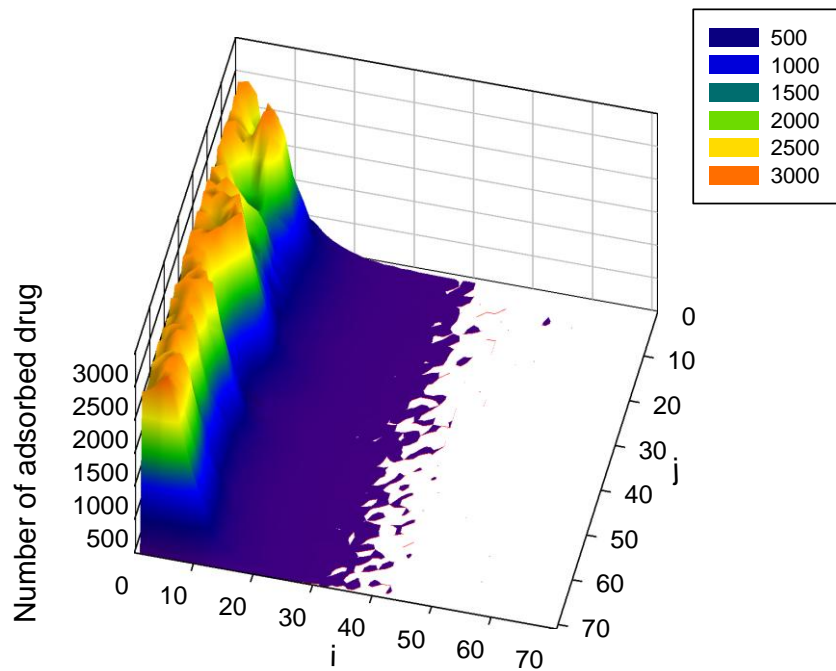


附圖 7-15-2 在 $C_0=1,000,000\text{ppm}$ 、 $P_c=15\text{mmHg}$ 、 $U_0=6\text{cm/s}$ 、 $P_i=9\text{mmHg}$

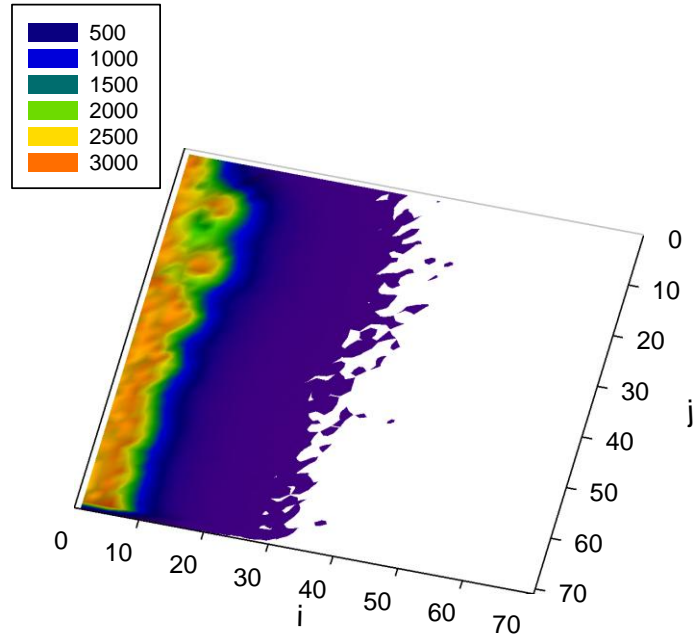
時，藥物粒子吸附於腫瘤細胞區域內的 3D 分布圖。



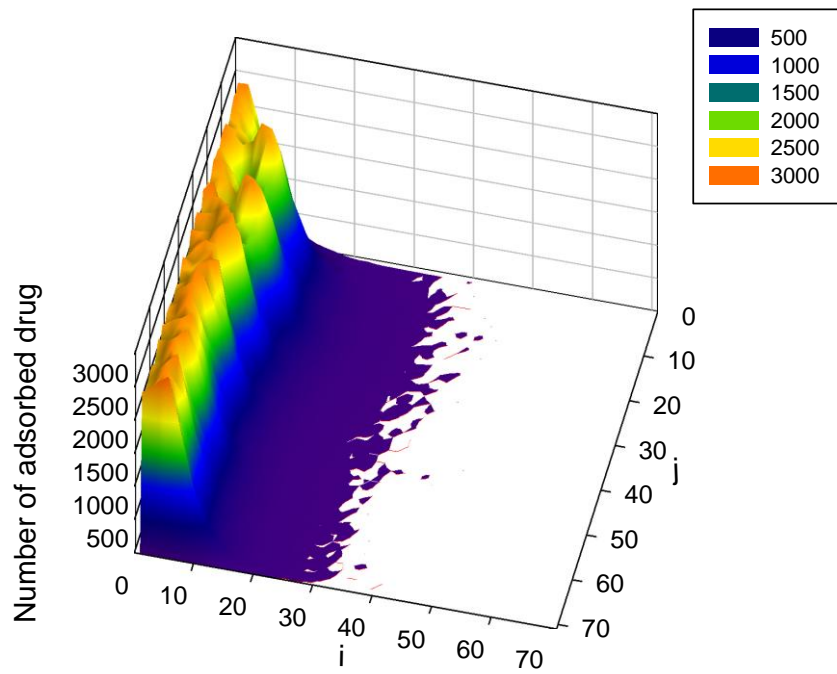
附圖 7-16-1 在 $C_0=1,000,000\text{ppm}$ 、 $P_c=15\text{mmHg}$ 、 $U_0=10\text{cm/s}$ 、 $P_i=0\text{mmHg}$ 時，藥物粒子吸附於腫瘤細胞區域內的 2D 分布圖。



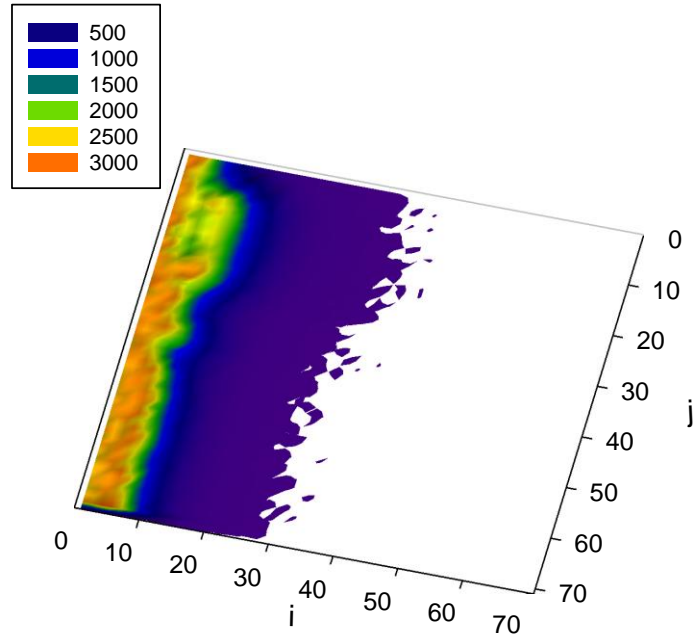
附圖 7-16-2 在 $C_0=1,000,000\text{ppm}$ 、 $P_c=15\text{mmHg}$ 、 $U_0=10\text{cm/s}$ 、 $P_i=0\text{mmHg}$ 時，藥物粒子吸附於腫瘤細胞區域內的 3D 分布圖。



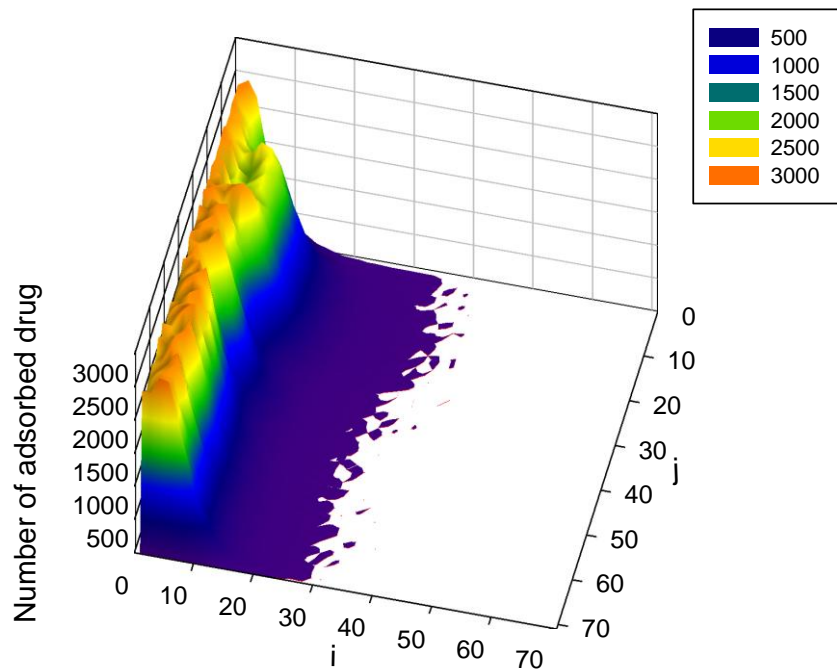
附圖 7-17-1 在 $C_0=1,000,000\text{ppm}$ 、 $P_c=15\text{mmHg}$ 、 $U_0=10\text{cm/s}$ 、 $P_i=3\text{mmHg}$ 時，藥物粒子吸附於腫瘤細胞區域內的 2D 分布圖。



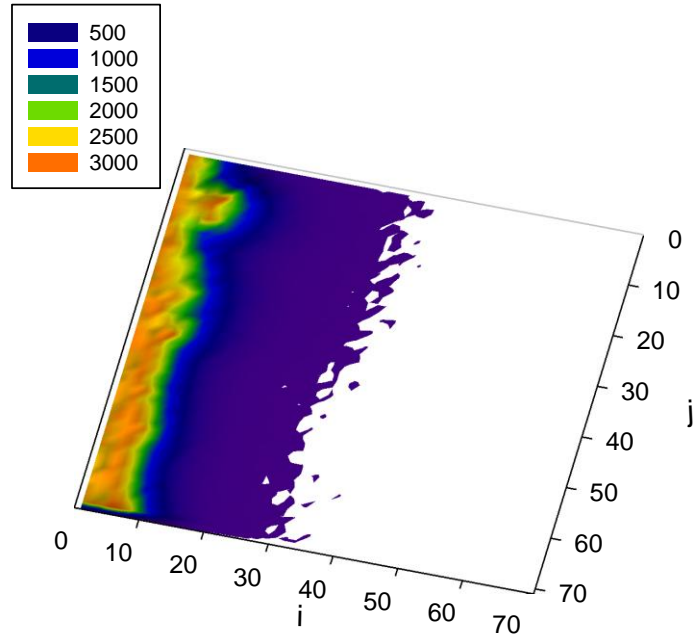
附圖 7-17-2 在 $C_0=1,000,000\text{ppm}$ 、 $P_c=15\text{mmHg}$ 、 $U_0=10\text{cm/s}$ 、 $P_i=3\text{mmHg}$ 時，藥物粒子吸附於腫瘤細胞區域內的 3D 分布圖。



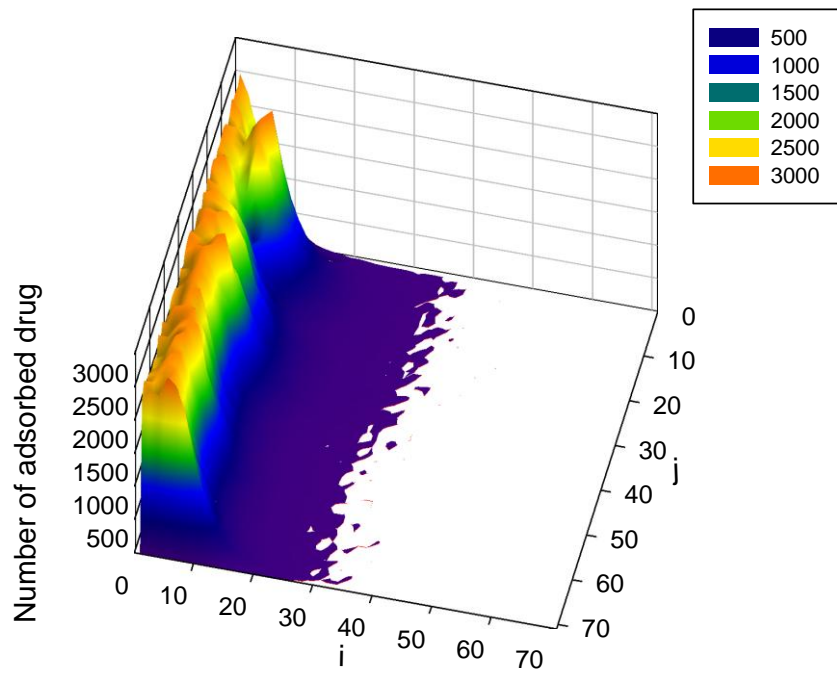
附圖 7-18-1 在 $C_0=1,000,000\text{ppm}$ 、 $P_c=15\text{mmHg}$ 、 $U_0=10\text{cm/s}$ 、 $P_i=6\text{mmHg}$ 時，藥物粒子吸附於腫瘤細胞區域內的 2D 分布圖。



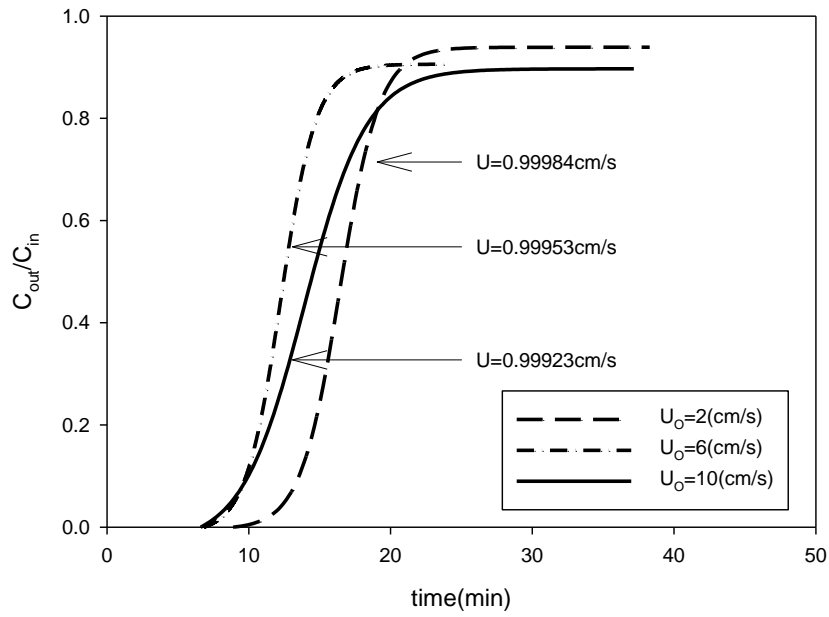
附圖 7-18-2 在 $C_0=1,000,000\text{ppm}$ 、 $P_c=15\text{mmHg}$ 、 $U_0=10\text{cm/s}$ 、 $P_i=6\text{mmHg}$ 時，藥物粒子吸附於腫瘤細胞區域內的 3D 分布圖。



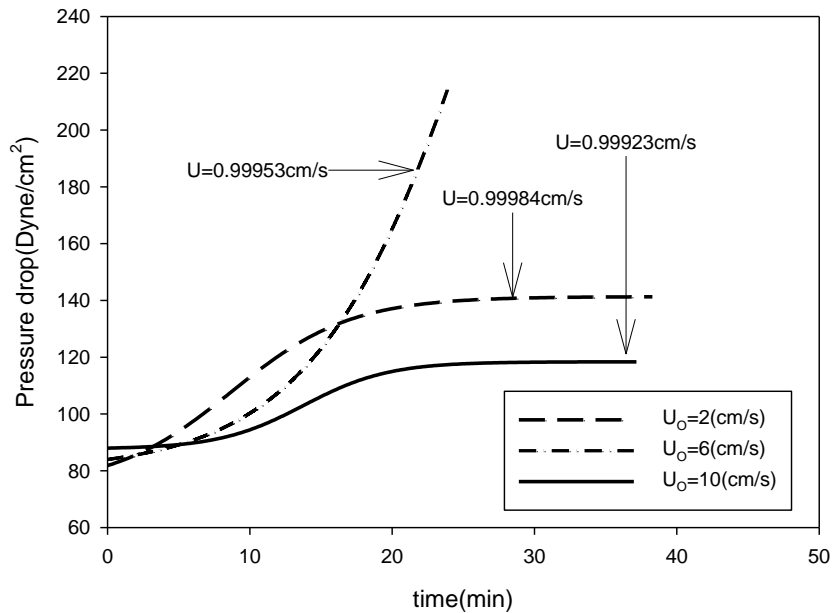
附圖 7-19-1 在 $C_0=1,000,000\text{ppm}$ 、 $P_c=15\text{mmHg}$ 、 $U_0=10\text{cm/s}$ 、 $P_i=9\text{mmHg}$ 時，藥物粒子吸附於腫瘤細胞區域內的 2D 分布圖。



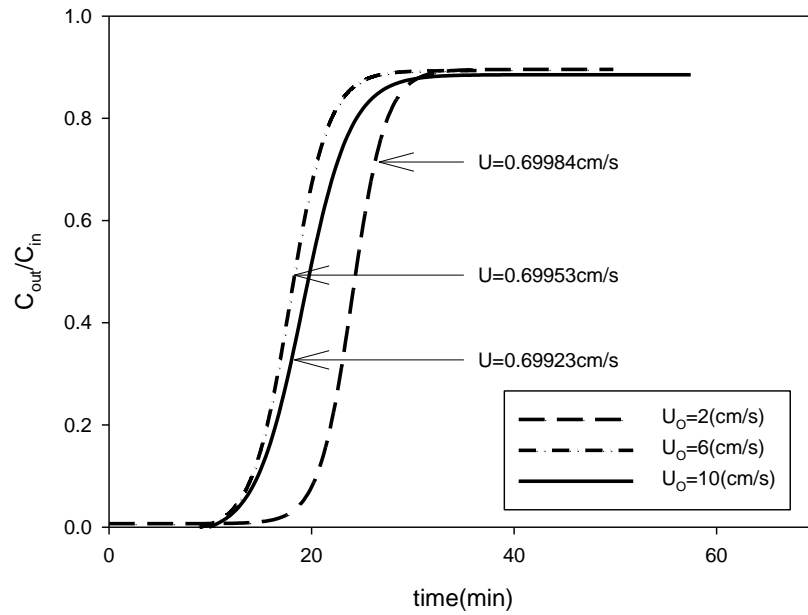
附圖 7-19-2 在 $C_0=1,000,000\text{ppm}$ 、 $P_c=15\text{mmHg}$ 、 $U_0=10\text{cm/s}$ 、 $P_i=9\text{mmHg}$ 時，藥物粒子吸附於腫瘤細胞區域內的 3D 分布圖。



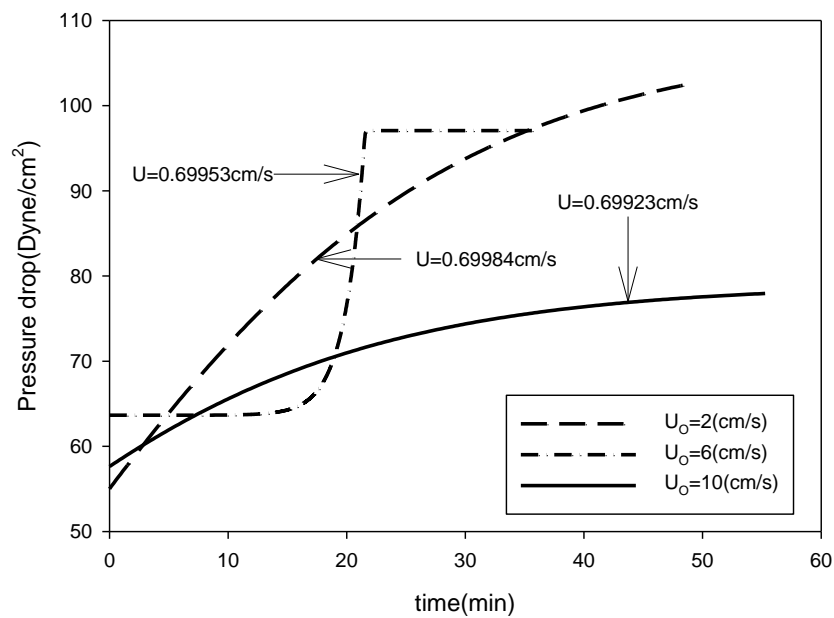
附圖 8-1-1 在 $C_0=2,000,000\text{ppm}$ 、 $P_c=15\text{mmHg}$ 、 $P_i=0\text{mmHg}$ 時，藥物
 粒子進出口濃度比隨時間變化的趨勢。



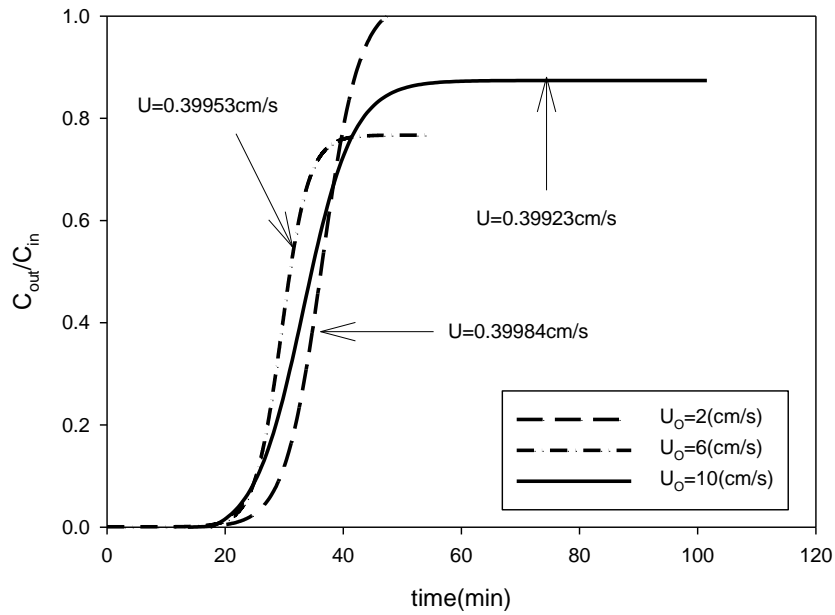
附圖 8-1-2 在 $C_0=2,000,000\text{ppm}$ 、 $P_c=15\text{mmHg}$ 、 $P_i=0\text{mmHg}$ 時，壓降
 隨時間變化的趨勢。



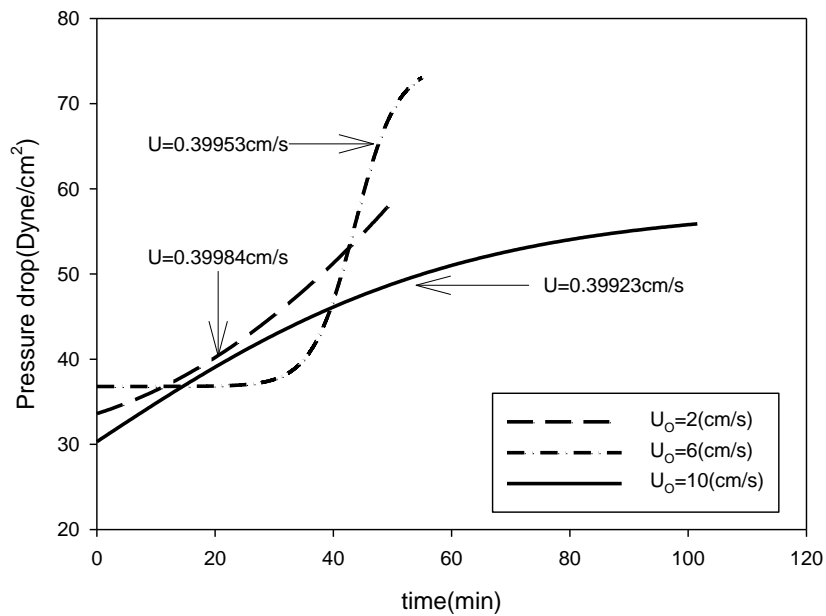
附圖 8-2-1 在 $C_0=2,000,000\text{ppm}$ 、 $P_c=15\text{mmHg}$ 、 $P_i=3\text{mmHg}$ 時，藥物
 粒子進出口濃度比隨時間變化的趨勢。



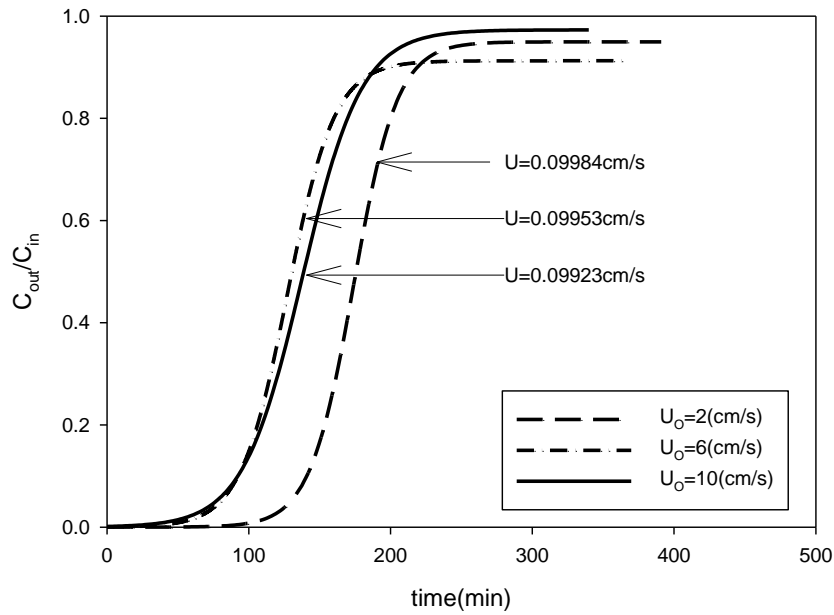
附圖 8-2-2 在 $C_0=2,000,000\text{ppm}$ 、 $P_c=15\text{mmHg}$ 、 $P_i=3\text{mmHg}$ 時，壓降
 隨時間變化的趨勢。



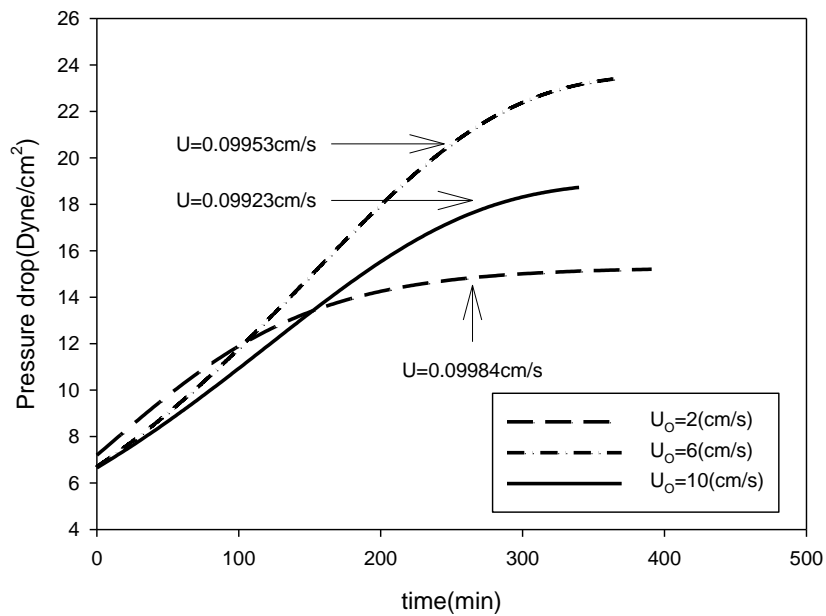
附圖 8-3-1 在 $C_0=2,000,000$ ppm、 $P_c=15$ mmHg、 $P_i=6$ mmHg 時，藥物
 粒子進出口濃度比隨時間變化的趨勢。



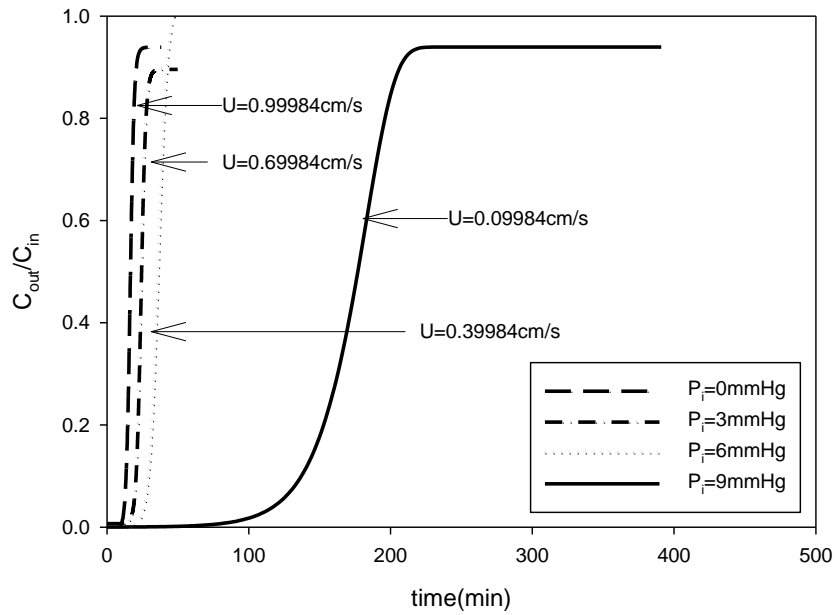
附圖 8-3-2 在 $C_0=2,000,000$ ppm、 $P_c=15$ mmHg、 $P_i=6$ mmHg 時，壓降
 隨時間變化的趨勢。



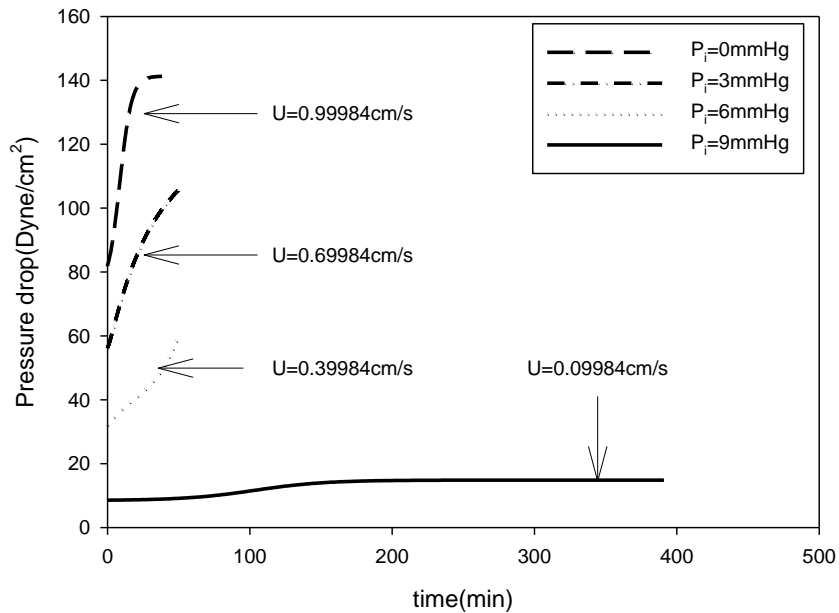
附圖 8-4-1 在 $C_0=2,000,000$ ppm、 $P_c=15$ mmHg、 $P_i=9$ mmHg 時，藥物
 粒子進出口濃度比隨時間變化的趨勢。



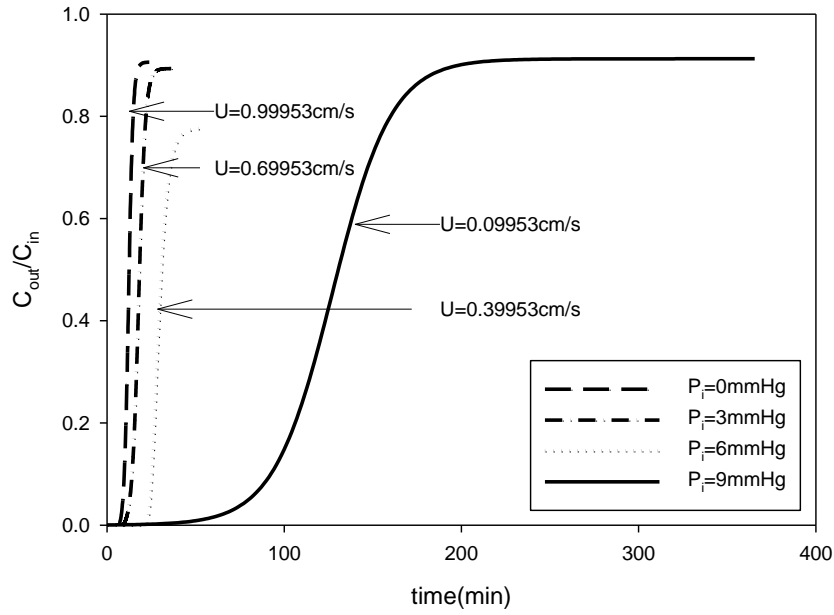
附圖 8-4-2 在 $C_0=2,000,000$ ppm、 $P_c=15$ mmHg、 $P_i=9$ mmHg 時，壓降
 隨時間變化的趨勢。



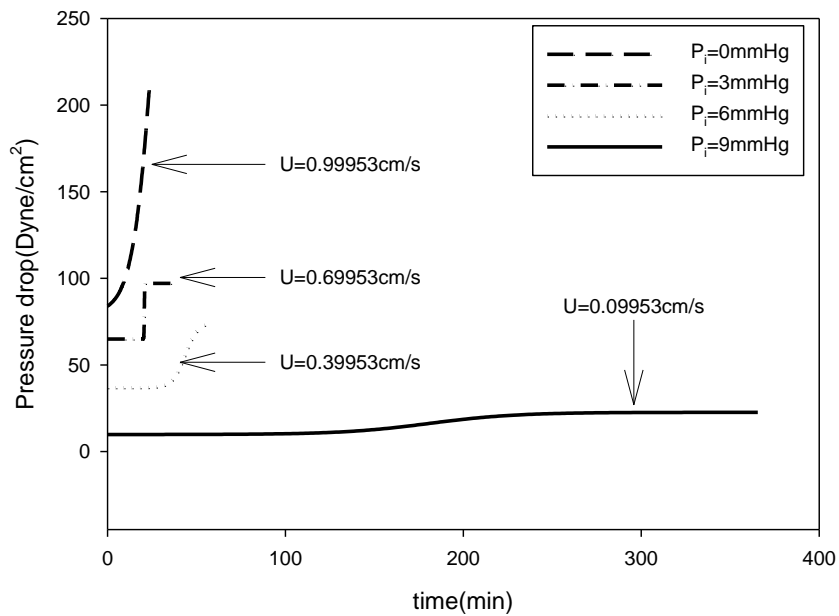
附圖 8-5-1 在 $C_0=2,000,000\text{ppm}$ 、 $P_c=15\text{mmHg}$ 、 $U_0=2\text{cm/s}$ 時，藥物
 粒子進出口濃度比隨時間變化的趨勢。



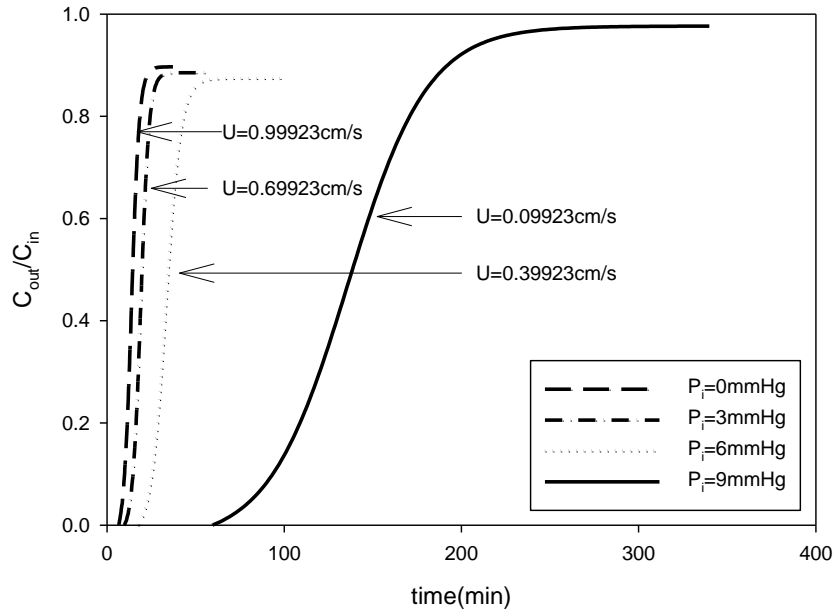
附圖 8-5-2 在 $C_0=2,000,000\text{ppm}$ 、 $P_c=15\text{mmHg}$ 、 $U_0=2\text{cm/s}$ 時，壓降
 隨時間變化的趨勢。



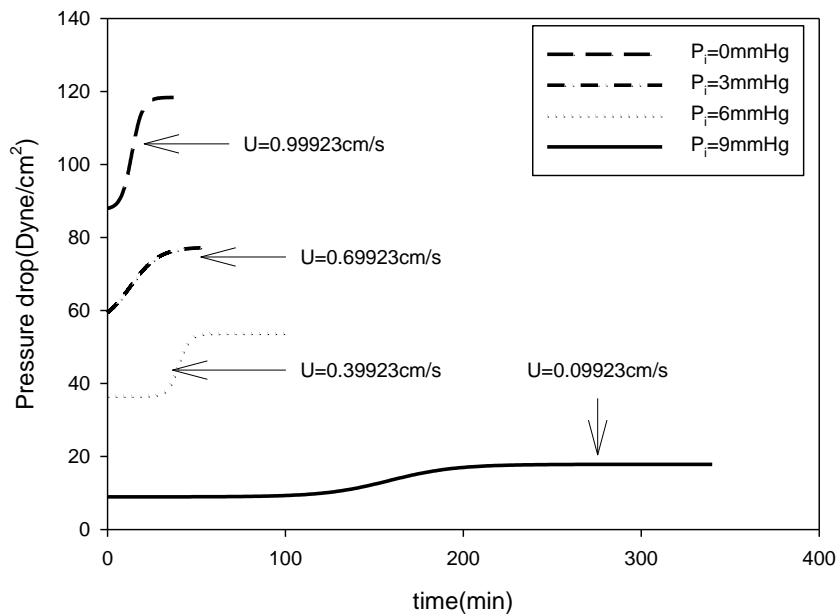
附圖 8-6-1 在 $C_0=2,000,000\text{ppm}$ 、 $P_c=15\text{mmHg}$ 、 $U_0=6\text{cm/s}$ 時，藥物粒子進出口濃度比隨時間變化的趨勢。



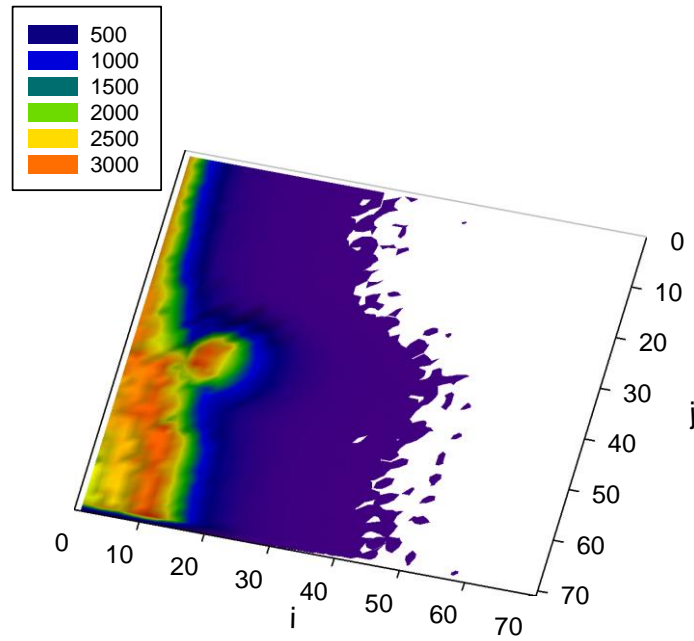
附圖 8-6-2 在 $C_0=2,000,000\text{ppm}$ 、 $P_c=15\text{mmHg}$ 、 $U_0=6\text{cm/s}$ 時，壓降隨時間變化的趨勢。



附圖 8-7-1 在 $C_0=2,000,000\text{ppm}$ 、 $P_c=15\text{mmHg}$ 、 $U_0=10\text{cm/s}$ 時，藥物粒子進出口濃度比隨時間變化的趨勢。

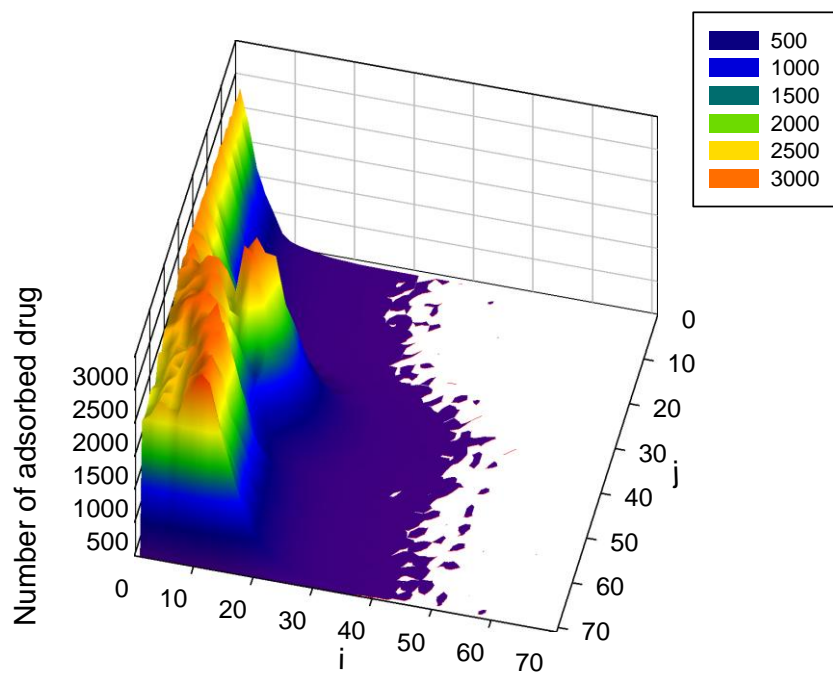


附圖 8-7-2 在 $C_0=2,000,000\text{ppm}$ 、 $P_c=15\text{mmHg}$ 、 $U_0=10\text{cm/s}$ 時，壓降隨時間變化的趨勢。



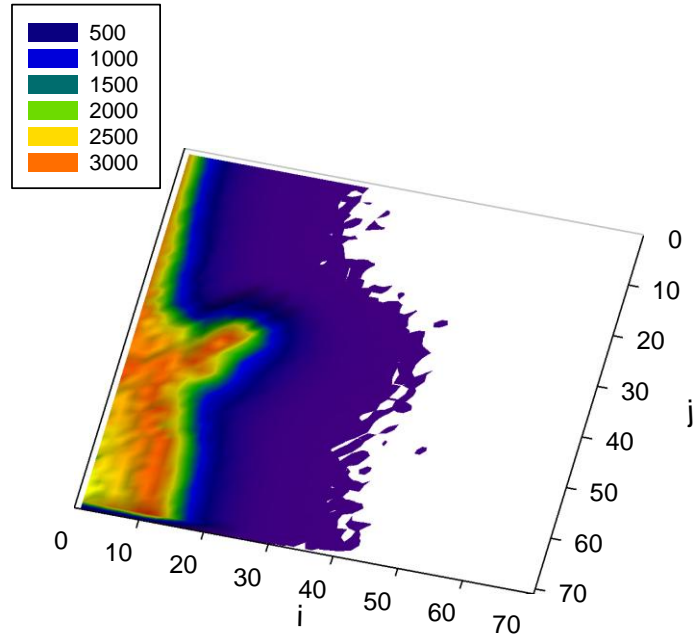
附圖 8-8-1 在 $C_0=2,000,000\text{ppm}$ 、 $P_c=15\text{mmHg}$ 、 $U_0=2\text{cm/s}$ 、 $P_i=0\text{mmHg}$

時，藥物粒子吸附於腫瘤細胞區域內的 2D 分布圖。



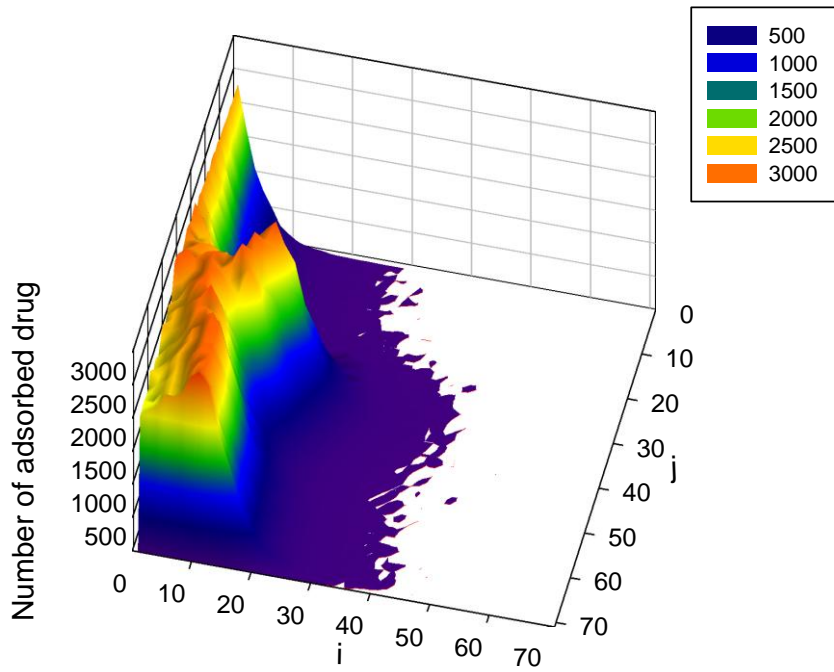
附圖 8-8-2 在 $C_0=2,000,000\text{ppm}$ 、 $P_c=15\text{mmHg}$ 、 $U_0=2\text{cm/s}$ 、 $P_i=0\text{mmHg}$

時，藥物粒子吸附於腫瘤細胞區域內的 3D 分布圖。



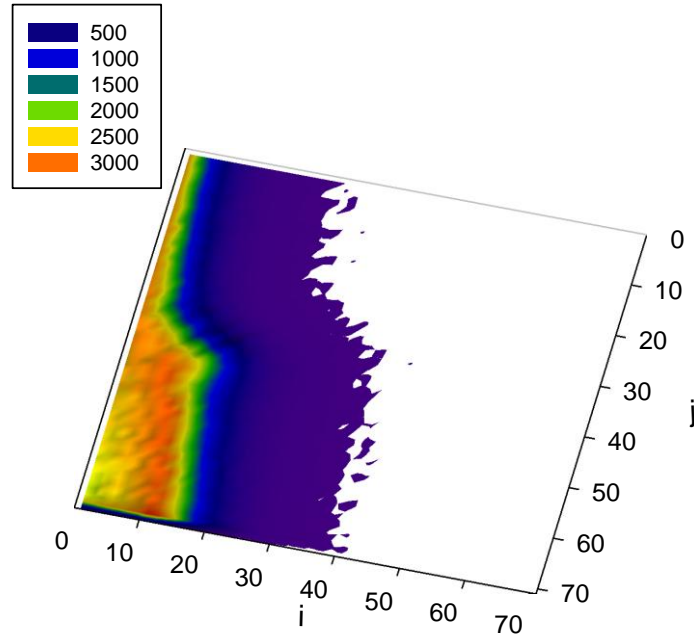
附圖 8-9-1 在 $C_0=2,000,000\text{ppm}$ 、 $P_c=15\text{mmHg}$ 、 $U_0=2\text{cm/s}$ 、 $P_i=3\text{mmHg}$

時，藥物粒子吸附於腫瘤細胞區域內的 2D 分布圖。



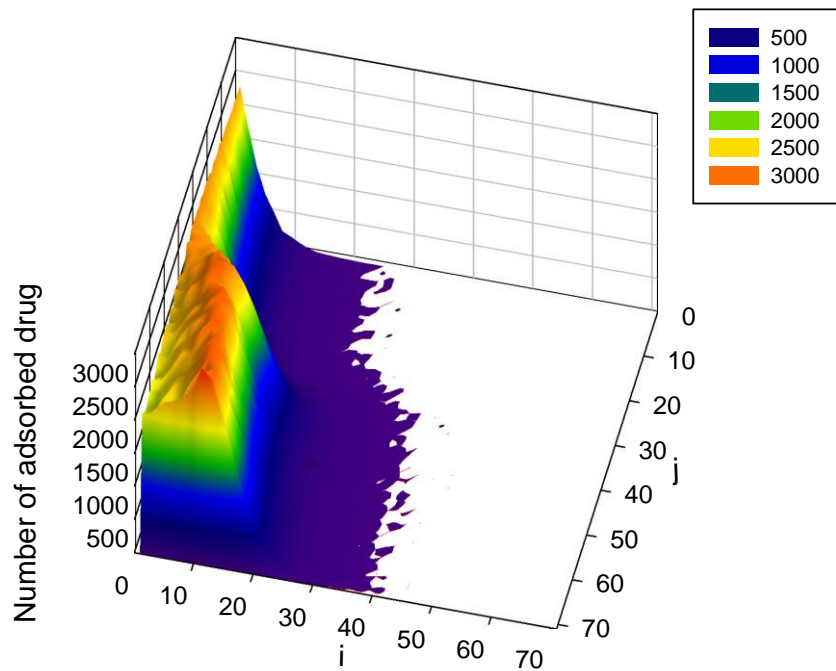
附圖 8-9-2 在 $C_0=2,000,000\text{ppm}$ 、 $P_c=15\text{mmHg}$ 、 $U_0=2\text{cm/s}$ 、 $P_i=3\text{mmHg}$

時，藥物粒子吸附於腫瘤細胞區域內的 3D 分布圖。



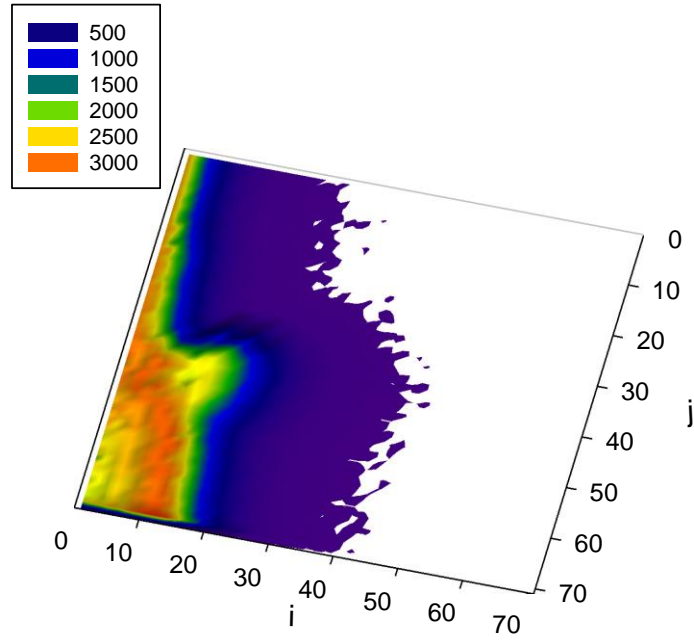
附圖 8-10-1 在 $C_0=2,000,000\text{ppm}$ 、 $P_c=15\text{mmHg}$ 、 $U_0=2\text{cm/s}$ 、 $P_i=6\text{mmHg}$

時，藥物粒子吸附於腫瘤細胞區域內的 2D 分布圖。



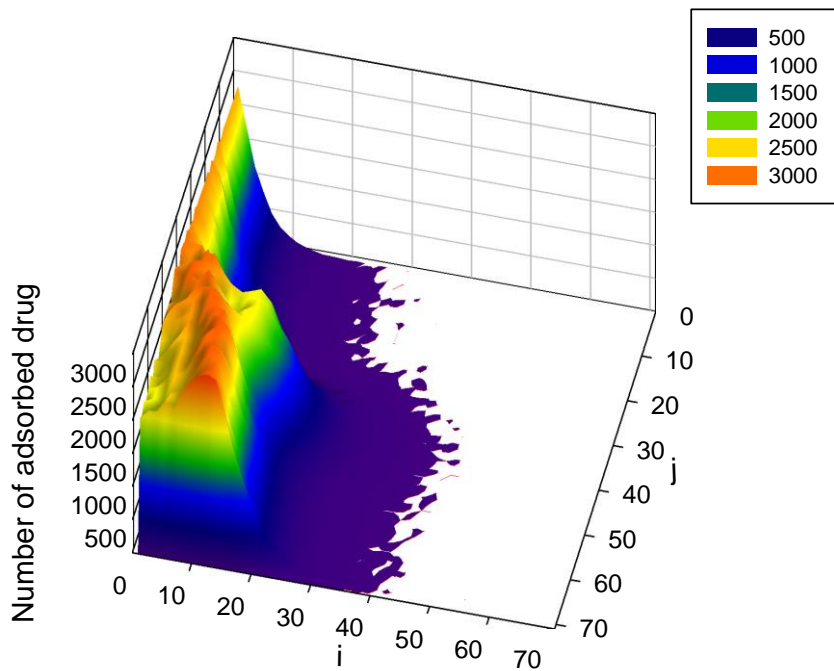
附圖 8-10-2 在 $C_0=2,000,000\text{ppm}$ 、 $P_c=15\text{mmHg}$ 、 $U_0=2\text{cm/s}$ 、 $P_i=6\text{mmHg}$

時，藥物粒子吸附於腫瘤細胞區域內的 3D 分布圖。



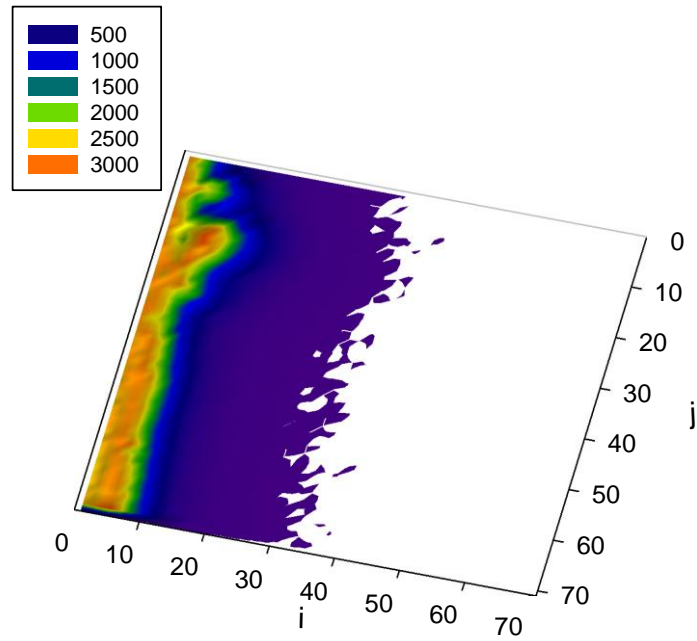
附圖 8-11-1 在 $C_0=2,000,000\text{ppm}$ 、 $P_c=15\text{mmHg}$ 、 $U_0=2\text{cm/s}$ 、 $P_i=9\text{mmHg}$

時，藥物粒子吸附於腫瘤細胞區域內的 2D 分布圖。



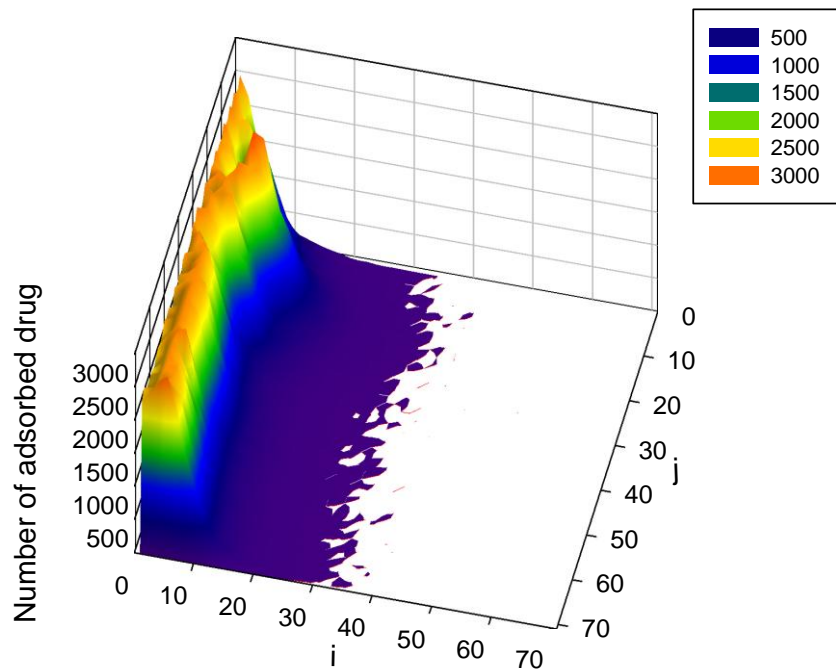
附圖 8-11-2 在 $C_0=2,000,000\text{ppm}$ 、 $P_c=15\text{mmHg}$ 、 $U_0=2\text{cm/s}$ 、 $P_i=9\text{mmHg}$

時，藥物粒子吸附於腫瘤細胞區域內的 3D 分布圖。



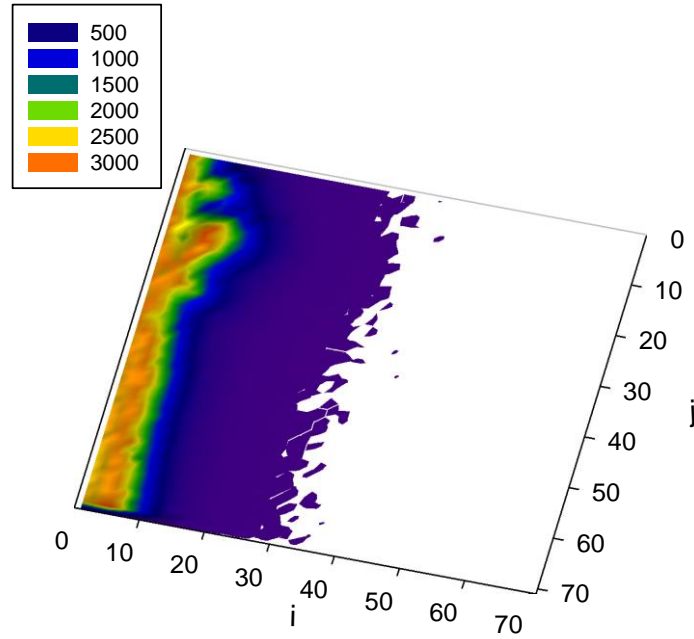
附圖 8-12-1 在 $C_0=2,000,000\text{ppm}$ 、 $P_c=15\text{mmHg}$ 、 $U_0=6\text{cm/s}$ 、 $P_i=0\text{mmHg}$

時，藥物粒子吸附於腫瘤細胞區域內的 2D 分布圖。



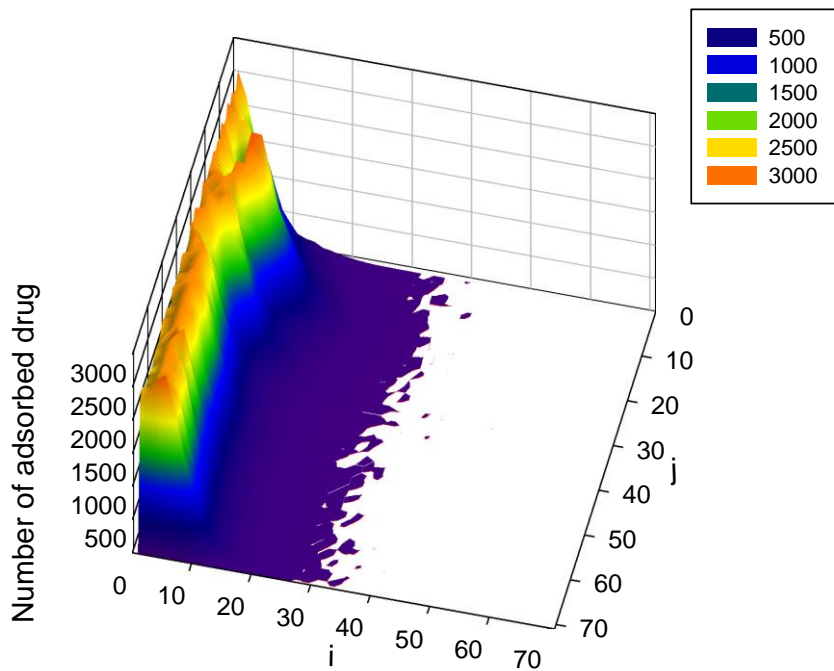
附圖 8-12-2 在 $C_0=2,000,000\text{ppm}$ 、 $P_c=15\text{mmHg}$ 、 $U_0=6\text{cm/s}$ 、 $P_i=0\text{mmHg}$

時，藥物粒子吸附於腫瘤細胞區域內的 3D 分布圖。



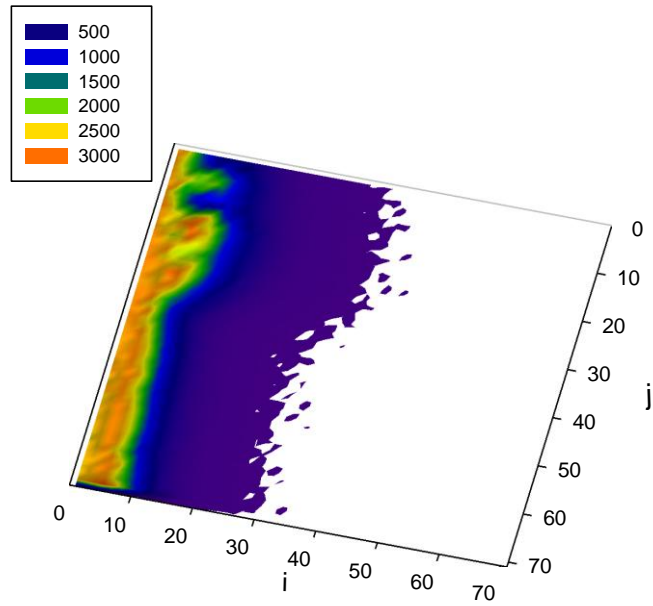
附圖 8-13-1 在 $C_0=2,000,000\text{ppm}$ 、 $P_c=15\text{mmHg}$ 、 $U_0=6\text{cm/s}$ 、 $P_i=3\text{mmHg}$

時，藥物粒子吸附於腫瘤細胞區域內的 2D 分布圖。

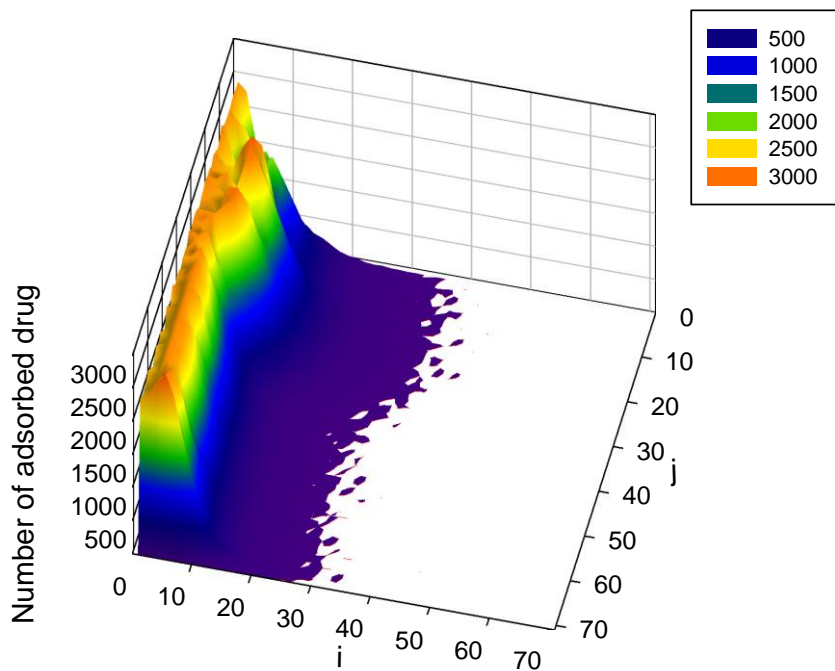


附圖 8-13-2 在 $C_0=2,000,000\text{ppm}$ 、 $P_c=15\text{mmHg}$ 、 $U_0=6\text{cm/s}$ 、 $P_i=3\text{mmHg}$

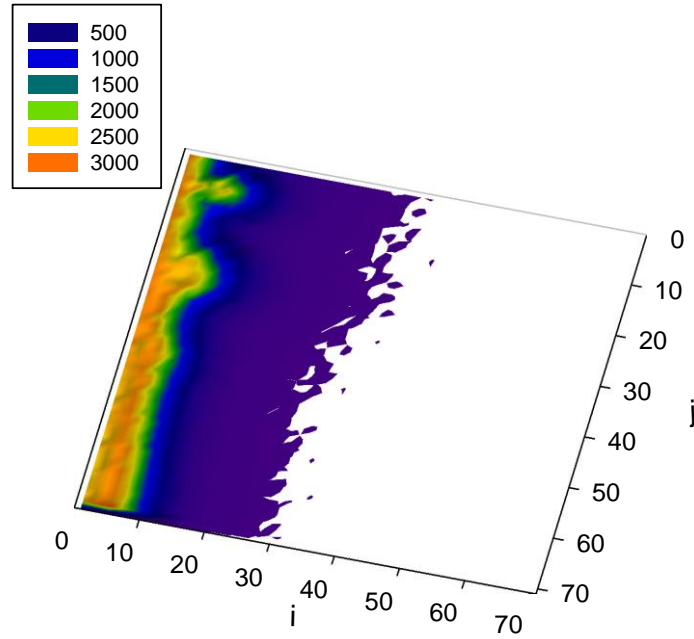
時，藥物粒子吸附於腫瘤細胞區域內的 3D 分布圖。



附圖 8-14-1 在 $C_0=2,000,000\text{ppm}$ 、 $P_c=15\text{mmHg}$ 、 $U_0=6\text{cm/s}$ 、 $P_i=6\text{mmHg}$ 時，藥物粒子吸附於腫瘤細胞區域內的 2D 分布圖。

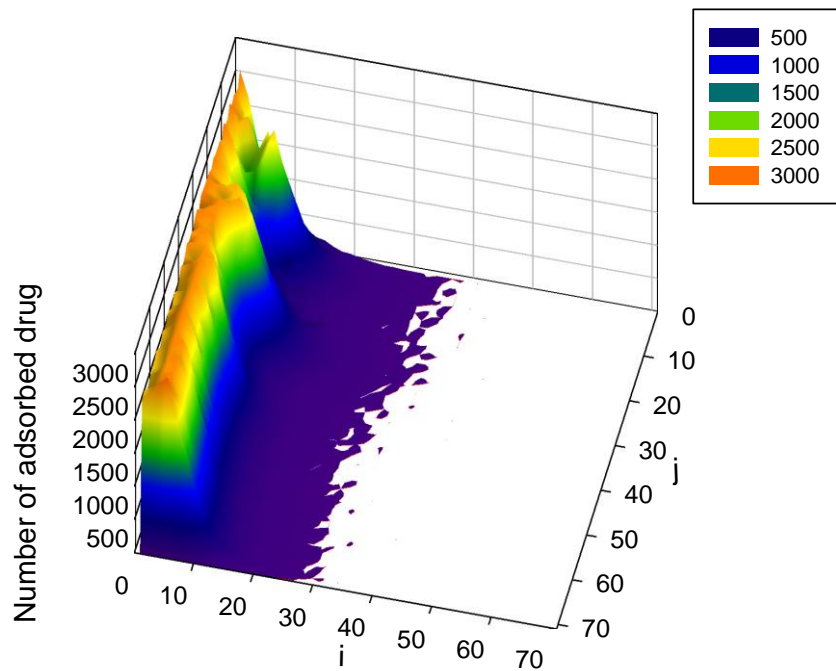


附圖 8-14-2 在 $C_0=2,000,000\text{ppm}$ 、 $P_c=15\text{mmHg}$ 、 $U_0=6\text{cm/s}$ 、 $P_i=6\text{mmHg}$ 時，藥物粒子吸附於腫瘤細胞區域內的 3D 分布圖。



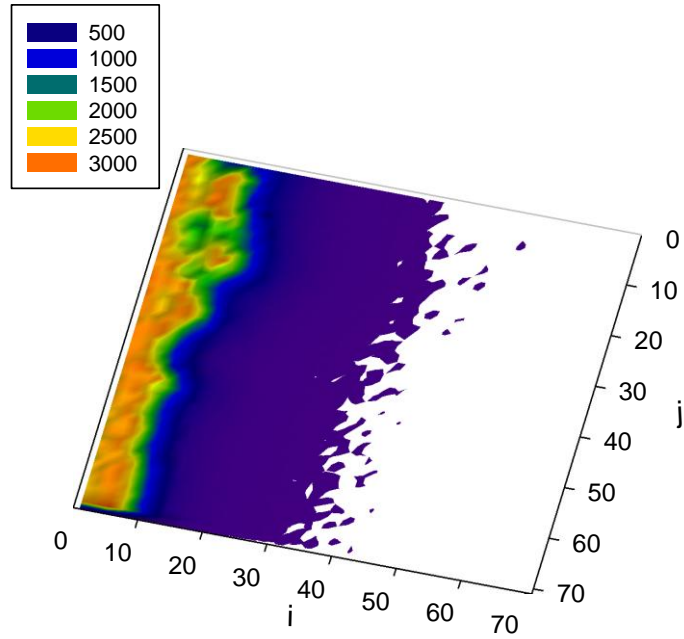
附圖 8-15-1 在 $C_0=2,000,000\text{ppm}$ 、 $P_c=15\text{mmHg}$ 、 $U_0=6\text{cm/s}$ 、 $P_i=9\text{mmHg}$

時，藥物粒子吸附於腫瘤細胞區域內的 2D 分布圖。

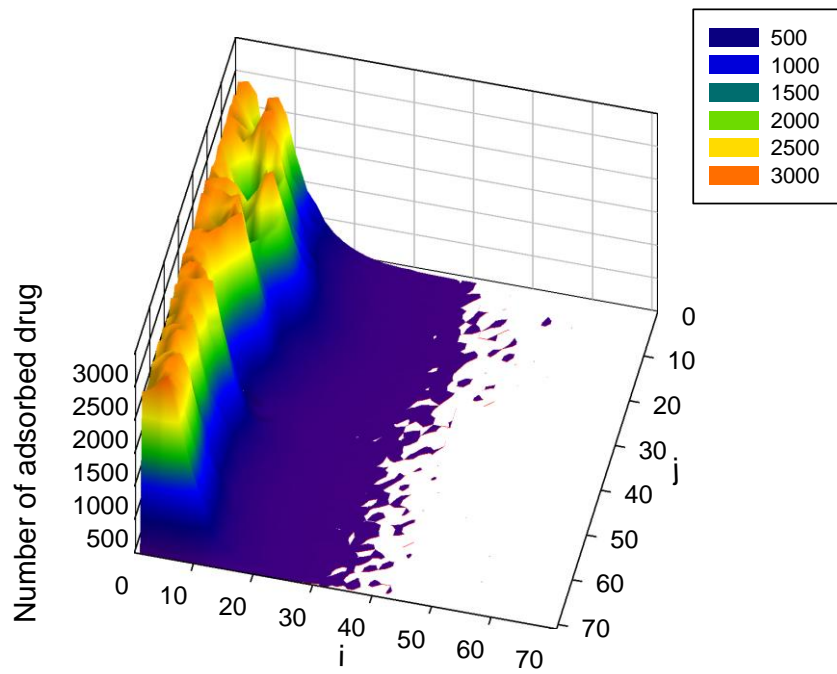


附圖 8-15-2 在 $C_0=2,000,000\text{ppm}$ 、 $P_c=15\text{mmHg}$ 、 $U_0=6\text{cm/s}$ 、 $P_i=9\text{mmHg}$

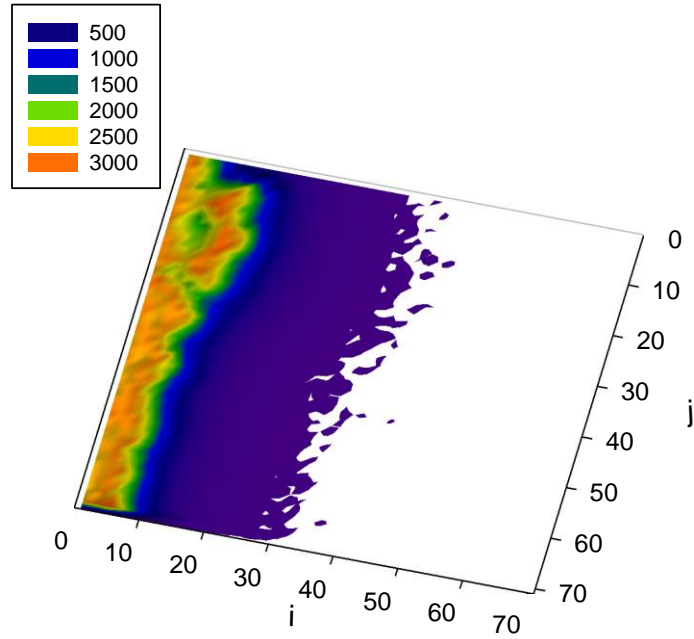
時，藥物粒子吸附於腫瘤細胞區域內的 3D 分布圖。



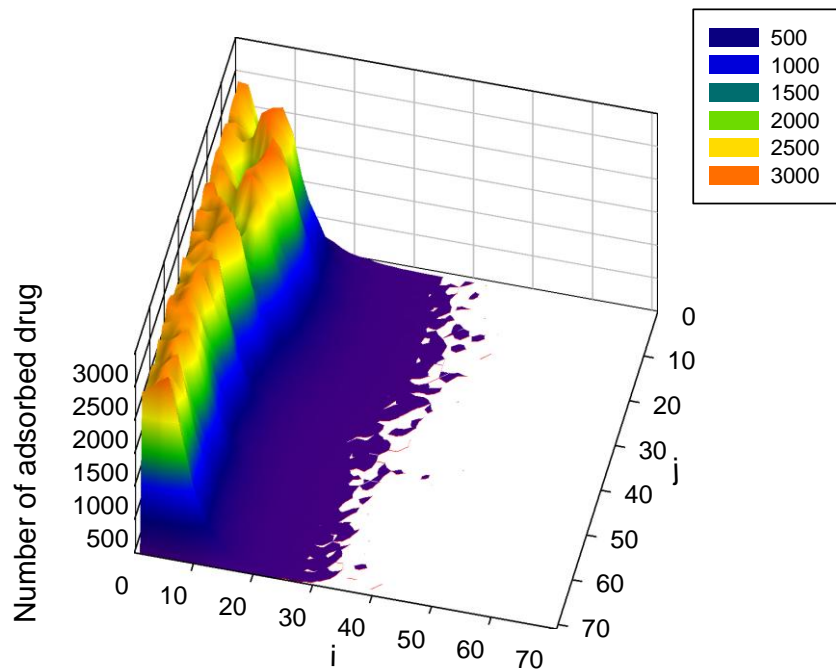
附圖 8-16-1 在 $C_0=2,000,000\text{ppm}$ 、 $P_c=15\text{mmHg}$ 、 $U_0=10\text{cm/s}$ 、 $P_i=0\text{mmHg}$ 時，藥物粒子吸附於腫瘤細胞區域內的 2D 分布圖。



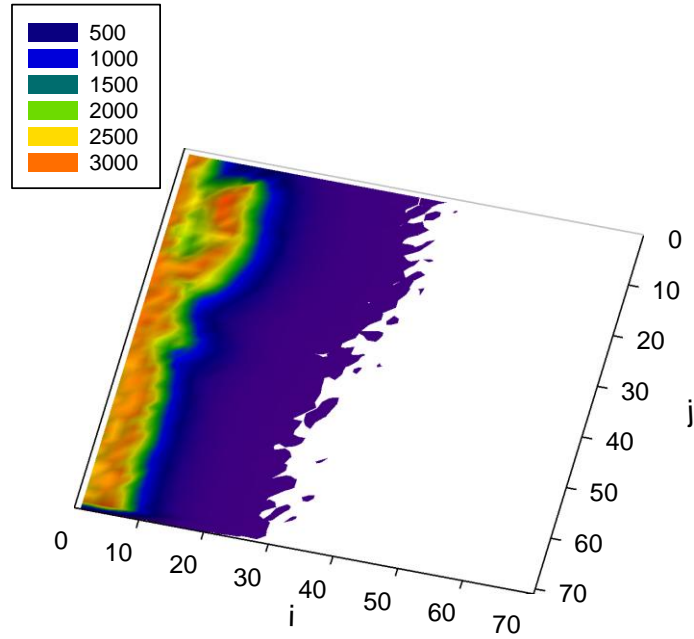
附圖 8-16-2 在 $C_0=2,000,000\text{ppm}$ 、 $P_c=15\text{mmHg}$ 、 $U_0=10\text{cm/s}$ 、 $P_i=0\text{mmHg}$ 時，藥物粒子吸附於腫瘤細胞區域內的 3D 分布圖。



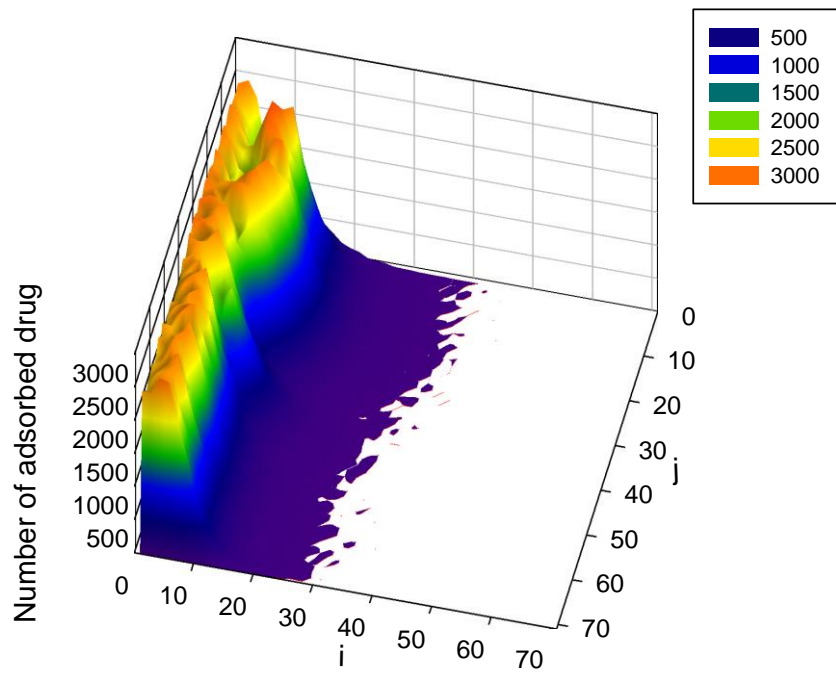
附圖 8-17-1 在 $C_0=2,000,000\text{ppm}$ 、 $P_c=15\text{mmHg}$ 、 $U_0=10\text{cm/s}$ 、 $P_i=3\text{mmHg}$ 時，藥物粒子吸附於腫瘤細胞區域內的 2D 分布圖。



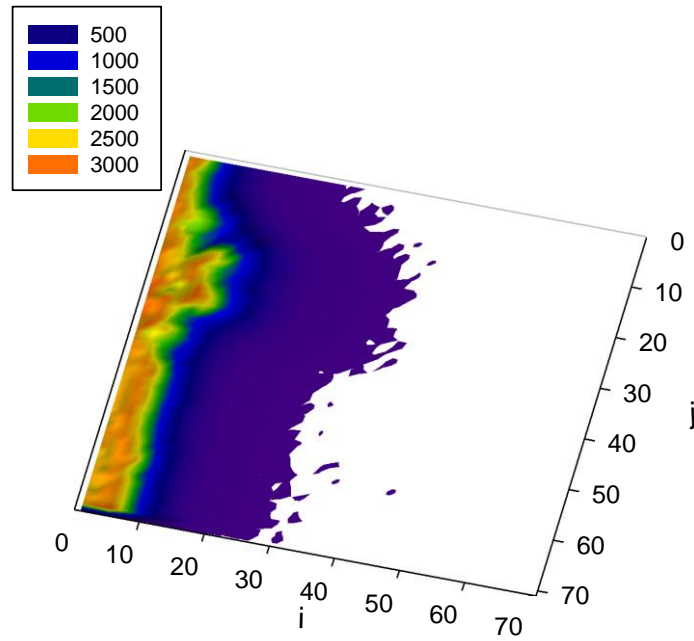
附圖 8-17-2 在 $C_0=2,000,000\text{ppm}$ 、 $P_c=15\text{mmHg}$ 、 $U_0=10\text{cm/s}$ 、 $P_i=3\text{mmHg}$ 時，藥物粒子吸附於腫瘤細胞區域內的 3D 分布圖。



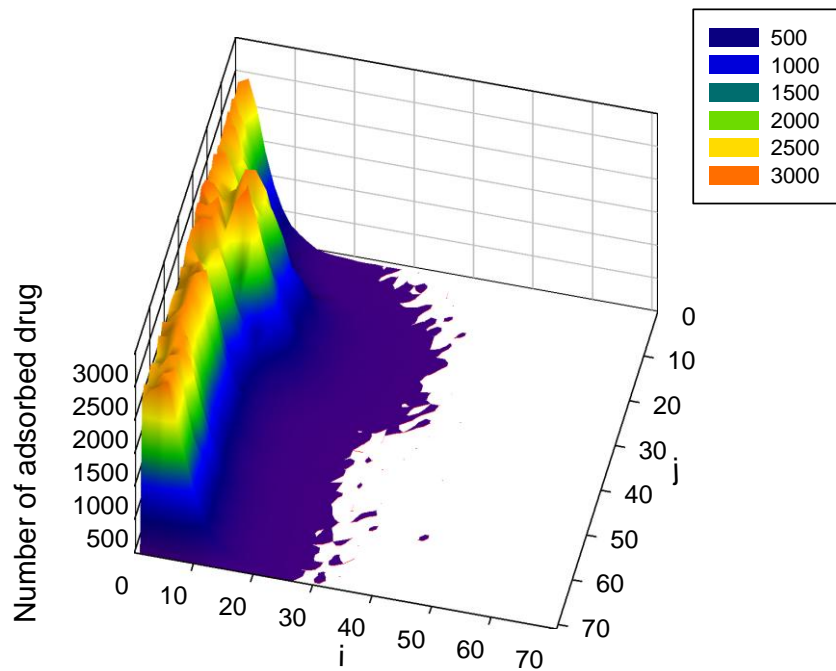
附圖 8-18-1 在 $C_0=2,000,000\text{ppm}$ 、 $P_c=15\text{mmHg}$ 、 $U_0=10\text{cm/s}$ 、 $P_i=6\text{mmHg}$ 時，藥物粒子吸附於腫瘤細胞區域內的 2D 分布圖。



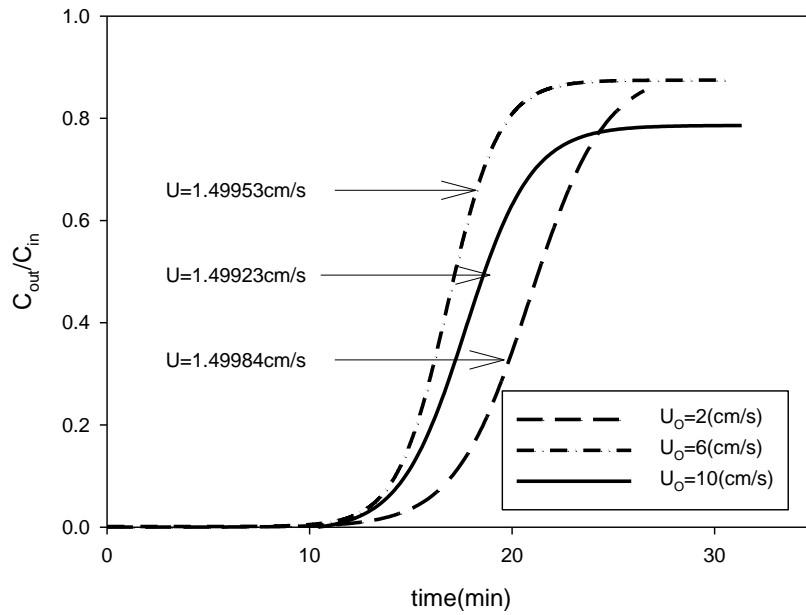
附圖 8-18-2 在 $C_0=2,000,000\text{ppm}$ 、 $P_c=15\text{mmHg}$ 、 $U_0=10\text{cm/s}$ 、 $P_i=6\text{mmHg}$ 時，藥物粒子吸附於腫瘤細胞區域內的 3D 分布圖。



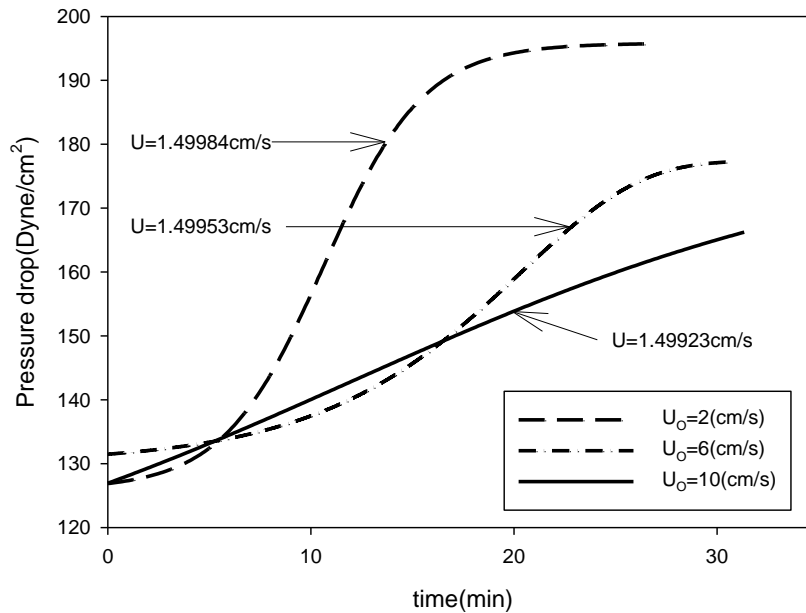
附圖 8-19-1 在 $C_0=2,000,000\text{ppm}$ 、 $P_c=15\text{mmHg}$ 、 $U_0=10\text{cm/s}$ 、 $P_i=9\text{mmHg}$ 時，藥物粒子吸附於腫瘤細胞區域內的 2D 分布圖。



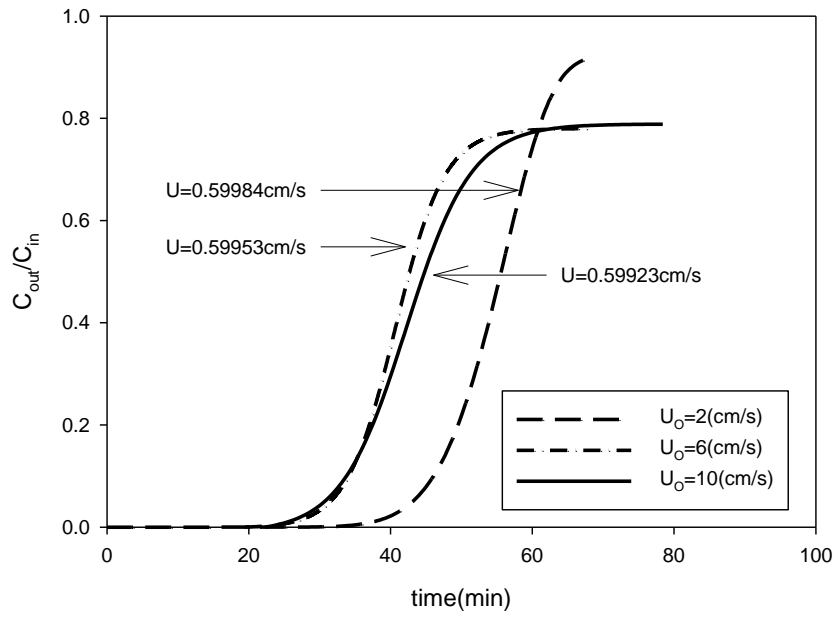
附圖 8-19-2 在 $C_0=2,000,000\text{ppm}$ 、 $P_c=15\text{mmHg}$ 、 $U_0=10\text{cm/s}$ 、 $P_i=9\text{mmHg}$ 時，藥物粒子吸附於腫瘤細胞區域內的 3D 分布圖。



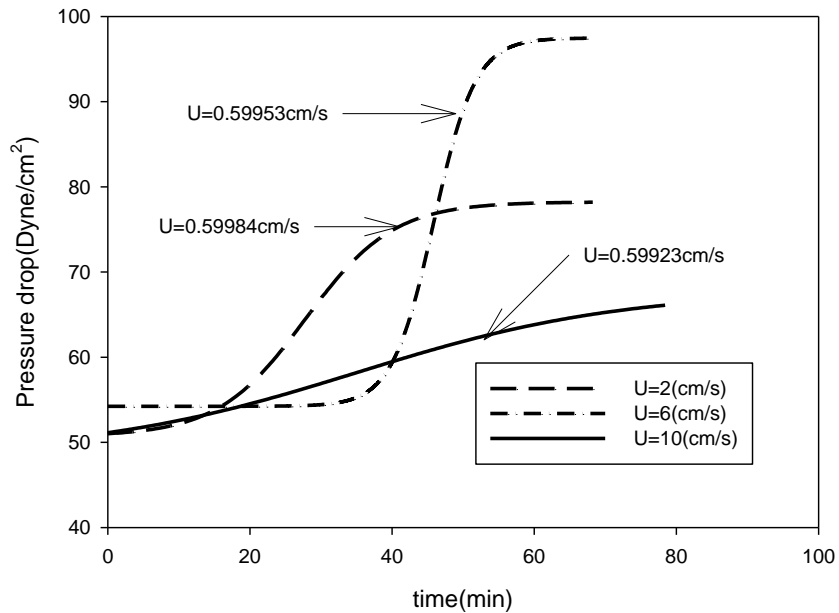
附圖 9-1-1 在 $C_0=1,000,000$ ppm、 $P_c=20$ mmHg、 $P_i=0$ mmHg 時，藥物
 粒子進出口濃度比隨時間變化的趨勢。



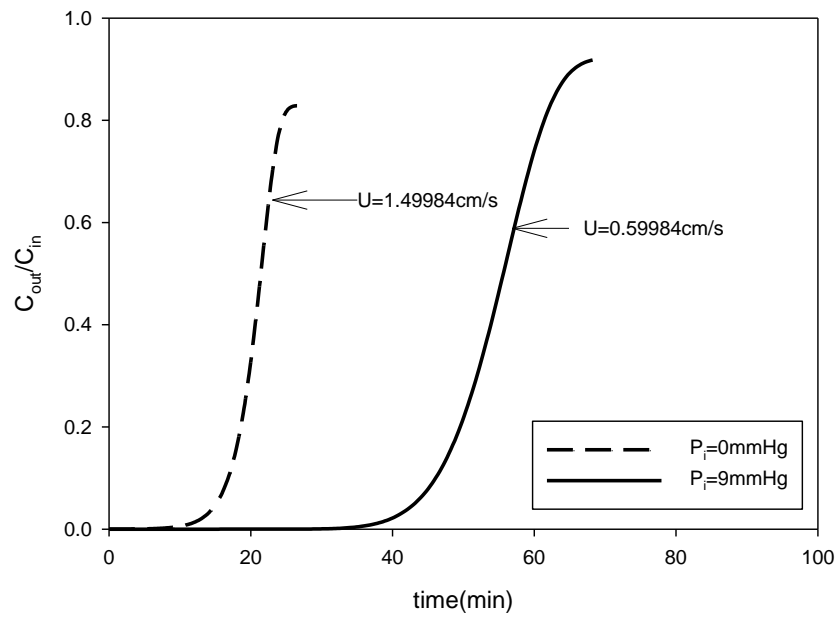
附圖 9-1-2 在 $C_0=1,000,000$ ppm、 $P_c=20$ mmHg、 $P_i=0$ mmHg 時，壓降
 隨時間變化的趨勢。



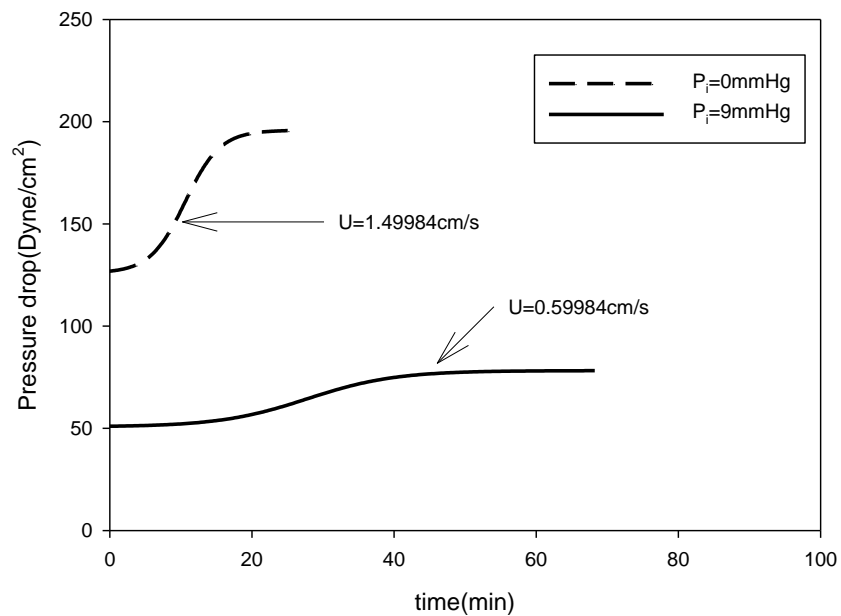
附圖 9-2-1 在 $C_0=1,000,000$ ppm、 $P_c=20$ mmHg、 $P_i=9$ mmHg 時，藥物
 粒子進出口濃度比隨時間變化的趨勢。



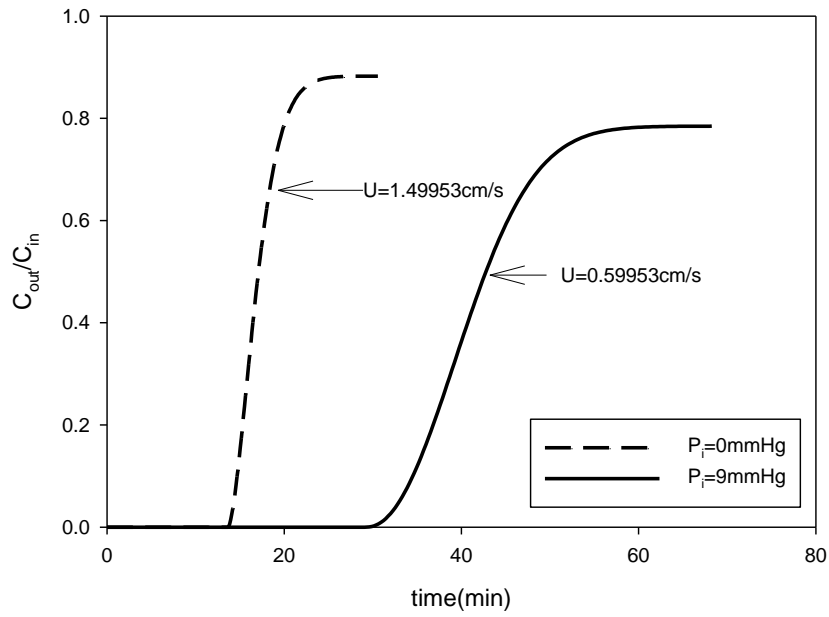
附圖 9-2-2 在 $C_0=1,000,000$ ppm、 $P_c=20$ mmHg、 $P_i=9$ mmHg 時，壓降
 隨時間變化的趨勢。



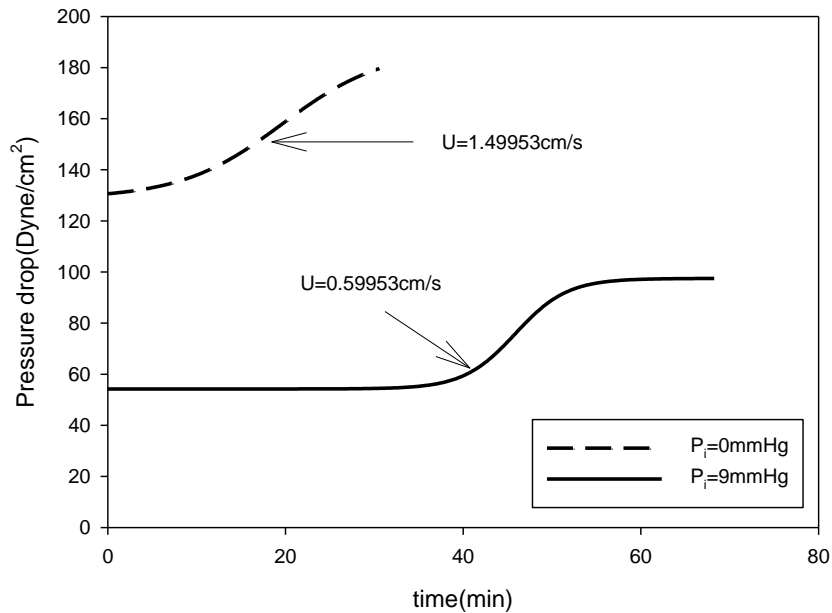
附圖 9-3-1 在 $C_0=1,000,000\text{ppm}$ 、 $P_c=20\text{mmHg}$ 、 $U_0=2\text{cm/s}$ 時，藥物
 粒子進出口濃度比隨時間變化的趨勢。



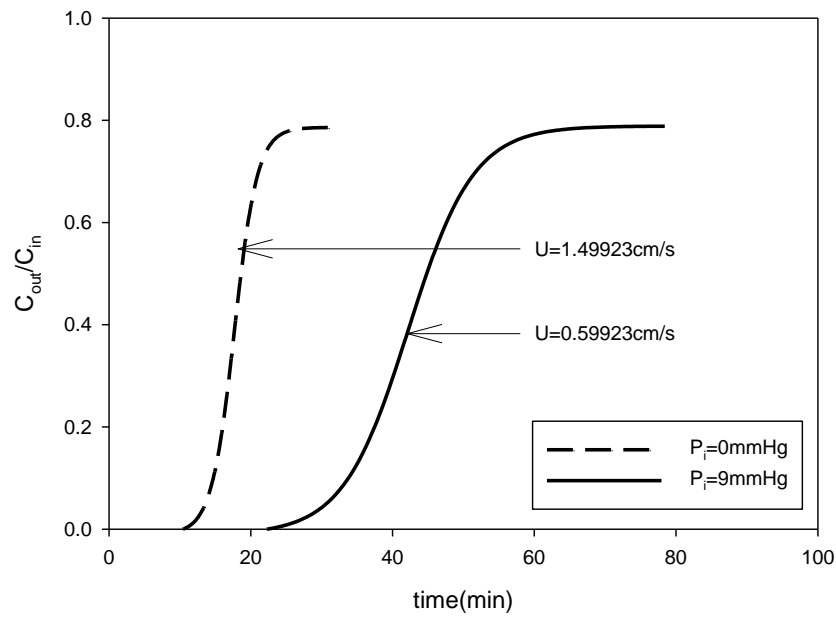
附圖 9-3-2 在 $C_0=1,000,000\text{ppm}$ 、 $P_c=20\text{mmHg}$ 、 $U_0=2\text{cm/s}$ 時，壓降
 隨時間變化的趨勢。



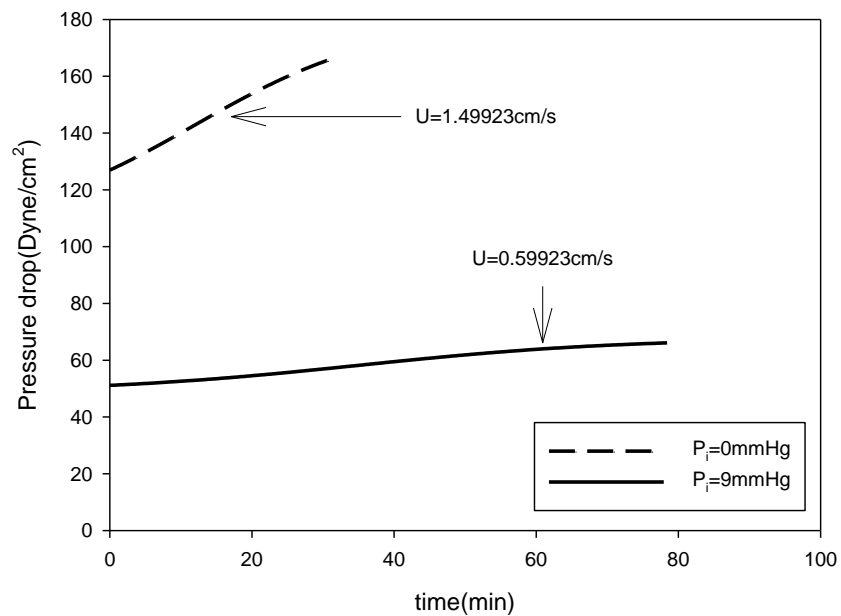
附圖 9-4-1 在 $C_0=1,000,000\text{ppm}$ 、 $P_c=20\text{mmHg}$ 、 $U_0=6\text{cm/s}$ 時，藥物
 粒子進出口濃度比隨時間變化的趨勢。



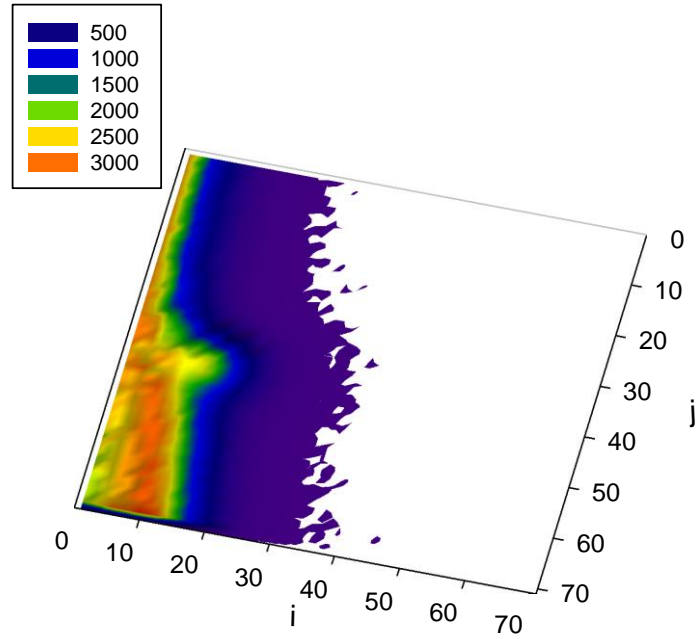
附圖 9-4-2 在 $C_0=1,000,000\text{ppm}$ 、 $P_c=20\text{mmHg}$ 、 $U_0=6\text{cm/s}$ 時，壓降
 隨時間變化的趨勢。



附圖 9-5-1 在 $C_0=1,000,000\text{ppm}$ 、 $P_c=20\text{mmHg}$ 、 $U_0=10\text{cm/s}$ 時，藥物
 粒子進出口濃度比隨時間變化的趨勢。

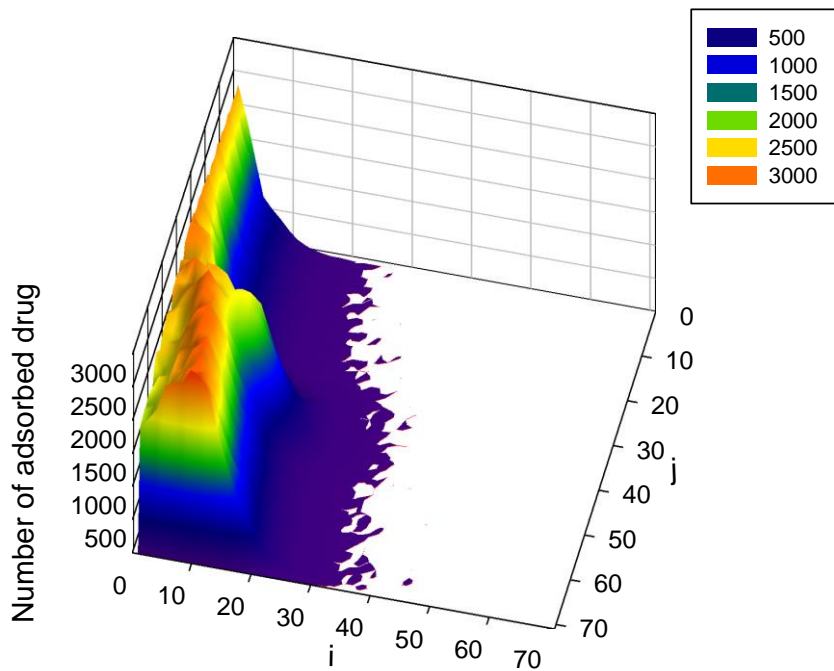


附圖 9-5-2 在 $C_0=1,000,000\text{ppm}$ 、 $P_c=20\text{mmHg}$ 、 $U_0=10\text{cm/s}$ 時，壓降
 隨時間變化的趨勢。



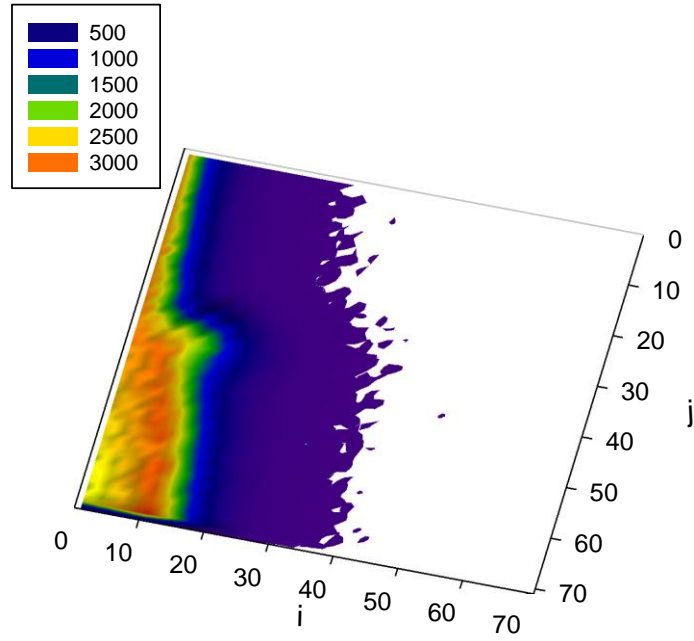
附圖 9-6-1 在 $C_0=1,000,000\text{ppm}$ 、 $P_c=20\text{mmHg}$ 、 $U_0=2\text{cm/s}$ 、 $P_i=0\text{mmHg}$

時，藥物粒子吸附於腫瘤細胞區域內的 2D 分布圖。



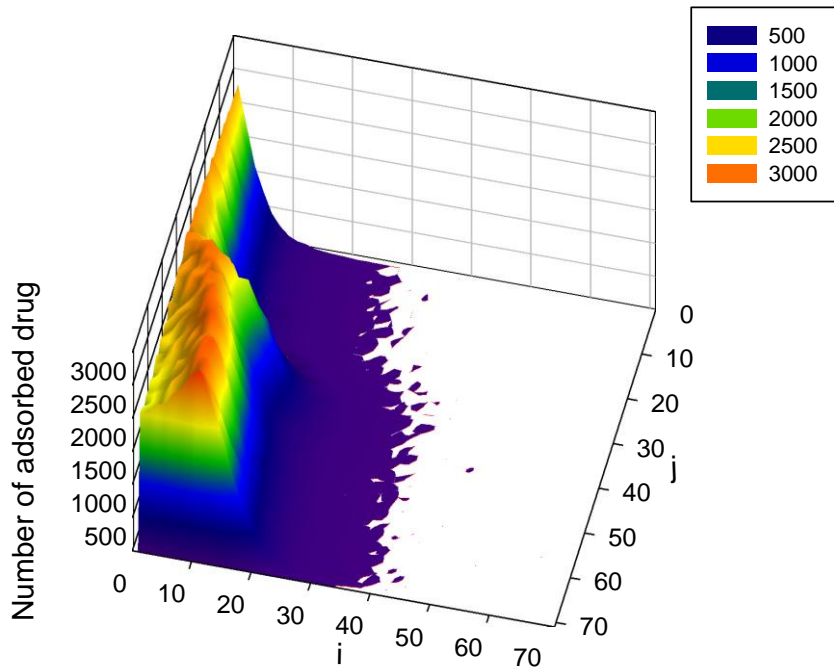
附圖 9-6-2 在 $C_0=1,000,000\text{ppm}$ 、 $P_c=20\text{mmHg}$ 、 $U_0=2\text{cm/s}$ 、 $P_i=0\text{mmHg}$

時，藥物粒子吸附於腫瘤細胞區域內的 3D 分布圖。



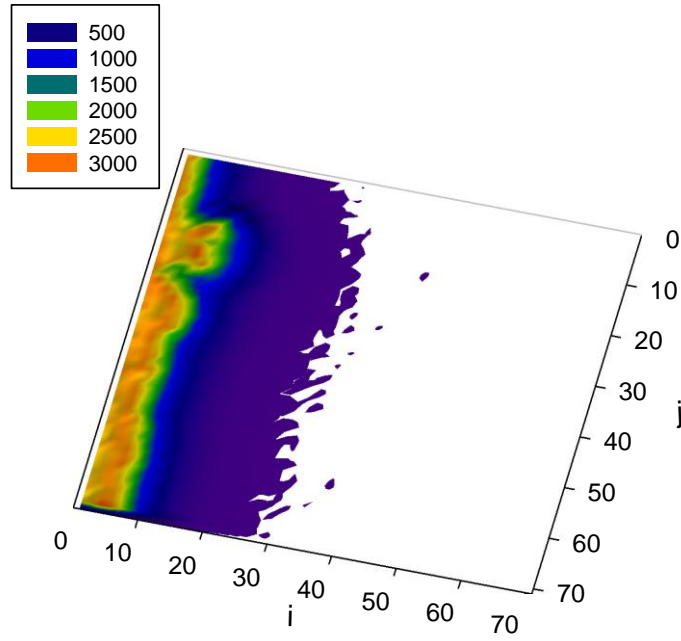
附圖 9-7-1 在 $C_0=1,000,000\text{ppm}$ 、 $P_c=20\text{mmHg}$ 、 $U_0=2\text{cm/s}$ 、 $P_i=9\text{mmHg}$

時，藥物粒子吸附於腫瘤細胞區域內的 2D 分布圖。



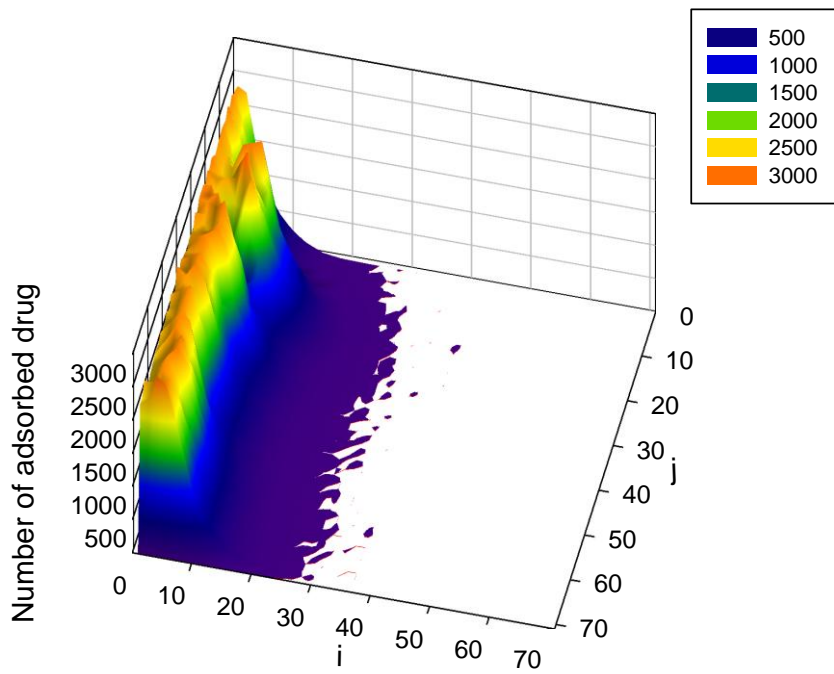
附圖 9-7-2 在 $C_0=1,000,000\text{ppm}$ 、 $P_c=20\text{mmHg}$ 、 $U_0=2\text{cm/s}$ 、 $P_i=9\text{mmHg}$

時，藥物粒子吸附於腫瘤細胞區域內的 3D 分布圖。



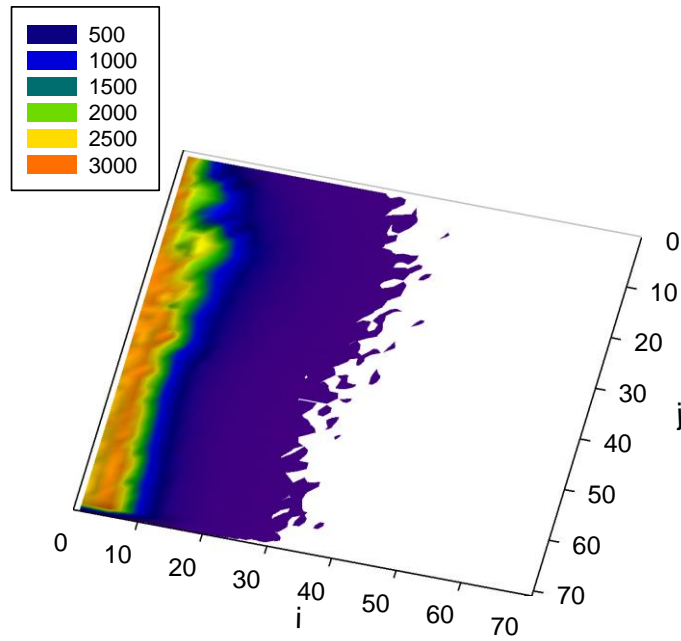
附圖 9-8-1 在 $C_0=1,000,000\text{ppm}$ 、 $P_c=20\text{mmHg}$ 、 $U_0=6\text{cm/s}$ 、 $P_i=0\text{mmHg}$

時，藥物粒子吸附於腫瘤細胞區域內的 2D 分布圖。



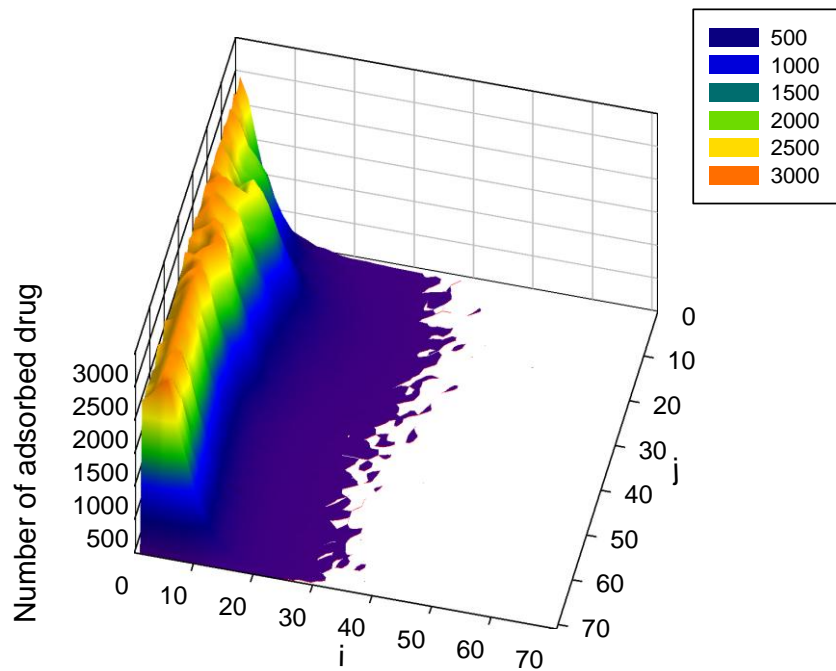
附圖 9-8-2 在 $C_0=1,000,000\text{ppm}$ 、 $P_c=20\text{mmHg}$ 、 $U_0=6\text{cm/s}$ 、 $P_i=0\text{mmHg}$

時，藥物粒子吸附於腫瘤細胞區域內的 3D 分布圖。



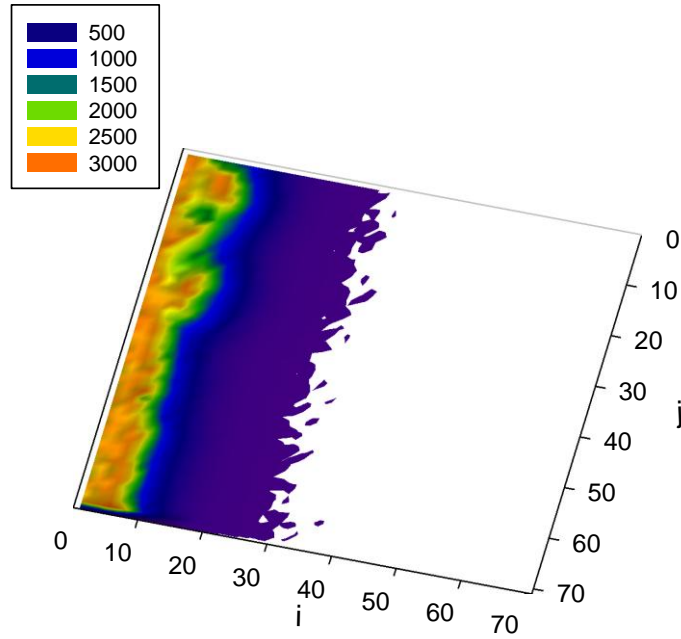
附圖 9-9-1 在 $C_0=1,000,000\text{ppm}$ 、 $P_c=20\text{mmHg}$ 、 $U_0=6\text{cm/s}$ 、 $P_i=9\text{mmHg}$

時，藥物粒子吸附於腫瘤細胞區域內的 2D 分布圖。

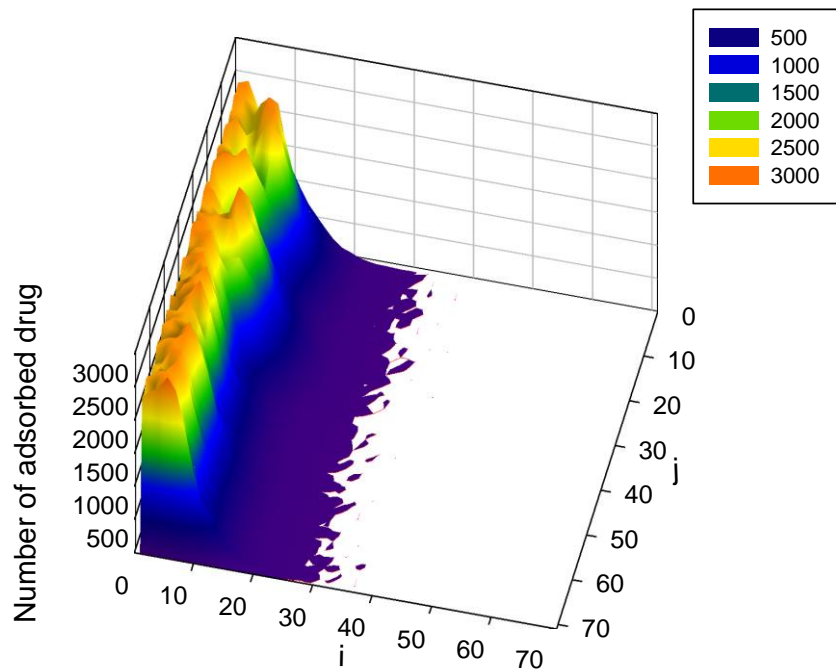


附圖 9-9-2 在 $C_0=1,000,000\text{ppm}$ 、 $P_c=20\text{mmHg}$ 、 $U_0=6\text{cm/s}$ 、 $P_i=9\text{mmHg}$

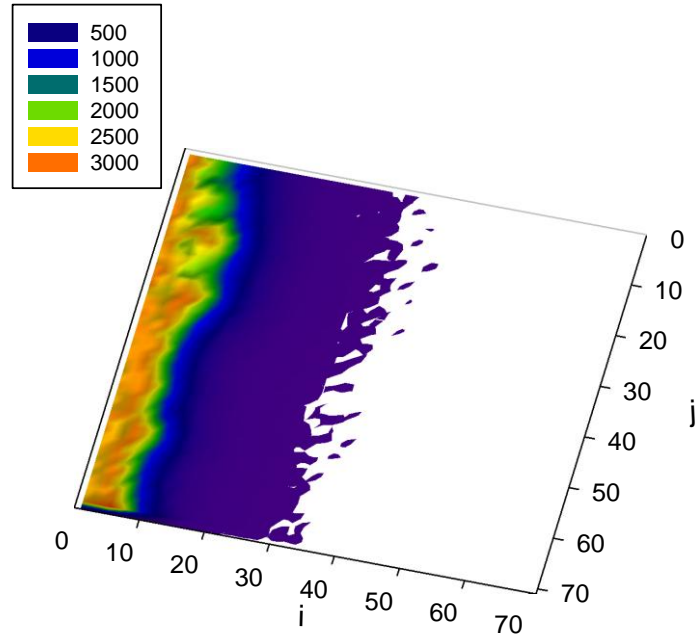
時，藥物粒子吸附於腫瘤細胞區域內的 3D 分布圖。



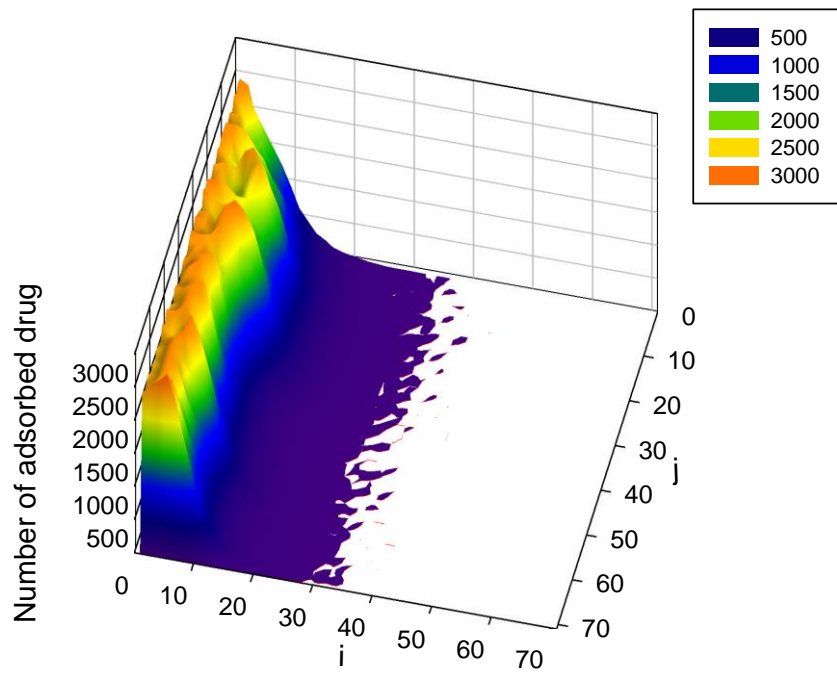
附圖 9-10-1 在 $C_0=1,000,000\text{ppm}$ 、 $P_c=20\text{mmHg}$ 、 $U_0=10\text{cm/s}$ 、 $P_i=0\text{mmHg}$ 時，藥物粒子吸附於腫瘤細胞區域內的 2D 分布圖。



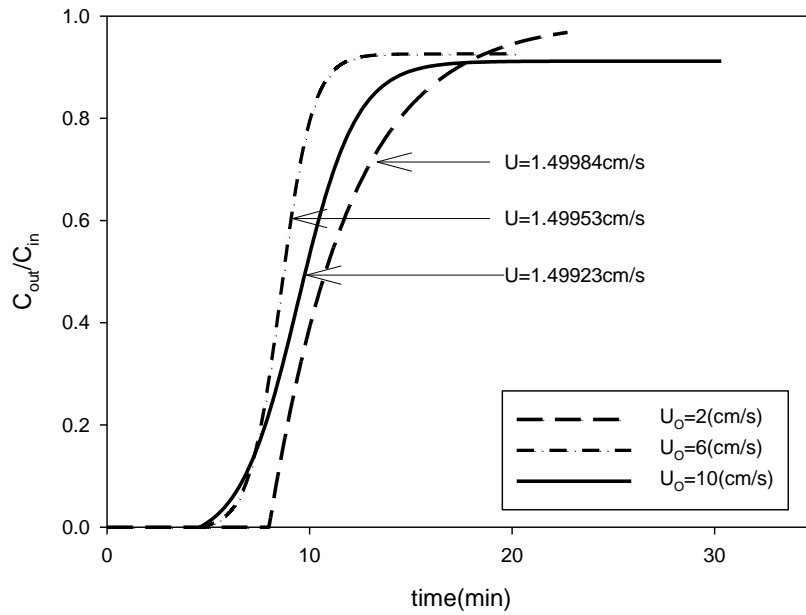
附圖 9-10-2 在 $C_0=1,000,000\text{ppm}$ 、 $P_c=20\text{mmHg}$ 、 $U_0=10\text{cm/s}$ 、 $P_i=0\text{mmHg}$ 時，藥物粒子吸附於腫瘤細胞區域內的 3D 分布圖。



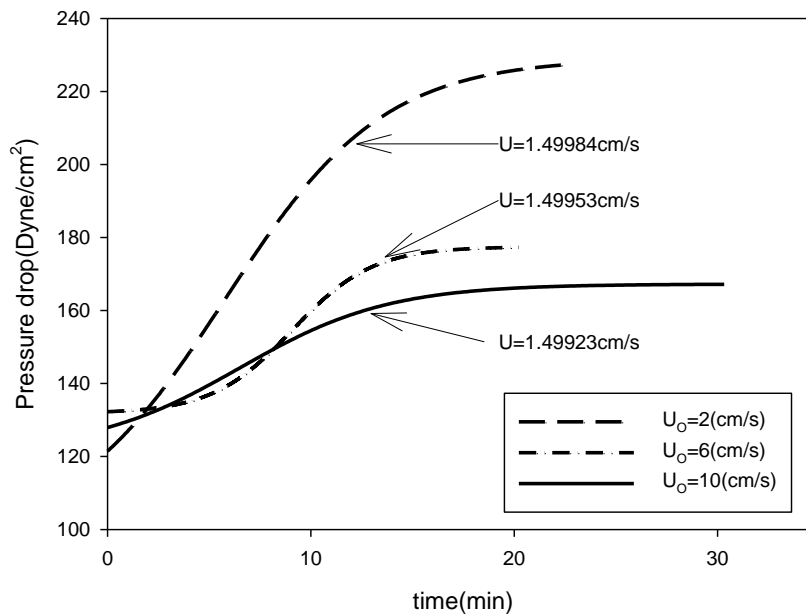
附圖 9-11-1 在 $C_0=1,000,000\text{ppm}$ 、 $P_c=20\text{mmHg}$ 、 $U_0=10\text{cm/s}$ 、 $P_i=9\text{mmHg}$ 時，藥物粒子吸附於腫瘤細胞區域內的 2D 分布圖。



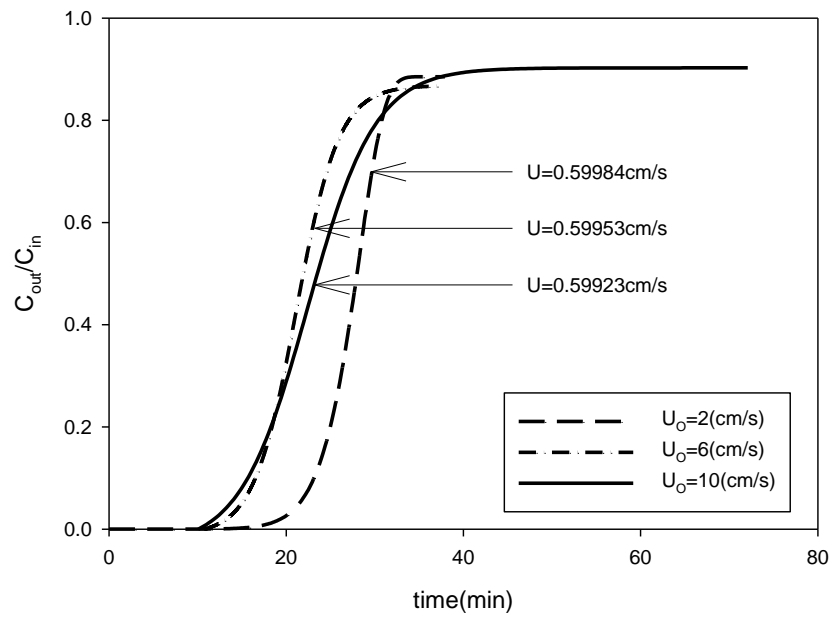
附圖 9-11-2 在 $C_0=1,000,000\text{ppm}$ 、 $P_c=20\text{mmHg}$ 、 $U_0=10\text{cm/s}$ 、 $P_i=9\text{mmHg}$ 時，藥物粒子吸附於腫瘤細胞區域內的 3D 分布圖。



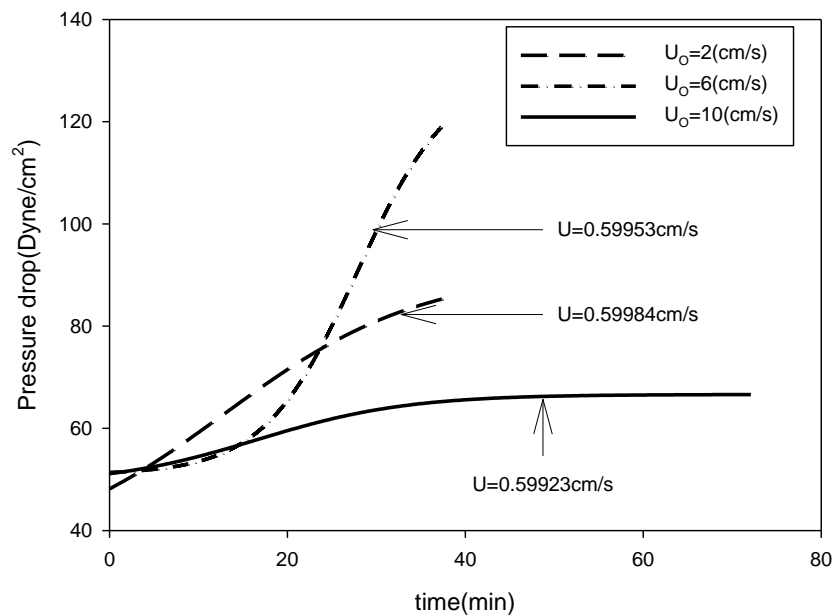
附圖 10-1-1 在 $C_0=2,000,000\text{ppm}$ 、 $P_c=20\text{mmHg}$ 、 $P_i=0\text{mmHg}$ 時，藥物粒子進出口濃度比隨時間變化的趨勢。



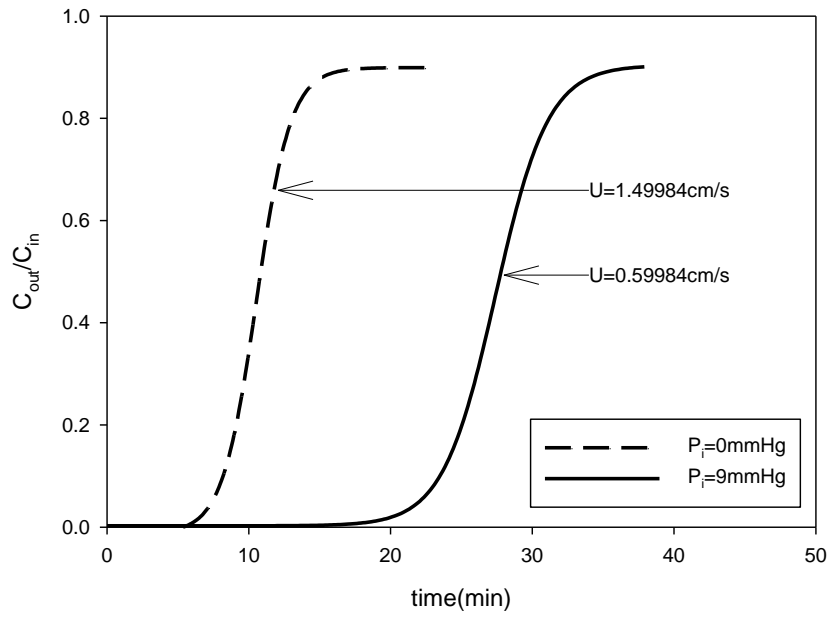
附圖 10-1-2 在 $C_0=2,000,000\text{ppm}$ 、 $P_c=20\text{mmHg}$ 、 $P_i=0\text{mmHg}$ 時，壓降隨時間變化的趨勢。



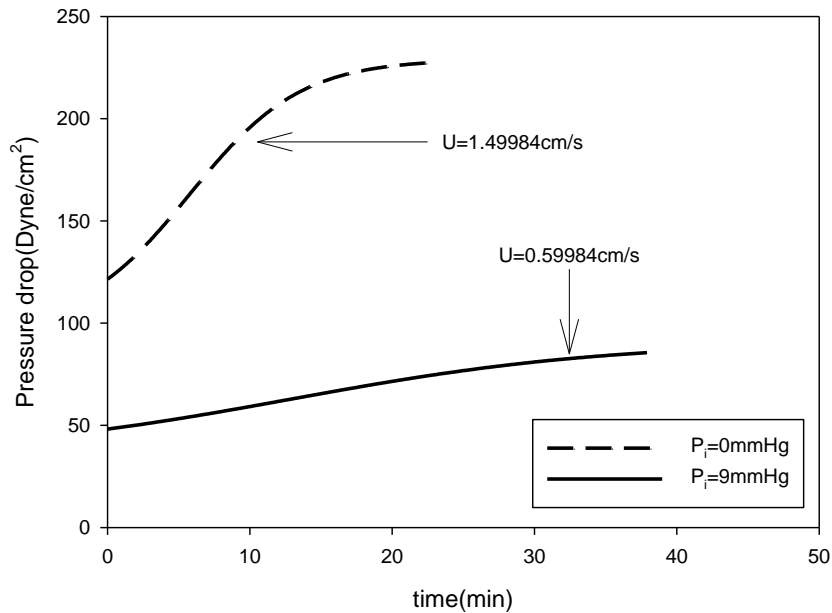
附圖 10-2-1 在 $C_0=2,000,000\text{ppm}$ 、 $P_c=20\text{mmHg}$ 、 $P_i=9\text{mmHg}$ 時，藥物粒子進出口濃度比隨時間變化的趨勢。



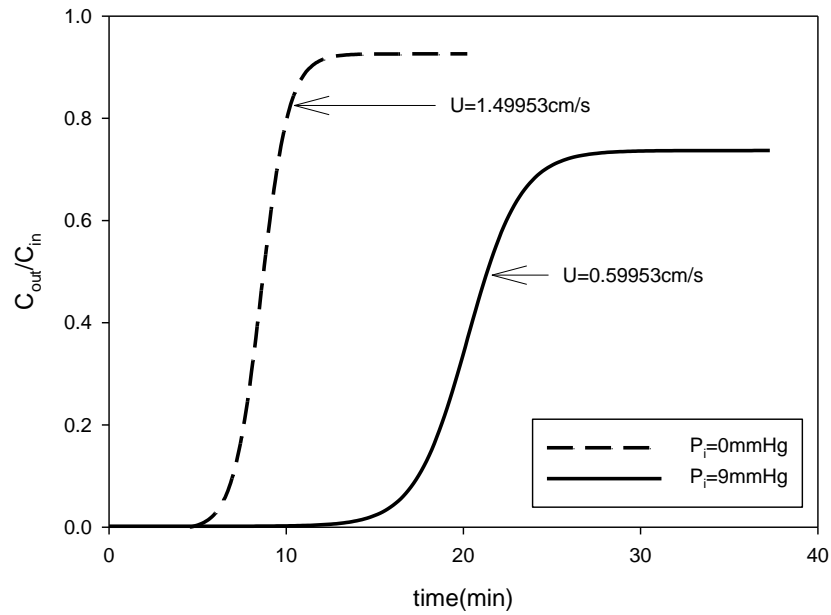
附圖 10-2-2 在 $C_0=2,000,000\text{ppm}$ 、 $P_c=20\text{mmHg}$ 、 $P_i=9\text{mmHg}$ 時，壓降隨時間變化的趨勢。



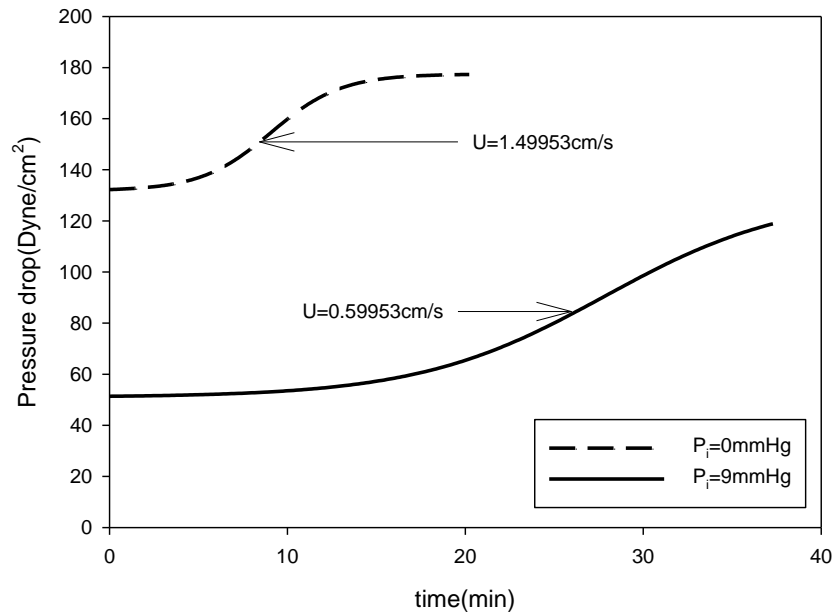
附圖 10-3-1 在 $C_0=2,000,000\text{ppm}$ 、 $P_c=20\text{mmHg}$ 、 $U_0=2\text{cm/s}$ 時，藥物
 粒子進出口濃度比隨時間變化的趨勢。



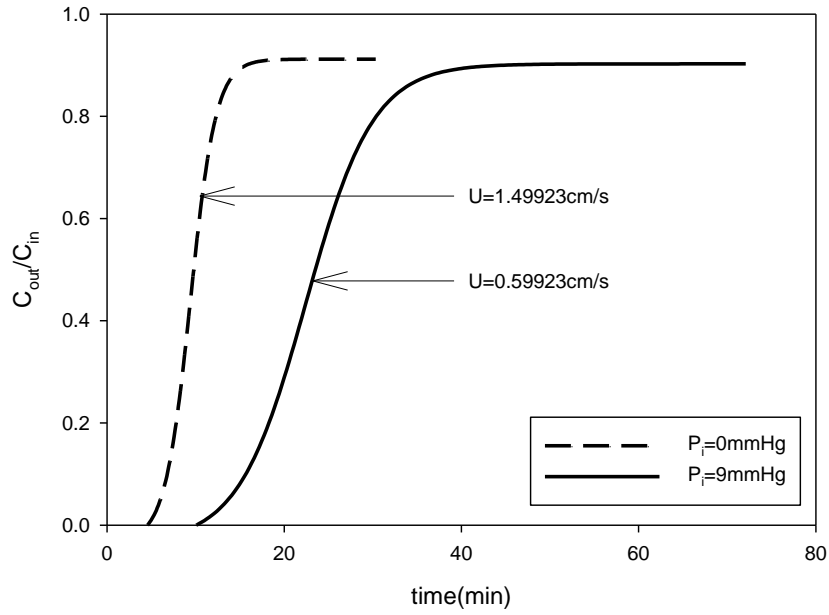
附圖 10-3-2 在 $C_0=2,000,000\text{ppm}$ 、 $P_c=20\text{mmHg}$ 、 $U_0=2\text{cm/s}$ 時，壓降
 隨時間變化的趨勢。



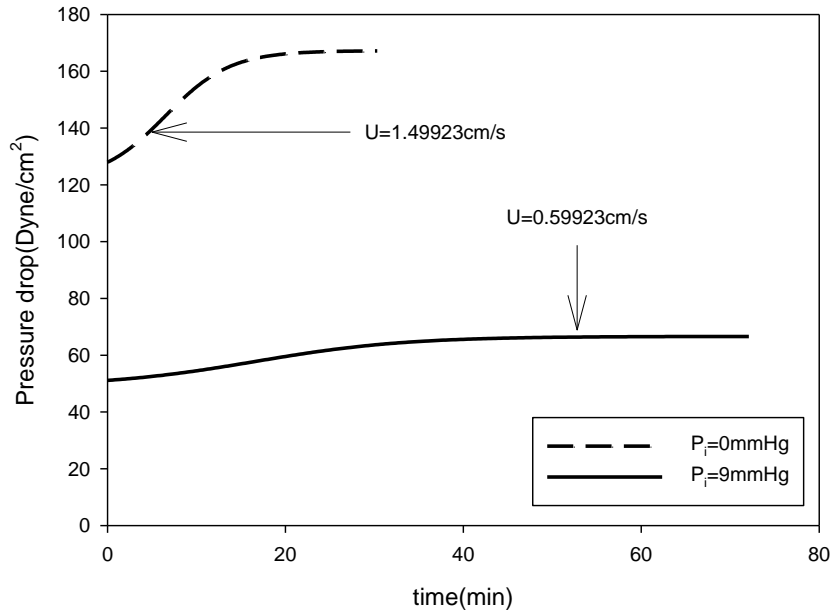
附圖 10-4-1 在 $C_0=2,000,000\text{ppm}$ 、 $P_c=20\text{mmHg}$ 、 $U_0=6\text{cm/s}$ 時，藥物
 粒子進出口濃度比隨時間變化的趨勢。



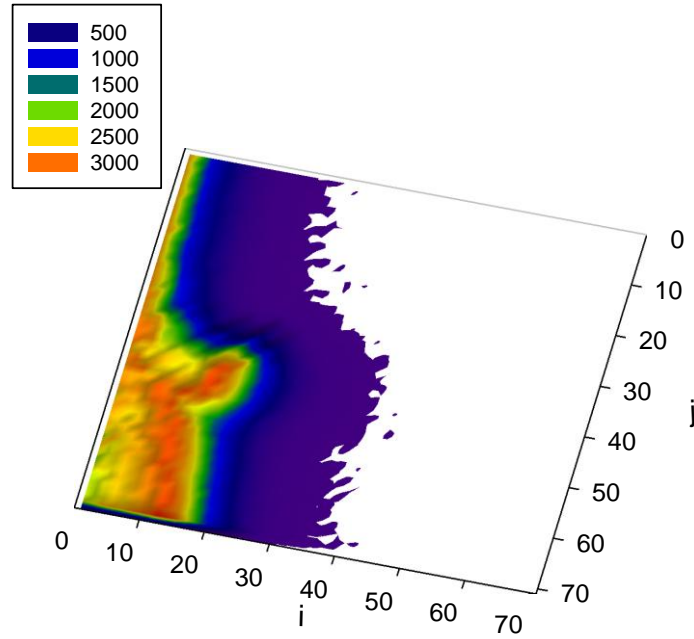
附圖 10-4-2 在 $C_0=2,000,000\text{ppm}$ 、 $P_c=20\text{mmHg}$ 、 $U_0=6\text{cm/s}$ 時，壓降
 隨時間變化的趨勢。



附圖 10-5-1 在 $C_0=2,000,000\text{ppm}$ 、 $P_c=20\text{mmHg}$ 、 $U_0=10\text{cm/s}$ 時，藥物粒子進出口濃度比隨時間變化的趨勢。

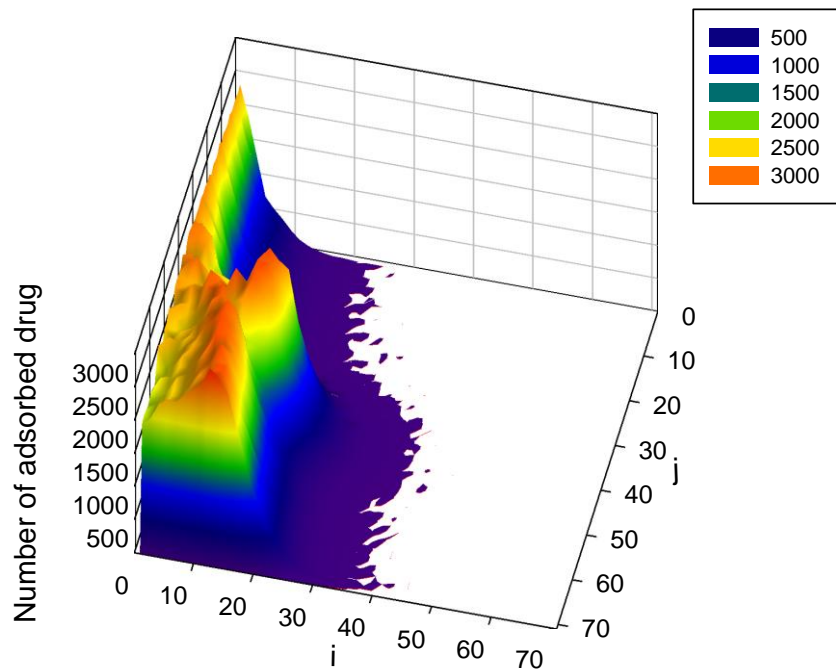


附圖 10-5-2 在 $C_0=2,000,000\text{ppm}$ 、 $P_c=20\text{mmHg}$ 、 $U_0=10\text{cm/s}$ 時，壓降隨時間變化的趨勢。



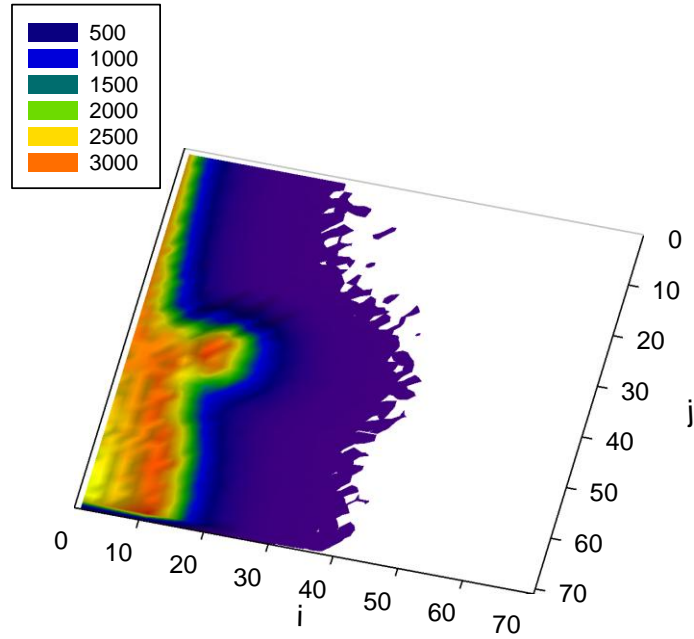
附圖 10-6-1 在 $C_0=2,000,000\text{ppm}$ 、 $P_c=20\text{mmHg}$ 、 $U_0=2\text{cm/s}$ 、 $P_i=0\text{mmHg}$

時，藥物粒子吸附於腫瘤細胞區域內的 2D 分布圖。



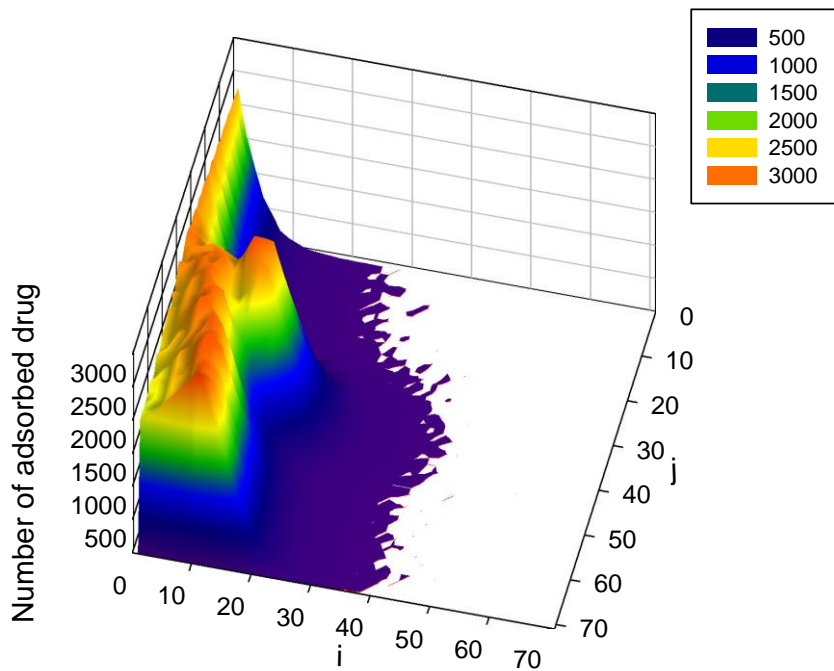
附圖 10-6-2 在 $C_0=2,000,000\text{ppm}$ 、 $P_c=20\text{mmHg}$ 、 $U_0=2\text{cm/s}$ 、 $P_i=0\text{mmHg}$

時，藥物粒子吸附於腫瘤細胞區域內的 3D 分布圖。



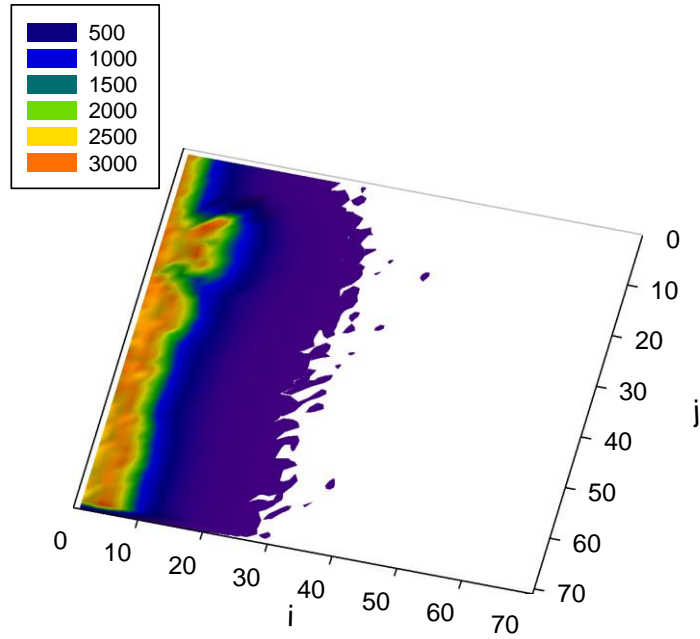
附圖 10-7-1 在 $C_0=2,000,000\text{ppm}$ 、 $P_c=20\text{mmHg}$ 、 $U_0=2\text{cm/s}$ 、 $P_i=9\text{mmHg}$

時，藥物粒子吸附於腫瘤細胞區域內的 2D 分布圖。



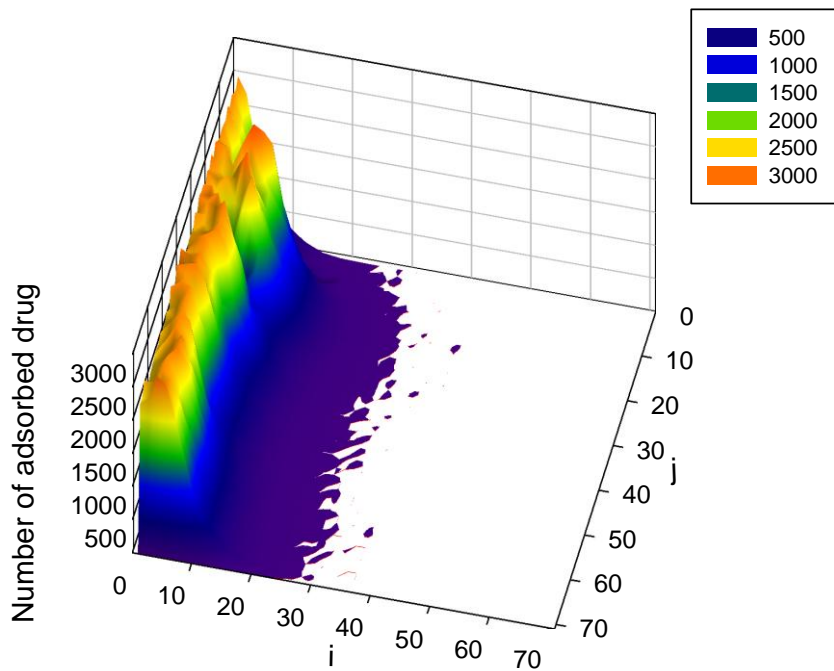
附圖 10-7-2 在 $C_0=2,000,000\text{ppm}$ 、 $P_c=20\text{mmHg}$ 、 $U_0=2\text{cm/s}$ 、 $P_i=9\text{mmHg}$

時，藥物粒子吸附於腫瘤細胞區域內的 3D 分布圖。



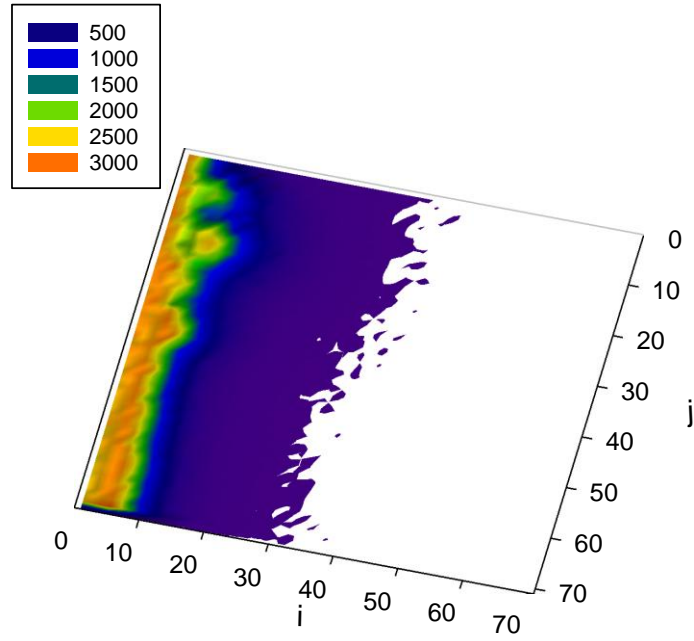
附圖 10-8-1 在 $C_0=2,000,000\text{ppm}$ 、 $P_c=20\text{mmHg}$ 、 $U_0=6\text{cm/s}$ 、 $P_i=0\text{mmHg}$

時，藥物粒子吸附於腫瘤細胞區域內的 2D 分布圖。



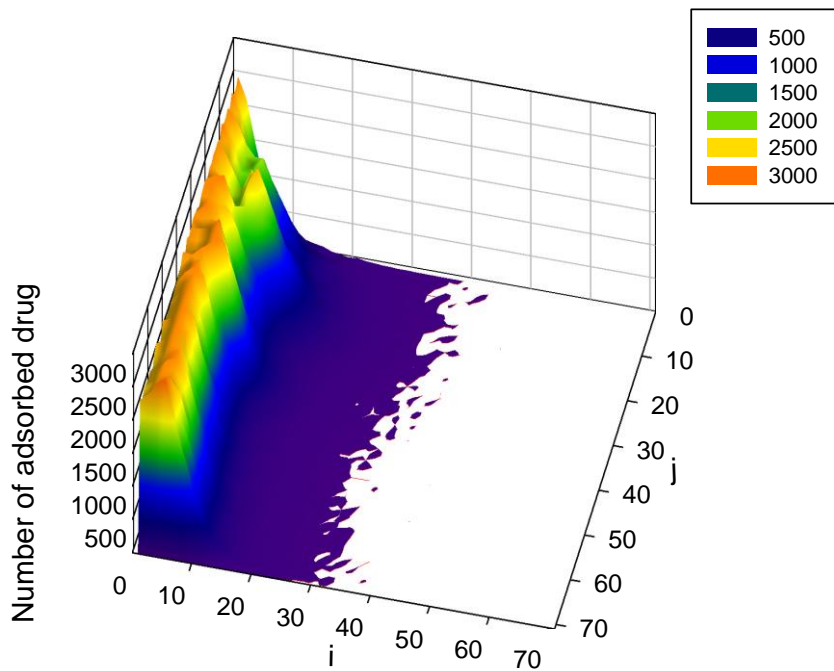
附圖 10-8-2 在 $C_0=2,000,000\text{ppm}$ 、 $P_c=20\text{mmHg}$ 、 $U_0=6\text{cm/s}$ 、 $P_i=0\text{mmHg}$

時，藥物粒子吸附於腫瘤細胞區域內的 3D 分布圖。



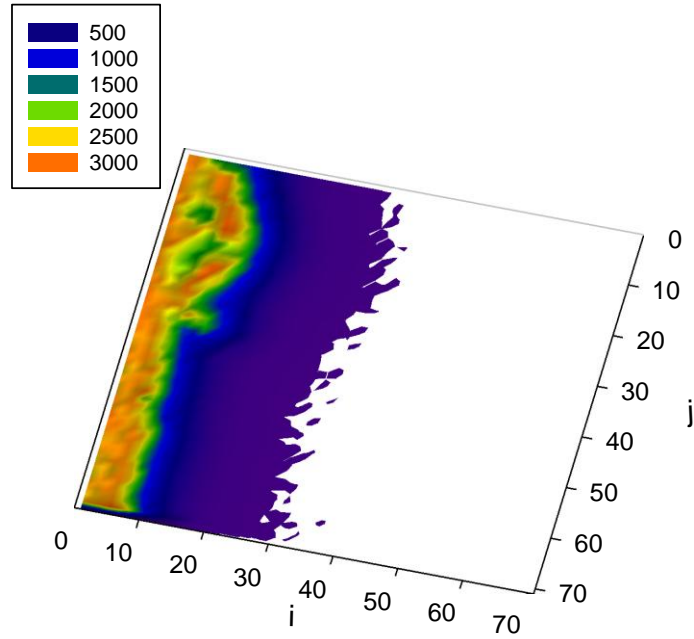
附圖 10-9-1 在 $C_0=2,000,000\text{ppm}$ 、 $P_c=20\text{mmHg}$ 、 $U_0=6\text{cm/s}$ 、 $P_i=9\text{mmHg}$

時，藥物粒子吸附於腫瘤細胞區域內的 2D 分布圖。

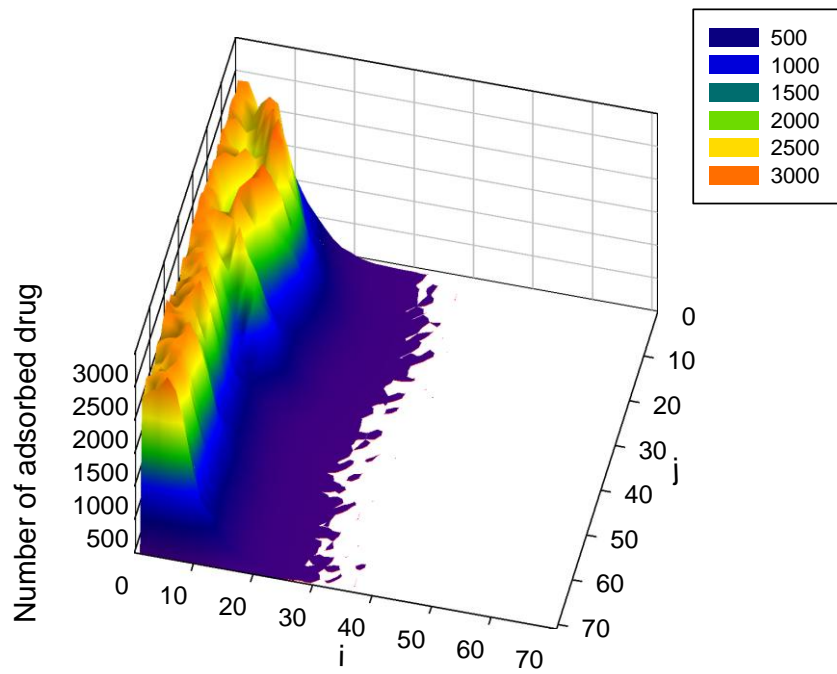


附圖 10-9-2 在 $C_0=2,000,000\text{ppm}$ 、 $P_c=20\text{mmHg}$ 、 $U_0=6\text{cm/s}$ 、 $P_i=9\text{mmHg}$

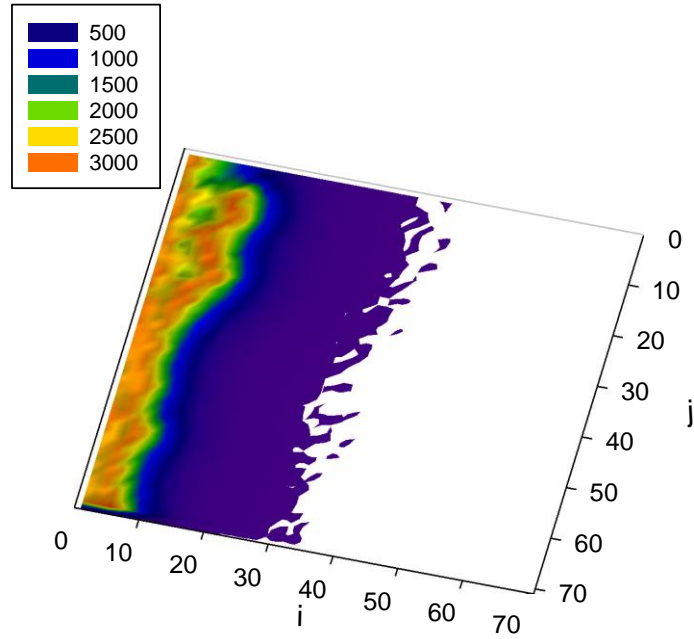
時，藥物粒子吸附於腫瘤細胞區域內的 3D 分布圖。



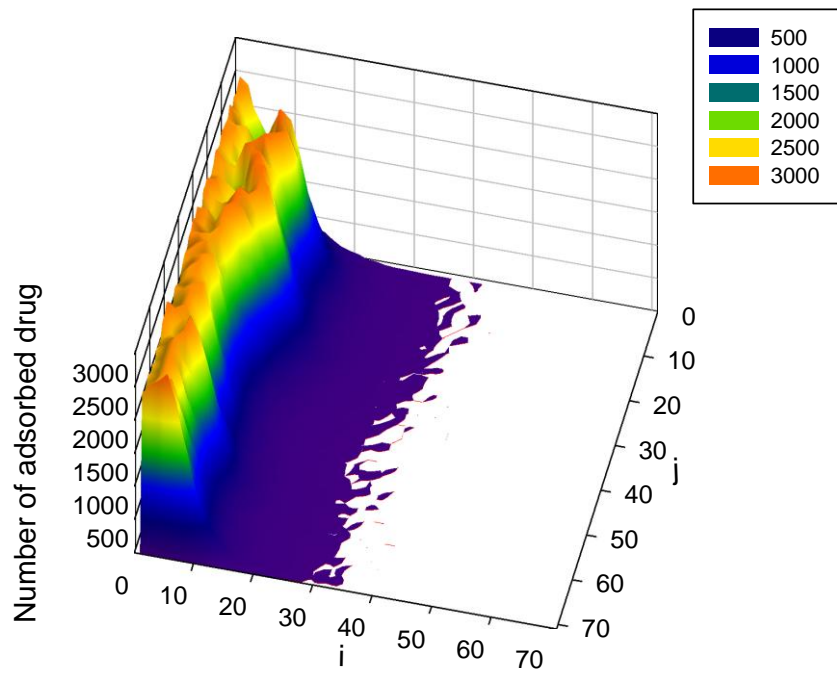
附圖 10-10-1 在 $C_0=2,000,000\text{ppm}$ 、 $P_c=20\text{mmHg}$ 、 $U_0=10\text{cm/s}$ 、 $P_i=0\text{mmHg}$ 時，藥物粒子吸附於腫瘤細胞區域內的 2D 分布圖。



附圖 10-10-2 在 $C_0=2,000,000\text{ppm}$ 、 $P_c=20\text{mmHg}$ 、 $U_0=10\text{cm/s}$ 、 $P_i=0\text{mmHg}$ 時，藥物粒子吸附於腫瘤細胞區域內的 3D 分布圖。



附圖 10-11-1 在 $C_0=2,000,000\text{ppm}$ 、 $P_c=20\text{mmHg}$ 、 $U_0=10\text{cm/s}$ 、 $P_i=9\text{mmHg}$ 時，藥物粒子吸附於腫瘤細胞區域內的 2D 分布圖。



附圖 10-11-2 在 $C_0=2,000,000\text{ppm}$ 、 $P_c=20\text{mmHg}$ 、 $U_0=10\text{cm/s}$ 、 $P_i=9\text{mmHg}$ 時，藥物粒子吸附於腫瘤細胞區域內的 3D 分布圖。